# COMUNE DI GATTICO - VERUNO PIANO ESECUTIVO CONVENZIONATO

#### Committente

CALEFFI SpA Via Maggiate 15, 28013 Gattico (NO)



# GRUPPO DI PROGETTAZIONE



#### BMS Progetti s.r.l.

piazza santissima trinità 6 20154 milano

bmsprogetti.it

#### Tecnico incaricato

ing. Aldo Bottini

TITOLO	SCALA
RELAZIONE GEOLOGICA E SISMICA	-

 DOCUMENTO
 EMISSIONE

 21018 PEC GEN AL1 00
 07/02/2022

REV	DATA	DESCRIZIONE	REDATTO	VERIFICATO	APPROVATO
00	07/02/2022	Prima emissione	-	-	-

PEC GEN AL1







## **COMUNE DI GATTICO-VERUNO**

# AMPLIAMENTO DI UN COMPLESSO PRODUTTIVO IN LOC. MAGGIATE



#### Decreto Ministeriale 17 gennaio 2018 e s.m.i.

"AGGIORNAMENTO DELLE «NORME TECNICHE PER LE COSTRUZIONI»"

#### Circolare del Presidente della Giunta Regionale - n° 7/LAP

"L.R. 5 DICEMBRE 1977, N° 56, E SUCCESSIVE MODIFICHE ED INTEGRAZIONI - SPECIFICHE TECNICHE PER L'ELABORAZIONE DEGLI STUDI GEOLOGICI A SUPPORTO DEGLI STRUMENTI URBANISTICI"

#### Consulente geologo



Via XX Settembre, 73 – 28041 ARONA (NO) tel. 0322 241531 - fax 0322 48422 e-mail studio@geologoepifani.it

dott. geol. Fulvio Epifani

# RELAZIONE GEOLOGICA E SISMICA

Nome del file Relazione.doc

Data

Codice

Dicembre 2021

091.21

Scala

\_\_\_\_

# Committente:

BMS Progetti s.r.l. Piazza S.S. Trinità 6 Milano



revisione	oggetto	data	controllato
1			
2			
3			

#### **SOMMARIO**

1 PI	REMESSA	2
2 ID	OONEITÀ ALL'UTILIZZAZIONE URBANISTICA E NORMATIVA DI RIFERIMENTO	3
<i>3 I</i> N	IQUADRAMENTO GEOLOGICO E GEOMORFOLOGICO	4
4 IN	IDAGINE GEOGNOSTICHE PREGRESSE	6
4.1	Pozzetti esplorativi	6
4.2	Prove penetrometriche dinamiche	9
5 N	UOVE INDAGINI GEOGNOSTICHE E GEOTECNICHE	11
5.1	Sondaggio a carotaggio continuo	11
5.2	Prove SPT	11
5.3	Parametri ricavabili dalle prove SPT	12
6 RI	SULTATI DELLE PROVE EFFETTUATE	16
6.1	Sondaggio a carotaggio continuo	16
6.2	Prove SPT	16
7 M	IODELLO GEOLOGICO	18
8 M	IODELLO E PARAMETRAZIONE GEOTECNICA	19
9 IN	IDAGINE GEOFISICA CON IL METODO MASW	21
9.1	Generalità sulle onde sismiche	21
9.2	Caratteristiche del metodo	23
9.3	Elaborazione dei dati	26
9.4	Caratteristiche delle indagini masw eseguite	
	4.1 Prova n° 1	
9.5	Classificazione del sottosuolo	
	CARATTERIZZAZIONE SISMICA DEL SITO	
	SUSCETTIBILITÀ ALLA LIQUEFAZIONE	
	CONSIDERAZIONI CONCLUSIVE	
		· · ·

#### ALLEGATI

- Corografia (scala 1:10.000)
- Carta di sintesi della pericolosità geomorfologica e dell'idoneità all'utilizzazione urbanistica (scala 1:5.000)
- Carta geomorfologica (scala 1:10.000)
- Planimetria ubicazione indagini geognostiche
- Tabulati e istogrammi della prove penetrometriche pregresse
- Stratigrafia sondaggio

#### 1 PREMESSA

La Società Caleffi S.p.A. intende procedere all'ampliamento di un edificio industriale esistente, ubicato al civico 15 di Via S. Rocco Maggiate, in Comune di Gattico-Veruno.

Su incarico della Società di progettazione BMS S.r.l., lo scrivente ha quindi predisposto la presente relazione geologica e sismica di supporto al progetto, in cui sarà analizzata la compatibilità dell'intervento con lo "status geologico" del sito, utilizzando sia le indagini specificatamente realizzate, sia indagini sviluppate in precedenza sulla medesima area.

L'analisi di tutti i dati disponibili ha consentito di sviluppare il modello geologico, sismico e geotecnico dell'area su cui insisterà l'opera in progetto.

#### 2 IDONEITÀ ALL'UTILIZZAZIONE URBANISTICA E NORMATIVA DI RIFERIMENTO

Per quanto riguarda l'idoneità all'utilizzazione urbanistica, l'area in oggetto risulta ascritta alla classe "IIA"; a tal proposito si allega uno stralcio della cartografia del vigente PRG di Gattico (ora Gattico-Veruno).

Alla classe II appartengono "Porzioni di territorio nelle quali le condizioni di moderata pericolosità geomorfologica possono essere agevolmente superate attraverso l'adozione ed il rispetto di modesti accorgimenti tecnici, realizzabili a livello di progetto esecutivo esclusivamente nell'ambito del singolo lotto edificatorio o dell'intorno significativo circostante. Tali interventi non dovranno in alcun modo incidere negativamente sulle aree limitrofe, né condizionarne la propensione all'edificabilità." e, in particolare, sono ascritti alla sottoclasse IIA i settori che presentano "pendii caratterizzati da moderata acclività; presenza di terreni con mediocri caratteristiche geotecniche; aree con condizioni di scarso drenaggio, aree soggette a modesti allagamenti (centimetrici) a bassa energia. Possono essere presenti anche più agenti contemporaneamente.".

Il presente elaborato è redatto ottemperando a:

- Decreto Ministeriale 17.01.2018 "AGGIORNAMENTO DELLE «NORME TECNICHE PER LE COSTRUZIONI»"
- Circolare 21 gennaio 2019 n. 7 "ISTRUZIONI PER L'APPLICAZIONE DELL'«AGGIORNAMENTO DELLE "NORME TECNICHE PER LE COSTRUZIONI"» DI CUI AL DECRETO MINISTERIALE 17 GENNAIO 2018"
- Circolare del Presidente della Giunta Regionale dell'08.05.1996, n° 7/LAP "SPECIFICHE TECNICHE PER L'ELABORAZIONE DEGLI STUDI GEOLOGICI A SUPPORTO DEGLI STRUMENTI URBANISTICI",
- Nota Tecnica Esplicativa alla Circolare P.G.R. 8 maggio 1996 n. 7/LAP

#### 3 INQUADRAMENTO GEOLOGICO E GEOMORFOLOGICO

Da un punto di vista geologico, l'area di intervento è compresa nel Foglio n° 31 "VARESE" della Carta Geologica d'Italia (Scala 1: 100.000).

Il territorio di Gattico è caratterizzato dalla presenza dei rilievi collinari circumlacuali dell'anfiteatro morenico del Verbano e presenta una quota media di circa 350 m s.l.m., con minimi intorno ai 270 m nella porzione nord-occidentale e massimi di circa 410 m, presso C.na Scella.

Il reticolo idrografico è costituito da piccoli corsi d'acqua a carattere torrentizio, quali i Torrenti Lirone, Meja e Geola; altri rii, di importanza minore, sono il Rio della Vall'Alta, la Roggia Molinara, i Rii Strola e Bistracca e il Fosso Rese.

L'assetto fisiografico generale del territorio è caratterizzato dall'alternanza di rilievi collinari, di modesta elevazione, e di aree intercluse pianeggianti o blandamente ondulate.

Nel territorio comunale affiorano le unità glaciali e fluvioglaciali relative all'apparato glaciale del Verbano, poggianti su un substrato argilloso pliocenico e sui depositi sabbiosi villafranchiani.

La copertura quaternaria è costituita in prevalenza da ghiaie sabbioso-limose, variamente alterate, e da diamicton, interpretabili come till di ablazione e di alloggiamento, con coperture eoliche e paleosuoli.

Per una migliore comprensione, in allegato si propone un estratto della *Carta geologica* del vigente PRGC del Comune di Gattico, in scala 1: 5.000, dell'area in esame in cui sono evidenziati le seguenti unità:

- <u>Depositi fluvioglaciali</u> (Pleistocene superiore): ghiaie a supporto di matrice sabbioso-limosa e sabbie, localmente intercalate ad argille limose, ciottoli eterometrici, arrotondati, non alterati o poco alterati, con intercalazioni di limi argillosi; ciottoli eterometrici, arrotondati, alterati in cortex superficiale. Occupano l'ampia valle dalla morfologia piatta che si trova ad ovest di Maggiate e che si estende longitudinalmente per tutta la lunghezza del territorio; inoltre colmano le vallecole ad est del concentrico, tra C.na Simonotti e C.na Motto d'Omino.
- <u>Depositi fluvioglaciali</u> (Pleistocene medio): ghiaie a supporto di matrice sabbiosa-limosaargillosa e sabbie limoso-argillose; ciottoli eterometrici, arrotondati, alterati. Rappresentano la fase fluvioglaciale più estesa sul territorio e si rinvengono in tutta la porzione sud-occidentale.
- <u>Depositi glaciali</u> (Pleistocene medio): till di alloggiamento e till di ablazione, ciottoli eterometrici, arrotondati, molto alterati talora arenizzati o argillificati; presenza di coperture loessiche anche di spessore metrico; creste moreniche da evidenti a poco o per nulla conservate dal punto di vista morfologico. È la fase glaciale più antica rappresentata sul

territorio comunale di Gattico; le morene appartenenti a questa fase raggiungono le quote topograficamente più elevate (oltre 400 m s.l.m.), pur non essendone completamente conservata la morfologia.

Dal punto di vista geomorfologico generale, la zona rispecchia la morfogenesi glaciale e fluvioglaciale alla quale è stata sottoposta.

Nella carta sono state distinte varie unità geomorfologiche, di seguito descritte.

- Forme fluviali e fluvioglaciali: suddivise in base all'attività, tra le forme di erosione sono state distinte: orli di terrazzo, sia di origine propriamente fluviale che fluvioglaciale, vallecole con profilo concavo, tracce di paleoalvei, solchi da ruscellamento concentrato ed erosioni spondali; tra le forme di accumulo si nota la presenza di vallecole a fondo piatto ed un piccolo conoide stabilizzato naturalmente, in località Maggiate Superiore. Nell'ambito delle forme fluviali sono stati riportati i dissesti di tipo torrentizio: i dissesti codificati ad intensità elevata riguardano la zona di esondazione appena a sud-ovest di Maggiate Superiore, dove in occasione degli eventi alluvionali del maggio 2002, sono state registrate altezze idriche di circa un metro, mentre l'area in esame rientra nei processi areali ad intensità medio/moderata.
- <u>Forme glaciali</u>: tra le forme di erosione di natura glaciale sono stati riconosciuti i principali terrazzi, mentre tra le forme di accumulo predominano i massi erratici e le creste dei cordoni morenici.
- <u>Elementi dell'idrografia superficiale</u>: sono state delimitate le aree umide, che raggruppano le aree di ristagno e le zone di locale emergenza della falda freatica. Le prime sono collocate in corrispondenza di piane fluvioglaciali, parzialmente colmate da depositi colluviali fini originatisi dal dilavamento delle morene più antiche, mentre le seconde si riscontrano in corrispondenza di situazioni geoidrologiche (geomorfologiche e litologiche) locali che favoriscono l'emersione della superficie della falda freatica.

L'area di intervento si imposta su depositi fluvioglaciali del pleistocene superiore caratterizzati dalla presenza di ghiaie a supporto di matrice sabbioso-limosa e sabbie, localmente intercalate ad argille limose; dal punto di vista geomorfologico l'area si presenta sub-pianeggiante. A ovest dell'area in esame scorre il Torrente Geola la cui dinamica non interferisce con il sito.

La presenza della falda è stata rilevata a quote comprese fra 1 e 3 m da piano campagna.

#### 4 INDAGINE GEOGNOSTICHE PREGRESSE

Nel novembre 2005, per la progettazione e la realizzazione di un precedente ampliamento, realizzato nello stesso sito, era stata sviluppata una campagna di indagini geognostiche articolata attraverso l'esecuzione di 11 pozzetti esplorativi e 15 prove penetrometriche dinamiche.

Di seguito si riportano gli esiti delle indagini eseguite.

#### 4.1 POZZETTI ESPLORATIVI

Si riporta di seguito la stratigrafia dei pozzetti realizzati:

#### POZZETTO P1

da 0,0 a 0,4 m da p.c. $\rightarrow$	suolo vegetato
da 0,4 a 1,7 m da p.c. $\rightarrow$	sabbia limosa con ghiaia e ciottoli (riporto)
da 1,7 a 4,5 m da p.c. $\rightarrow$	sabbia limosa con ghiaia
da 4,5 a 5,0 m da p.c. →	limo con sabbia e ghiaia

#### POZZETTO P2

da 0,0 a 0,3 m da p.c. $\rightarrow$	suolo
da 0,3 a 1,5 m da p.c. $\rightarrow$	sabbia limosa con ghiaia e ciottoli di colore marrone
da 1,5 a 4,0 m da p.c. $\rightarrow$	sabbia limosa con ghiaia
da 4,0 a 5,0 m da p.c. →	ghiaia sabbiosa

#### POZZETTO P3

da 0,0 a 0,5 m da p.c. $\rightarrow$	suolo limoso-sabbioso ricco di materiale vegetale
da 0,5 a 3,0 m da p.c. $\rightarrow$	sabbia limosa debolmente ghiaiosa con rari ciottoli
da 3,0 a 4,0 m da p.c. →	ghiaia sabbiosa

#### POZZETTO P4

da 0,0 a 0,3 m da p.c. →	suolo limoso-sabbioso ricco di materiale vegetale
da 0,3 a 2,5 m da p.c. $\rightarrow$	materiale di riporto costituito da sabbia, ciottoli e blocchi con resti di
	mattoni, plastica, ecc.
da 2,5 a 4,5 m da p.c. $\rightarrow$	limo debolmente sabbioso
da 4,5 a 5,0 m da p.c. →	ghiaia sabbiosa

#### POZZETTO P5

da 0,0 a 0,4 m da p.c. $\rightarrow$	suolo
da 0,4 a 1,8 m da p.c. →	materiale di riporto con resti vegetali

limo sabbioso debolmente ghiaioso da 1,8 a 4,0 m da p.c.  $\rightarrow$ da 4,0 a 4,5 m da p.c.  $\rightarrow$ ghiaia e sabbia con ciottoli POZZETTO P6 da 0,0 a 0,4 m da p.c.  $\rightarrow$ suolo da 0,4 a 1,8 m da p.c.  $\rightarrow$ materiale di riporto da 1,8 a 3,0 m da p.c.  $\rightarrow$ ghiaia sabbiosa con ciottoli da 3,0 a 3,5 m da p.c.  $\rightarrow$ sabbia ghiaioso-limosa con rari ciottoli POZZETTO P7 da 0,0 a 0,4 m da p.c.  $\rightarrow$ suolo da 0,4 a 2,5 m da p.c.  $\rightarrow$ materiale di riporto sabbia ghiaioso-limosa con rari ciottoli da 2,5 a 4,5 m da p.c.  $\rightarrow$ POZZETTO P8 da 0,0 a 0,4 m da p.c.  $\rightarrow$ suolo da 0,4 a 2,0 m da p.c.  $\rightarrow$ materiale di riporto da 2,0 a 4,0 m da p.c.  $\rightarrow$ sabbia ghiaiosa poco addensata con rari ciottoli POZZETTO P9 da 0,0 a 0,5 m da p.c.  $\rightarrow$ suolo sabbia limosa con rari ciottoli da 0,5 a 3,0 m da p.c.  $\rightarrow$ da 3,0 a 4,0 m da p.c.  $\rightarrow$ sabbia ghiaioso-limosa POZZETTO P10 da 0,0 a 0,4 m da p.c.  $\rightarrow$ suolo da 0,4 a 1,5 m da p.c.  $\rightarrow$ materiale di riporto costituito da sabbia ghiaiosa con ciottoli e grossi blocchi; presenza di rifiuti da 1,5 a 2,5 m da p.c.  $\rightarrow$ ghiaia sabbiosa con ciottoli POZZETTO P11

Durante l'esecuzione dei pozzetti esplorativi erano stati raccolti 15 campioni, successivamente

materiale di riporto con resti di laterizi e rifiuti

limo sabbioso con resti vegetali

ghiaia sabbiosa con ciottoli

da 0,0 a 0,2 m da p.c.  $\rightarrow$ 

da 0,2 a 1,0 m da p.c.  $\rightarrow$ 

da 1,0 a 2,0 m da p.c.  $\rightarrow$ 

da 2,0 a 3,0 m da p.c.  $\rightarrow$ 

suolo

sottoposti ad analisi granulometrica. I materiali erano stati classificati facendo riferimento a tre diverse classificazioni: le norme A.G.I. (Associazione Geotecnica Italiana), la classificazione UNI-CNR 10006 (rif. American Association of State Highway Officials - AASHO) e la classificazione U.S.C.S. (Unified Soil Classification System) adottato dal Corps of Engineers e dal Bureau of Reclamation statunitensi.

Nella tabella sono riassunti i risultati ottenuti:

Pozz.	Camp.	Prof.	Norme A.G.I.	Classif. UNI 10006	Classif. U.S.C.S.
1	1	2,0	Sabbia con ghiaia limosa	A1-b	SW
1	2	3,6	Ghiaia con sabbia debolmente limosa	A1-a	GW
1	3	5,0	Limo con sabbia	A6	ML
2	1	3,8	Sabbia con limo	A6	SM
2	2	5,0	Ghiaia con sabbia debolmente limosa	A1-a	GW
3	1	2,4	Sabbia ghiaiosa limosa debolmente argillosa	A2-6	SW
3	2	4,0	Ghiaia con sabbia	A1-a	GW
4	1	4,7	Ghiaia con sabbia	A1-a	GW
5	1	4,5	Ghiaia con sabbia	A1-a	GW
6	1	3,5	Sabbia con ghiaia debolmente limosa	A1-b	SW
7	1	4,5	Sabbia con ghiaia debolmente limosa	A1-b	SW
8	1	4,0	Ghiaia con sabbia	A1-a	GW
9	1	4,0	Sabbia ghiaiosa limosa	A2-6	SW
10	1	2,5	Ghiaia con sabbia	A1-a	GW
11	1	3,0	Ghiaia con sabbia	A1-a	GW

Confrontando la classificazione ottenuta con il metodo U.S.C.S. con la tabella dei "Valori orientativi dei parametri che caratterizzano la curva sforzi - deformazioni di forma iperbolica - Primo carico" tratta da Michele Jamiolkowski ed Erio Pasqualini, si può ottenere il range di variazione dell'angolo d'attrito interno dei materiali. I valori ottenuti sono riportati nella tabella sottostante.

Pozz.	Camp.	Classif. U.S.C.S.	Φ	$\Phi_{MEDIO}$
1	1	SW	33°÷49°	36°
1	2	GW	32°÷53°	42°
1	3	ML	29°÷35°	32°
2	1	SM	29°÷38°	35°

2	2	GW	32°÷53°	42°
3	1	SW	33°÷49°	36°
3	2	GW	32°÷53°	42°
4	1	GW	32°÷53°	42°
5	1	GW	32°÷53°	42°
6	1	SW	33°÷49°	36°
7	1	SW	33°÷49°	36°
8	1	GW	32°÷53°	42°
9	1	SW	33°÷49°	36°
10	1	GW	32°÷53°	42°
11	1	GW	32°÷53°	42°

#### 4.2 PROVE PENETROMETRICHE DINAMICHE

Per l'esecuzione delle prove citate era stato utilizzato un penetrometro dinamico superpesante TG 63/100 KN della Ditta PAGANI motorizzato e cingolato le cui caratteristiche tecniche sono descritte nello schema allegato (fig. 1).

Si tiene a precisare che i dati ricavati tramite lo strumento in questione sono in tutto paragonabili a quelli della prova SPT (Standard Penetration Test) in foro di sondaggio. La prova penetrometrica dinamica (DP) consiste nell'infiggere verticalmente nel terreno una punta conica metallica posta all'estremità di un'asta d'acciaio, prolungabile con l'aggiunta di aste successive; l'infissione avviene per battitura, facendo cadere da un'altezza costante un maglio di dato peso.

Si contano i colpi necessari per la penetrazione di ciascun tratto di lunghezza stabilita; la resistenza del terreno è funzione inversa della penetrazione per ciascun colpo e, diretta, del numero di colpi (NDP) per una data penetrazione.

La successione stratigrafica ottenuta mostra una notevole disomogeneità: al di sotto di uno strato superficiale di materiale di riporto presente nella porzione più orientale dell'area, si rilevano infatti alternanze di materiali interpretabili, anche grazie alla correlazione con i pozzetti eseguiti, come limi sabbiosi, sabbie limose più o meno sciolte, sabbie e ghiaie.

Nel corso dell'indagine svolta, era stata individuata la presenza di acqua di falda ad una profondità variabile da -1,1 m (prova n° 8) a -3,3 m da piano campagna (prova n° 1).

Nei tabulati allegati, relativi all'interpretazione geotecnica, è riportata la parametrazione geotecnica e, in particolare, i valori di DR, di  $\Phi'$  e di  $\gamma$ d, riassunti nella seguente tabella:

Materiale	$D_R$	Φ'	γd
Limi sabbiosi e sabbie limose sciolte	10÷25%	27°÷29°	1,38÷1,45 t/mc
Sabbie limose e sabbie ghiaiose sciolte	30÷50%	29°÷33°	1,48÷1,60 t/mc
Sabbie debolmente limose, sabbie e ghiaie	50÷90%	34°÷41°	1,61÷1,83 t/mc

Negli allegati vengono proposti tutti tabulati delle 15 prove effettuate e la loro ubicazione.

#### 5 NUOVE INDAGINI GEOGNOSTICHE E GEOTECNICHE

#### 5.1 SONDAGGIO A CAROTAGGIO CONTINUO

Al fine di determinare con precisione le caratteristiche geologiche, stratigrafiche e geotecniche dei terreni oggetto di intervento, è stato effettuato un sondaggio a carotaggio continuo spinto fino alla profondità di 30 m da piano campagna. Con il termine "sondaggio" si intende una perforazione, verticale od orizzontale, avente lo scopo di determinare la natura e la qualità dei terreni. Il metodo utilizzato, adatto sia per i terreni che per le rocce, è quello a rotazione che prevede l'utilizzo di una sonda di perforazione provvista di aste, sull'ultima delle quali viene montato il tubo carotiere, utensile che consente il prelievo della carota da utilizzarsi per la ricostruzione stratigrafica e per l'esecuzione di prove di laboratorio.

Nel caso in esame è stato realizzato un sondaggio verticale, eseguito a carotaggio continuo, con un diametro pari a 101/127 mm utilizzando una sonda Comacchio Geo 305.

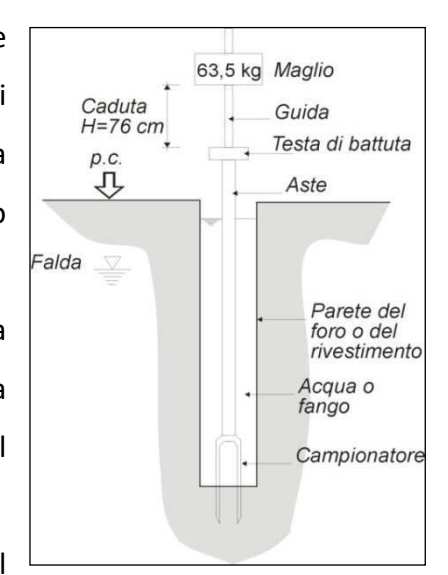
I campioni estratti, rappresentativi di tutta la lunghezza del sondaggio, sono stati ordinati e raccolti in apposite cassette catalogatrici (si veda la documentazione fotografica allegata), opportunamente classificate con gli estremi identificativi del sondaggio.

#### 5.2 PROVE SPT

Durante l'esecuzione del sondaggio sono state eseguite 15 prove SPT: ogni 1,5 m nei primi 15 metri del sondaggio, ogni 3 m nei restanti 15 m. La prova SPT consente di determinare la resistenza a rottura che un terreno offre alla penetrazione dinamica di uno strumento infisso a partire dal fondo di un foro di sondaggio.

La prova consiste nel far cadere un maglio, del peso di 63,5 kg, da un'altezza di 760 mm, su una testa di battuta fissata alla sommità di una batteria di aste, alla cui estremità inferiore è avvitato il campionatore di dimensioni standardizzate.

Il numero di colpi (N) necessario per una penetrazione del



campionatore pari a 300 mm (dopo l'eventuale penetrazione quasi-statica per gravità e dopo 150 mm di infissione dinamica per il posizionamento) è il dato assunto come indice della resistenza alla penetrazione (N<sub>SPT</sub>).

Questo tipo di prova può essere eseguita in tutti i tipi di terreni, incluse le rocce tenere, e consente, attraverso l'esame del campione prelevato dal campionatore, una più sicura interpretazione del risultato.

Va posto in evidenza come essa in genere non simuli il comportamento del terreno nel campo delle sollecitazioni statiche e quindi i risultati possono essere correlati solo empiricamente con i parametri geotecnici.

La prova può considerarsi conclusa quando:

- non sono sufficienti 50 colpi per la penetrazione di uno dei tre tratti da 15 cm;
- si applicano 100 colpi per la penetrazione di 300 mm;
- non si osserva un'apprezzabile penetrazione con 10 colpi successivi.

Numerosi sono i fattori che possono influenzare i valori di NSPT per cui possono venire introdotti alcuni fattori correttivi quali:

 normalizzazione rispetto all'influenza della pressione del terreno sovrastante mediante l'espressione:

$$N_1 = C_N \cdot N$$

dove:

N è il numero di colpi (NSPT) misurati con la prova standard

N1 è il valore di N riferito ad un valore unitario di  $\sigma'V0$ ;

CN è un coefficiente di correzione dipendente dal valore di  $\sigma'$ VO e ricavabile come segue:

$$C_N = 1/\sigma_{V0}^{(n)}$$

introducendo:

n = 0,56 (Jamiolkowski e al., 1985b)

n = 0,5 (Liao e Whitman, 1985)

• normalizzazione rispetto al dispositivo di battitura mediante l'espressione:

$$N_{60} = \frac{ER_{iM}}{60} \cdot N$$

dove:

- N<sub>60</sub> è il numero di colpi corretto per riferirlo al rendimento 60%
- ER<sub>iM</sub> è il rendimento medio misurato, espresso in percentuale
- N è il numero di colpi (NSPT) misurati con la prova standard

Il valore normalizzato di N che tenga conto delle due correzioni può essere espresso dalla relazione:

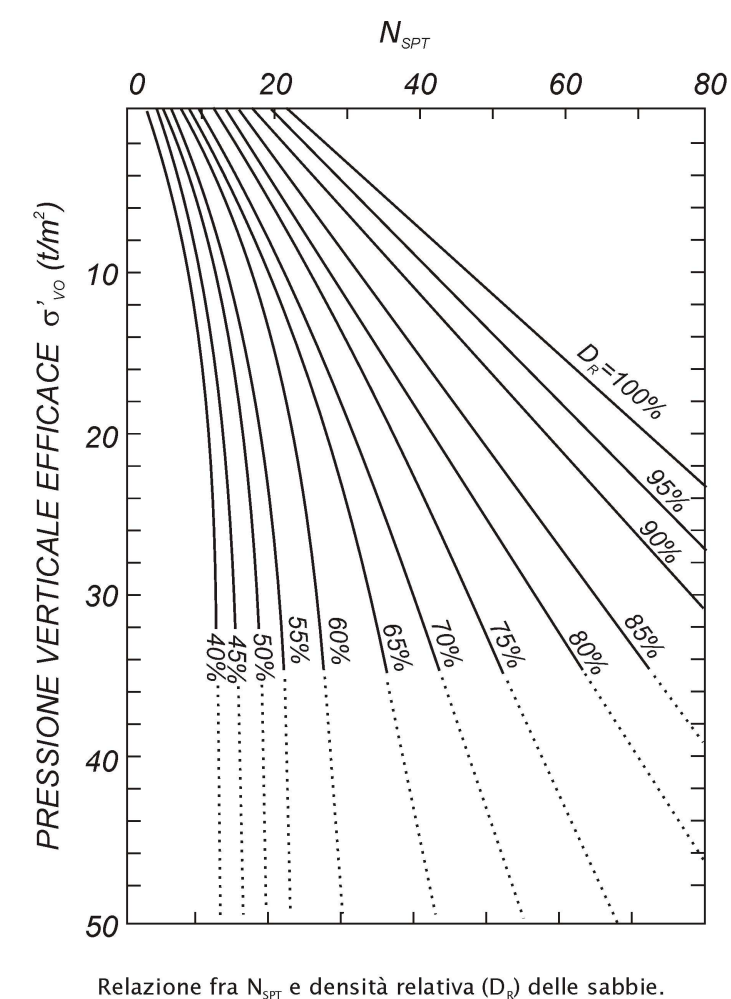
$$(N_1)_{60} = C_N (ER_{iM} / 60)N \approx \frac{ER_{iM} \cdot N}{60\sqrt{\sigma'_{V0}}}$$

5.3 PARAMETRI RICAVABILI DALLE PROVE SPT

I parametri ricavabili da tale tipologia di prova risultano essere:

#### - Densità relativa

Usualmente si adotta la correlazione di Gibbs e Holtz (1957) valida per sabbie quarzose normal-



(Gibbs e Holtz, 1957)

(valori in percentuale) e Terzaghi-Peck (valori qualitativi):

consolidate, non cementate e che tiene conto dell'influenza della pressione verticale efficace.

Nell'utilizzo del grafico è necessario tener conto che per DR < 70% la densità ricavata dal grafico di pagina precedente risulta tendenzialmente più alta del valore reale, mentre per bassi valori di pressione efficace  $\sigma$ 'vo<5 kPa la densità relativa ricavata dal grafico risulta tendenzialmente troppo alta.

Disponendo del valore normalizzato di NSPT [(N1)60] la migliore correlazione tra resistenza alla penetrazione e densità relativa, risulta quella proposta da Terzaghi e Peck (1948).

Di seguito vengono indicati i valori di Densità Relativa secondo Gibbs-Holtz

DR %					
0	15	35	50	65	85
100					
Molto sciolta	Sciolta	Media		Addensata	Molto addensata
0	3	8	15	25	42
58					
(N1) <sub>60</sub>					

Ai valori ottenuti è necessario apportare una riduzione di 55/60 nel caso di sabbie fini ed un incremento di 65/60 nel caso di sabbie grossolane.

#### - Angolo di attrito efficace (Φ')

La correlazione proposta da De Mello (1971) consente la valutazione dell'angolo di attrito  $\Phi'$  in base al valore di NSPT e dello sforzo efficace  $\sigma'$ vo, presentando le stesse condizioni di validità della relazione proposta per la DR da Gibbs e Holtz.

Per bassi valori dello sforzo verticale efficace ( $\sigma'$ vo < 10 kPa) l'angolo di attrito risulta sopravalutato, così come per valori di  $\Phi'$  > 38°.

Di seguito viene riportata la correlazione proposta da Peck-Hanson-Thorburn (1953-'74):

NSPT	Φ'	NSPT	Φ'
5	28°	55	41,8°
10	30°	60	42,5°
15	31,5°	65	43,3°
20	33°	70	44°
25	34,5°	75	44,3°
30	36°	80	44,5°
35	37,3°	85	44,8°
40	38,5°	90	45°
45	39,8°	95	45°
50	41°	100	45°

#### - Modulo elastico (E)

E' possibile utilizzare la formula proposta da Schmertmann (1970) per le sabbie in cui:

$$E = 8 \cdot N$$

#### - Modulo di compressibilità edometrica

Confronti tra il NSPT ed il modulo di compressibilità Eed=1/mv, sono stati condotti da Shultze e Menzenbach su numerosi provini di varia granulometria.

Essi hanno dato come risultato la seguente espressione:

$$E_{ed} = C_1 + (C_2 \cdot N_{SPT}) \pm S_E$$

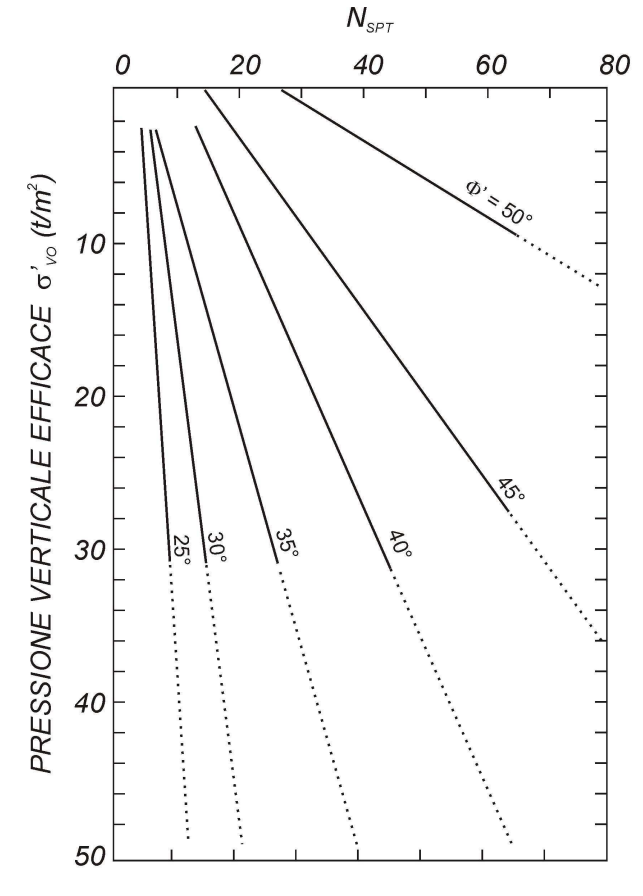
dove C1 e C2 sono costanti che dipendono dal materiale ed sE è la deviazione standard.

#### - Stress ratio (τ/σ)

Rappresenta il rapporto tra lo sforzo dinamico medio  $\tau$  (tau) e la tensione verticale di consolidazione  $\sigma$  (sigma) per la valutazione del potenziale di liquefazione delle sabbie ed è stato definito da Seed ed al. (1985) come:

$$\frac{\tau_{av}}{\sigma'_{o}} = 0.65 \cdot \frac{a_{\text{max}}}{g} \cdot \frac{\sigma_{vo}}{\sigma'_{vo}} \cdot r_{d}$$

dove:



Relazione fra angolo di attrito ( $\Phi$ ') delle sabbie e valori di NSPT, tenendo conto dell'influenza del peso del terreno sovrastante ( $\sigma'_{vo}$ ) (De Mello, 1971)

 $a_{max}$  = accelerazione massima al piano campagna.

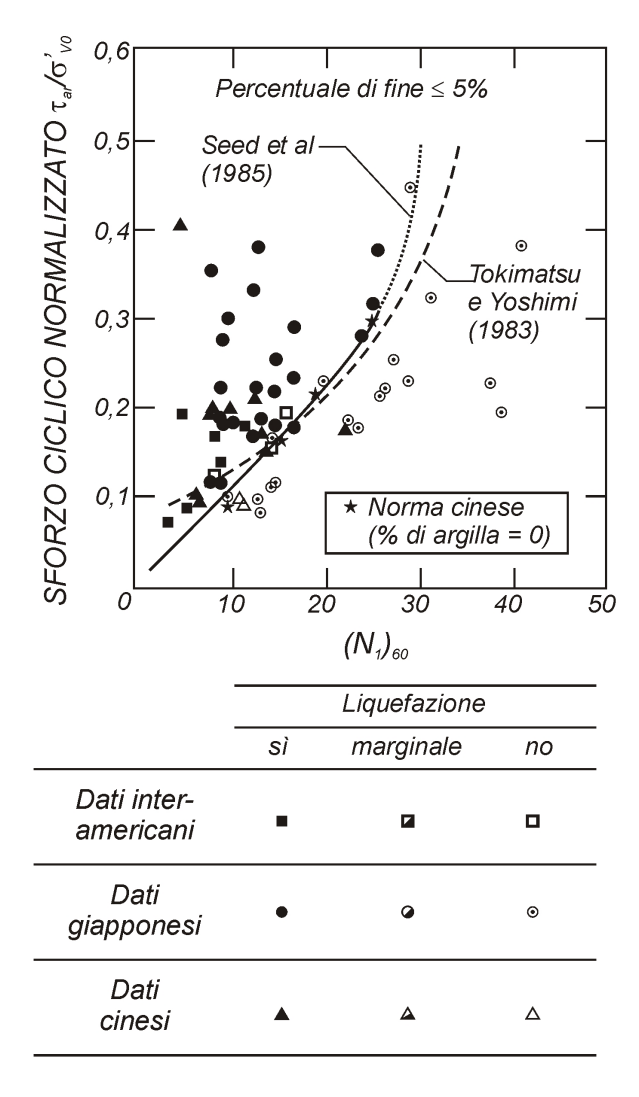
 $\sigma_{vo}$  = pressione verticale totale agente alla profondità considerata.

 $\sigma'_{vo}$  = pressione verticale efficace agente alla profondità considerata.

 $r_d$  = fattore dello sforzo che decresce dal valore di 1 al piano campagna al valore di 0,9 a 10 m di profondità.

In figura è illustrata la relazione fra lo sforzo ciclico ed il valore NSPT normalizzato, basata su siti sabbiosi con percentuale di fine ≤5%, che hanno mostrato fenomeni di liquefazione a seguito di terremoti di magnitudo dell'ordine di 7,5.

Le linea piena e quella tratteggiata indica il limite di separazione fra i terreni liquefacibili e non liquefacibili, rispettivamente proposte da Seed ed al. (1985) e Tokimatsu e Yoshimi (1983).



Stima della potenzialità alla liquefazione delle sabbie in base al valore  $N_{\text{SPT}}$  normalizzato  $[(N_{_1})_{_{60}}]$ 

(Seed e al. 1985; Tokimatsu e Yoshimi, 1983)

#### 6 RISULTATI DELLE PROVE EFFETTUATE

#### 6.1 SONDAGGIO A CAROTAGGIO CONTINUO

Di seguito viene riportata la stratigrafia del sondaggio realizzato

Profondità	Descrizione litologica
0,00 - 0,10	Terreno vegetale.
0,10 - 0,90	Materiale di riporto medio-grossolano con resti di laterizi di colore marrone scuro.
0,90 - 1,70	Sabbia medio-fine limosa con clasti sub-arrotondati di origine vulcanica e metamorfica ci colore 2.5Y 7/2 secondo la Musell Soil Color Chart.
1,70 - 1,90	Limo sabbioso con elevato contenuto organico di colore 2.5Y 4/4.
1,90 - 2,20	Sabbia medio-fine limosa con clasti sub-arrotondati di origine vulcanica e metamorfica ci colore 2.5Y 7/2.
2,20 - 2,80	Limo sabbioso con elevato contenuto organico di colore 2.5Y 4/4.
2,80 - 3,40	Sabbia in matrice limosa con ghiaia inglobante clasti vulcanici e metamorfici subspigolosi con diametro massimo di 4 cm.
3,40 - 3,60	Ghiaia a supporto di matrice sabbiosa fine limosa di colore grigio chiaro con clasti e ciottoli sub-arrotondati.
3,60 - 10,80	Sabbia medio-grossolana con ghiaia e presenza di ciottoli inglobati di origine metamorfica di diametro medio 4-5 cm; puntuale presenza di blocchi (4,70 m; 9,00 m) in matrice limosa moderata. Colore 5Y 7/4.
10,80-13,60	Sabbia fine da limosa a con limo con puntuali ciottoli inglobati; comportamento poco plastico. Colore GLEY2 6/5B.
13,60 - 15,50	Sabbia medio-fine limosa compatta con modesta presenza di ghiaia con clasti di piccole dimensioni sub-arrotondati di colore 2.5Y 7/3.
15,50 - 19,40	Sabbia medio fine da limosa a con limo con comportamento mediamente plastico; clasti e piccoli ciottoli inglobati sub-arrotondati con diametro medio 2-4cm. Fra 18,00 e 18,10 diminuzione della presenza di ghiaia.
19,40 - 20,00	Ghiaia in matrice sabbioso-limosa con elevato contenuto di clasti e piccoli ciottoli sub-arrotondati di origine metamorfica di dimensione media 2-5 cm.
20,00 - 30,00	Sabbia media-grossolana limosa compatta che puntualmente si presenta debolmente ghiaiosa. Colore 5Y 7/6.

#### 6.2 PROVE SPT

Al fine di possedere elementi utili per la modellazione geotecnica del terreno, si sono eseguite le prove SPT nel foro di sondaggio, prove che hanno fornito i seguenti risultati.

PROFONDITÀ	RISULTATO	N <sub>SPT</sub>
1,5	2-2-5	7

3,0	3-6-9	15
4,5	22-33-38	71
6,0	23-14-8	22
7,5	4-6-7	13
9,00	RIf.	Rif.
10,50	17-18-18	36
12,00	12-15-15	30
13,50	13-10-14	24
15,00	10-15-18	33
18,00	41-Rif.	Rif.
21,00	22-27-30	57
24,00	24-26-27	53
27,00	14-21-28	49
30,00	34-38-42	80

Tutti i dati ottenuti nella presente indagine geognostica, unitamente a quelli ottenuti in quella pregressa, saranno utilizzati per la definizione del modello geologico e di quello geotecnico.

#### 7 MODELLO GEOLOGICO

Sulla base delle indagini effettuate nel 2005 e del sondaggio effettuato per il progetto attuale è stato possibile costruire un modello geologico del terreno così riassumibile:

- fra 0,0 e 2,0 metri da piano campagna: terreno di riporto con presenza di laterizi;
- fra 2,0 e 4,0 metri da piano campagna: alternanza di livelli di sabbia fine limosa e limo sabbioso con presenza di livelli organici;
- fra 4,0 e 10,8 metri da piano campagna: sabbia media grossolana e ghiaia con presenza di ciottoli e blocchi in una matrice limosa, presenza di livelli più prettamente limosi;
- fra 10,8 e 19,4 m da piano campagna: sabbia fine limosa in alternanza con livelli più ghiaiosi;
- fra 19,4 e 30,0 m da piano campagna: sabbia e ghiaia limosi.

<u>Tutti i depositi sono di origine glaciale o fluvioglaciale e si presentano con granulometrie eterogenee e con una variabilità spaziale elevata.</u>

#### 8 MODELLO E PARAMETRAZIONE GEOTECNICA

Dalla modellazione geologica descritta nel precedente capitolo, che ha permesso di individuare la tipologia di depositi presenti, si è potuta determinare la parametrazione geotecnica del terreno e valutarne le caratteristiche. Per tale motivo facendo riferimento all'indagine eseguita, si sono ricavati alcuni parametri del terreno, che vengono di seguito elencati: si tratta della densità relativa, dell'angolo di attrito efficace, del peso di volume secco e del valore medio degli N<sub>SPT</sub> rilevati.

MATERIALE	DR	<b>Φ'</b> [°]	γ <sub>d</sub> [t/mc]	γ <sub>s</sub> [t/mc]	N <sub>SPT</sub>
Riporto	35÷77%	30÷39°	1,50÷1,78	1,93÷2,11	10÷42
Alternanza di limi e sabbie	11÷51%	27,2÷33,3°	1,38÷1,60	1,54÷2,00	3÷21
Sabbia ghiaiosa limosa	31÷83%	30,0÷40,5°	1,50÷1,83	1,93÷2,14	10÷71
Sabbia limosa ghiaiosa	34÷41%	32,6÷34,4°	1,59÷1,64	1,99÷2,02	24÷33
Sabbia e ghiaia limosi	35÷44%	36,1÷40,6°	1,72÷1,84	2,07÷2,14	49÷80

In conformità alla normativa vigente, devono essere definiti i valori "caratteristici" dei parametri geotecnici: con tale termine si intende "quel valore a cui è fissata la probabilità di non superamento e rappresenta la soglia al di sotto della quale si colloca non più del 5% dei valori". In conformità alla normativa vigente, devono essere definiti i valori "caratteristici" dei parametri geotecnici: con tale termine si intende "quel valore a cui è fissata la probabilità di non superamento e rappresenta la soglia al di sotto della quale si colloca non più del 5% dei valori".

Avendo a disposizione un numero congruo di misure (≥5), si adotta rispettivamente la seguente formula:

$$x_k = x_m + 1.645 \cdot \sigma_{\infty}$$

dove:

- xm: valore medio;

- 1,645: costante relativa alla distribuzione normale;

- n: numero di dati;

- σ: scarto quadratico medio.

Disponendo invece di un numero di misure inferiore a 5, si adotta la seguente formula:

$$x_k = x_m - 1,645 \cdot \sigma_x$$

- Xm: valore medio;

- 1,645: costante relativa alla distribuzione normale;
- σx: deviazione standard;
- COV: coefficiente di variazione (da fonti bibliografiche, pari a 5 nel caso di studio).

A seguito delle elaborazioni sviluppate, nella tabella seguente viene riassunta la parametrazione geotecnica dei vari orizzonti identificati dal modello geologico. Per quanto concerne il peso di volume si ritiene più adeguato utilizzare un valore naturale, equivalente ad un peso parzialmente saturo in assenza di falda.

MATERIALE	Φ <sub>κ</sub> [°]	γ <sub>N</sub> [t/mc]	c [kg/cmq]
Riporto	29,1°	1,7	0
Alternanza di limi e sabbie	26,5°	1,7	0
Sabbia ghiaiosa limosa	30,6°	1,8	0
Sabbia limosa ghiaiosa	30,9°	1,8	0
Sabbia e ghiaia limosi	34,6°	1,9	0

Si precisa come la parametrazione determinata in modo statistico risulta congruente con le caratteristiche dei depositi presenti.

Le caratteristiche geotecniche possono essere definite come "discrete" per i depositi di riporto, "da mediocri a scadenti" nelle alternanze presenti fino a 4 metri da piano campagna, di nuovo "discrete" fino a 10 m da piano campagna e "buone" al di sotto di tale quota.

#### 9 INDAGINE GEOFISICA CON IL METODO MASW

L'Ordinanza n. 3274 del Presidente del Consiglio dei Ministri del 20 marzo 2003 ha individuato per ciascun comune una zona sismica di appartenenza (da 1 a 4) relativa alla maggiore (zona 1) o minore (zona 4) suscettività sismica del territorio comunale stesso.

Il Comune di Gattico-Veruno è individuato in <u>Zona sismica 4</u> nell'elenco della zonazione sismica dei comuni italiani.

Le indagini eseguite vengono sviluppate allo scopo di definire del parametro sismico Vseq medio negli strati di terreno, per meglio determinare il fattore di rischio sismico nel caso si manifestasse il sisma di riferimento. Al valore della velocità delle Onde Trasversali (Vs) corrisponde la propensione dei terreni ad esaltare/contenere (effetto di sito) le sollecitazioni provocate dalle onde sismiche superficiali, che sono le più pericolose nei confronti dei manufatti.

Come accennato in premessa, per lo studio delle Vs nel presente lavoro si è adottato il metodo MASW (acronimo di *Multichannel Analysis Surface Waves*).

#### 9.1 GENERALITÀ SULLE ONDE SISMICHE

La prospezione sismica consiste in una serie di misure, condotte in superficie, sulla variazione nello spazio della proprietà fisica dei terreni denominata "elasticità".

Tale metodo non sfrutta campi di forze naturali ma richiede l'immissione artificiale nel terreno di una certa quantità di energia, la cui intensità, così come la distanza fra sorgente di energia e apparecchi di misura, può essere regolata al fine di rispondere al meglio ai quesiti posti dall'indagine.

Tale energia genera nel terreno delle onde sismiche che si dividono in due grandi categorie:

- onde di corpo (o di volume): onde P (Primarie) e onde S (Secondarie).
- onde superficiali (onde di Rayleigh e onde di Love).

Tra le onde generate, per più di due terzi vengono trasmesse nella forma di onde di Rayleigh, la componente principale delle onde superficiali.

Ipotizzando una variazione di velocità dei terreni in senso verticale, ciascuna componente di frequenza dell'onda superficiale ha una diversa velocità di propagazione (chiamata velocità di fase) che, a sua volta, corrisponde ad una diversa lunghezza d'onda per ciascuna frequenza che si propaga: questa proprietà si chiama dispersione.

#### Onde di corpo

Le Onde P sono delle onde di corpo di compressione (o longitudinali) e corrispondono a

compressioni e rarefazioni del mezzo in cui viaggiano: al loro passaggio le particelle di terreno infatti oscillano in avanti e indietro nella stessa direzione di propagazione dell'onda.

Sono le onde più veloci generate da un sisma, quindi sono le prime avvertite, da cui il nome di Onda P (Primaria).

La velocità dell'onda può essere ricavata dall'equazione:

$$V_p = \sqrt{\frac{k + \frac{4}{3}\mu}{\rho}}$$

con:

- k che rappresenta il modulo di incompressibilità;
- μ è il modulo di rigidità;
- ρ la densità del materiale attraversato dall'onda.

Le Onde S sono onde di corpo che oscillano perpendicolarmente rispetto alla direzione di propagazione. Possono essere immaginate come le onde che si propagano su una corda che viene fatta oscillare. Un'importante caratteristica di queste onde è che non possono propagarsi in mezzi fluidi:

$$V_s = \sqrt{\frac{\mu}{\rho}}$$

con:

- μ che rappresenta il modulo di taglio del materiale;
- ρ la densità.

Dal confronto delle due relazioni sopra citate, è possibile osservare come la velocità delle onde S è necessariamente inferiore alla velocità delle onde P (in quanto manca il termine K) e raggiungono una velocità che si aggira solitamente intorno al 60-70% della velocità delle onde P. Per questo motivo giungono sempre dopo le Onde P (da cui onde S come Secondarie).

#### Onde superficiali

Le onde superficiali (o onde di superficie) vengono a crearsi a causa dell'intersezione delle onde di corpo con la superficie. Queste onde vengono trasmesse lungo la superficie e decadono esponenzialmente con la profondità (è questo il motivo per cui si dicono superficiali). Queste onde vengono generate facilmente nelle situazioni in cui la sorgente sismica è poco profonda. È da sottolineare che in caso di terremoto, dalla sorgente sismica vengono generate solo Onde P e Onde S, in quanto queste sono le onde di corpo, cioè le onde che si propagano all'interno della terra mentre non vengono generate direttamente le onde superficiali.

La velocità delle onde di superficie è inferiore alla velocità delle onde di corpo, per cui il loro

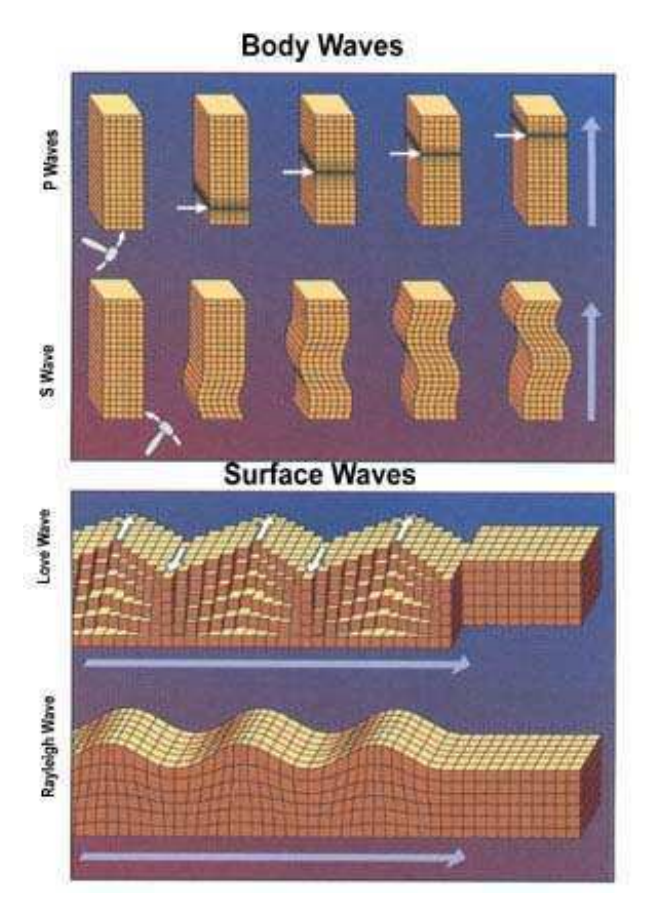
arrivo è successivo all'arrivo delle Onde P ed S, al contrario l'ampiezza di queste onde è notevolmente maggiore di quella delle onde di corpo.

Le Onde di Rayleigh vengono generate quando un'onda S, che incide sulla superficie libera, viene in parte riflessa, determinando un'ulteriore onda che si propaga sulla superficie stessa.

Queste onde esistono sia in semispazi omogenei (in questo caso la sua velocità è circa 0,92 volte la velocità delle onde S) che disomogenei (in cui risulta essere un'onda dispersa, cioè la sua velocità

dipende dalla frequenza). Per meglio visualizzarle possono essere immaginate come molto simili a quelle che si creano gettando un sasso nello stagno, provocando quindi uno scuotimento o un sussulto del terreno. Il loro moto è vincolato in uno spazio verticale contenente la direzione di propagazione dell'onda.

Le Onde di Love sono anch'esse generate dalla riflessione delle Onde S sulla superficie libera del terreno, ma vengono generate solo nei mezzi in cui la velocità delle Onde S aumenta con la profondità (quindi siamo in presenza di un mezzo disomogeneo) e quindi sono sempre onde disperse. Le Onde di Love fanno vibrare il terreno sul piano orizzontale lungo la direzione ortogonale rispetto alla direzione di propagazione dell'onda.



La velocità delle onde di Love è maggiore di quella delle onde S negli strati più superficiali della crosta, ma minore della stessa negli strati più bassi.

Nella figura è illustrato il movimento dei diversi tipi di onde di corpo e di superficie.

#### 9.2 CARATTERISTICHE DEL METODO

Sebbene le onde superficiali siano considerate rumore per le indagini sismiche che utilizzano le onde di corpo (riflessione e rifrazione), la loro proprietà dispersiva può essere utilizzata per studiare le proprietà elastiche dei terreni superficiali.

La costruzione di un profilo verticale di velocità delle onde di taglio (Vs), ottenuto dall'analisi delle onde di Rayleigh e di Love, è una delle pratiche più comuni per utilizzare le proprietà dispersive delle onde superficiali.

L'intero processo comprende tre passi successivi:

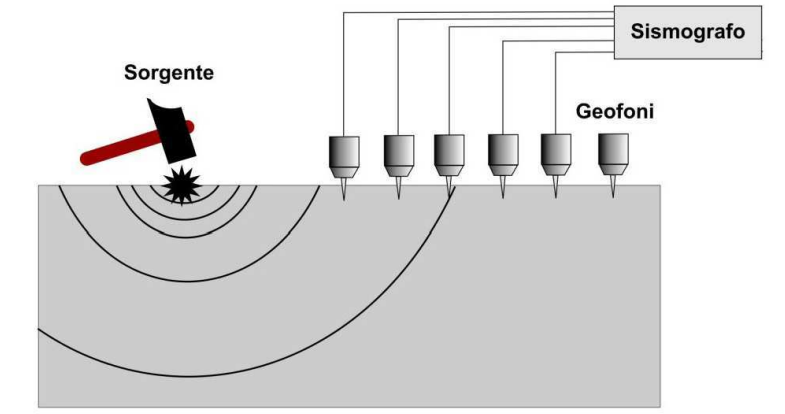
- 1. l'acquisizione delle onde superficiali (ground roll),
- 2. la costruzione di una curva di dispersione (il grafico della velocità di fase rispetto alla frequenza)
- 3. l'inversione della curva di dispersione per ottenere il profilo verticale delle Vs.

Modalità di esecuzione, strumentazione e squadra

Per ottenere un profilo Vs è necessario produrre un treno d'onde superficiali a banda larga e registrarlo minimizzando il rumore.

La base sismica (disegno a lato) è costituita da uno stendimento formato da un cavo multipolare cui sono collegati 12/24 geofoni a bassa frequenza (4,5 Hz), tali geofoni vengono infissi nel terreno con un intervallo variabile.

Attraverso tali geofoni (ricevitori)



vengono rilevati gli impulsi sismici generati artificialmente da una sorgente di energia (mazza, fucile sismico, ecc.); gli impulsi sismici vengono poi trasformati in impulsi elettrici dal sismografo registratore che ha la possibilità di ampliarli e decodificarli.

Al fine di migliorare la qualità del segnale viene eseguita l'operazione di stacking: si tratta di sommare più acquisizioni pertinenti allo stesso stendimento, eseguendo un numero n di battute.

Il punto di energizzazione "P" è ubicato all'estremità dello stendimento, ad una distanza (offset) variabile dall'ultimo geofono; il tempo "zero", corrispondente all'attimo dell'energizzazione, viene inviato al sismografo registratore da un geofono starter, collegato via cavo.

Per ogni punto di energizzazione si effettua una registrazione dei tempi di arrivo ai geofoni degli impulsi generati per una finestra di ricezione di 2000 millisecondi (2,0 sec) sufficiente a captare

tutti gli arrivi d'onda e le relative attenuazioni.

La strumentazione utilizzata è la seguente:

- sismografo PASI 16S24U 24 canali;
- notebook ASUS per la registrazione dei dati;
- geofoni PASI ad asse orizzontale da 4,5 Hz;
- cavi sismici multipolari con 24 prese intervallate di 5 metri;
- massa battente;



- geofono starter, munito di "switch" per l'invio via cavo del "time break" al sismografo;
- cavi di prolunga e collegamento.

La squadra geofisica è stata composta da:

- geologo-geofisico responsabile dell'unità operativa;
- geologo.

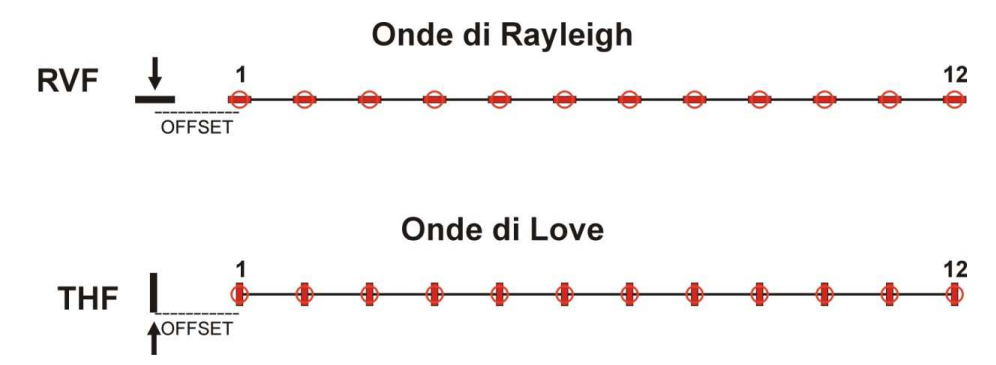
Per una completezza di dati che consenta una migliore modellizzazione del sottosuolo, vengono effettuate molteplici acquisizione per l'ottenimento sia delle onde di Rayleigh sia di quelle di Love. Come illustrato nello schema e nelle immagini e sottostanti, per la registrazione delle diverse tipologie di onde si ha una diversa direzione di energizzazione ed un diverso posizionamento dei geofoni.

Onde di Rayleigh: l'energizzazione avviene perpendicolarmente alla superficie del terreno, acquisendo i dati con geofoni orizzontali con asse disposto parallelamente all'asse dello stendimento (Acquisizione RVF – Radial Vertical Force).

Onde di Love: l'energizzazione avviene parallelamente alla superficie del terreno (colpendo la piastra ortogonalmente all'asse dello stendimento) e l'asse dei geofoni viene disposto perpendicolarmente all'asse dello stendimento (Acquisizione THF – Transversal Horizontal Force).







#### 9.3 ELABORAZIONE DEI DATI

Una molteplicità di tecniche diverse sono state utilizzate nel tempo per ricavare la curva di dispersione, ciascuna con i suoi vantaggi e svantaggi.

Per le analisi dei dati acquisiti si è utilizzato il software winMASW 2018 Academy, prodotto dalla Società Eliosoft.

L'inversione della curva di dispersione viene realizzata iterativamente, utilizzando la curva di dispersione misurata come riferimento.

Per ottenere il profilo verticale Vs dalla curva di dispersione è necessario conoscere i valori approssimati del rapporto di Poisson e della densità; tali valori vengono solitamente stimati utilizzando misure prese in loco o valutando le tipologie dei materiali (stratigrafie di pozzi limitrofi).

Quando si generano le onde piane della modalità fondamentale delle onde di Reyleigh, vengono generate anche una molteplicità di tipi diversi di onde. Fra queste le onde di corpo, le onde superficiali non piane ed infine le onde riverberate (back scattered), generate dalle disomogeneità superficiali, dal rumore ambientale e da quello imputabile alle attività umane.

Le onde di corpo sono in vario modo riconoscibili in un sismogramma multicanale: le onde di corpo dirette viaggiano, come è implicito nel nome, direttamente dalla sorgente ai ricevitori (geofoni), mentre quelle rifratte e riflesse sono il risultato dell'interazione fra le onde e l'impedenza acustica (il contrasto di velocità) fra le superfici di discontinuità.

Le onde che si propagano a breve distanza dalla sorgente sono sempre onde superficiali. Queste onde, in prossimità della sorgente, seguono un complicato comportamento non lineare e non possono essere trattate come onde piane.

Le onde superficiali riverberate (back scattered) possono essere prevalenti in un sismogramma multicanale se in prossimità delle misure sono presenti discontinuità orizzontali, quali fondazioni e muri di contenimento. Le ampiezze relative a ciascuna tipologia di rumore generalmente cambiano con la frequenza e la distanza dalla sorgente. Ciascun rumore, inoltre, ha diverse

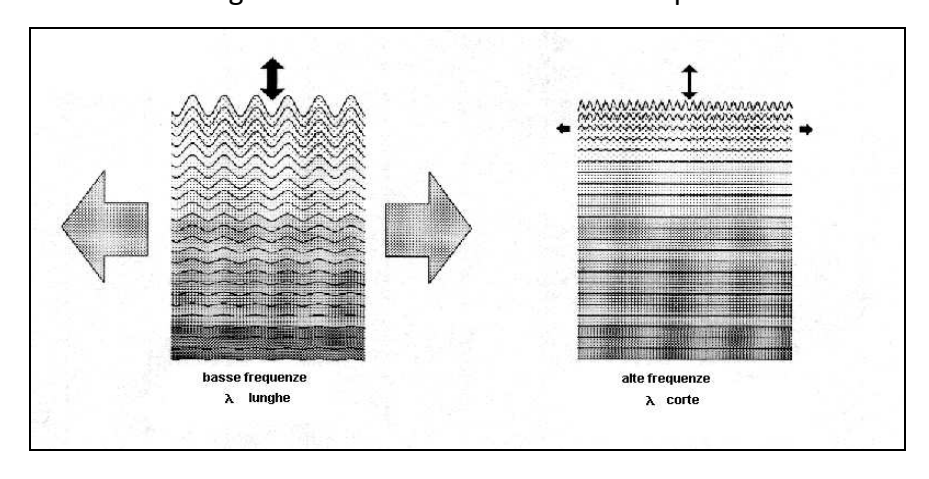
velocità e proprietà di attenuazione che possono essere identificate sulla registrazione multicanale grazie all'utilizzo di modelli di coerenza e in base ai tempi di arrivo e all'ampiezza di ciascuno.

La scomposizione di un campo di onde registrate in un formato a frequenza variabile consente l'identificazione della maggior parte del rumore analizzando la fase e la frequenza dipendentemente dalla distanza dalla sorgente. La scomposizione può essere quindi utilizzata in associazione con la registrazione multicanale per minimizzare il rumore durante l'acquisizione.

La scelta dei parametri di elaborazione, così come del miglior intervallo di frequenza per il calcolo della velocità di fase, può essere fatto con maggior accuratezza utilizzando dei sismogrammi multicanale. Una volta scomposto il sismogramma, una opportuna misura di coerenza applicata nel tempo e nel dominio della frequenza può essere utilizzata per calcolare la velocità di fase rispetto alla frequenza.

La velocità di fase e la frequenza sono le due variabili (x, y) il cui legame costituisce la curva di dispersione. È anche possibile determinare l'accuratezza del calcolo della curva di dispersione analizzando la pendenza lineare di ciascuna componente di frequenza delle onde superficiali in un singolo sismogramma. In questo caso la metodologia MASW permette la miglior registrazione e separazione ad ampia banda ed elevati rapporti Segnale/Disturbo (S/N). Un buon rapporto S/N assicura accuratezza nel calcolo della curva di dispersione, mentre l'ampiezza di banda migliora la risoluzione e la possibile profondità di indagine del profilo Vs di inversione.

L'illustrazione sottostante mostra le proprietà di dispersione delle onde di superficie. Le componenti a bassa frequenza (lunghezze d'onda maggiori) sono caratterizzate da forte energia e grande capacità di penetrazione, mentre le componenti ad alta frequenza (lunghezze d'onda corte), hanno meno energia e una penetrazione superficiale. Grazie a queste proprietà, una metodologia che utilizzi le onde superficiali può fornire informazioni sulle variazioni delle proprietà elastiche dei materiali prossimi alla superficie al variare della profondità. La velocità delle onde S (Vs) è il fattore dominante che governa le caratteristiche della dispersione.



L'analisi della dispersione delle onde di superficie per la determinazione del profilo Vs, si sviluppa essenzialmente in due operazioni svolte in successione:

- 1. determinazione dello spettro di velocità dal quale vengono, per così dire, estratte le proprietà dispersive delle onde di superficie (curve di dispersione);
- 2. inversione delle curve di dispersione precedentemente individuate.

L'analisi delle curve di dispersione viene svolta nel dominio f-v (frequenza-velocità).

Il processo di inversione consente di passare dalla curva di dispersione al profilo verticale della velocità delle onde di taglio (Vs): poiché il dato che si va ad invertire non è un dato oggettivo ma un dato interpretato, una cattiva interpretazione del dato porta necessariamente ad un errore nel profilo Vs ricostruito.

Per effettuare l'interpretazione delle curve di dispersione si preferisce effettuare una modellazione diretta piuttosto che affidarsi in modo semplicistico alla procedura picking  $\rightarrow$  inversione automatica.

Nella modellazione diretta occorre tenere in considerazione che le alte frequenze sono influenzate dalla porzione superficiale del terreno mentre le basse frequenze da quella profonda.

Effettuare un'analisi congiunta, ad esempio utilizzando le onde di Rayleigh e quelle di Love, consente di ridurre l'incertezza del modello.

#### 9.4 CARATTERISTICHE DELLE INDAGINI MASW ESEGUITE

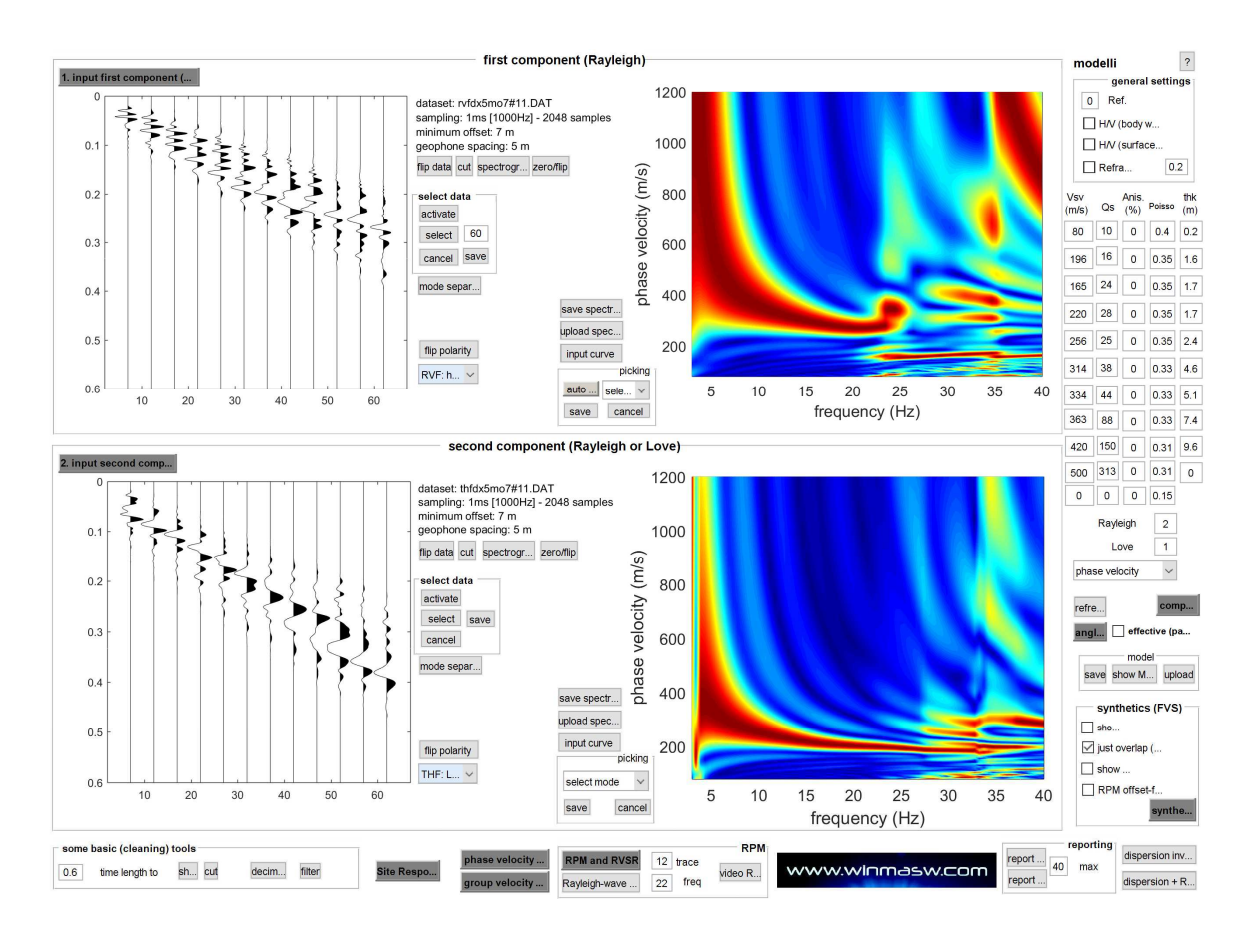
Il sito è costituito da depositi quaternari di tipo incoerente, di genesi glaciale.

Entrambe le indagini effettuate sono state realizzate mediante uno stendimento di 12 geofoni, con distanza intergeofonica pari a 5 m, per una lunghezza complessiva dello stesso di 55 m. Le acquisizioni, sia di tipo RVF che THF, sono state effettuate con offset pari 5 m ed energizzazione mediante l'utilizzo di una massa battente di peso pari a 8 kg.

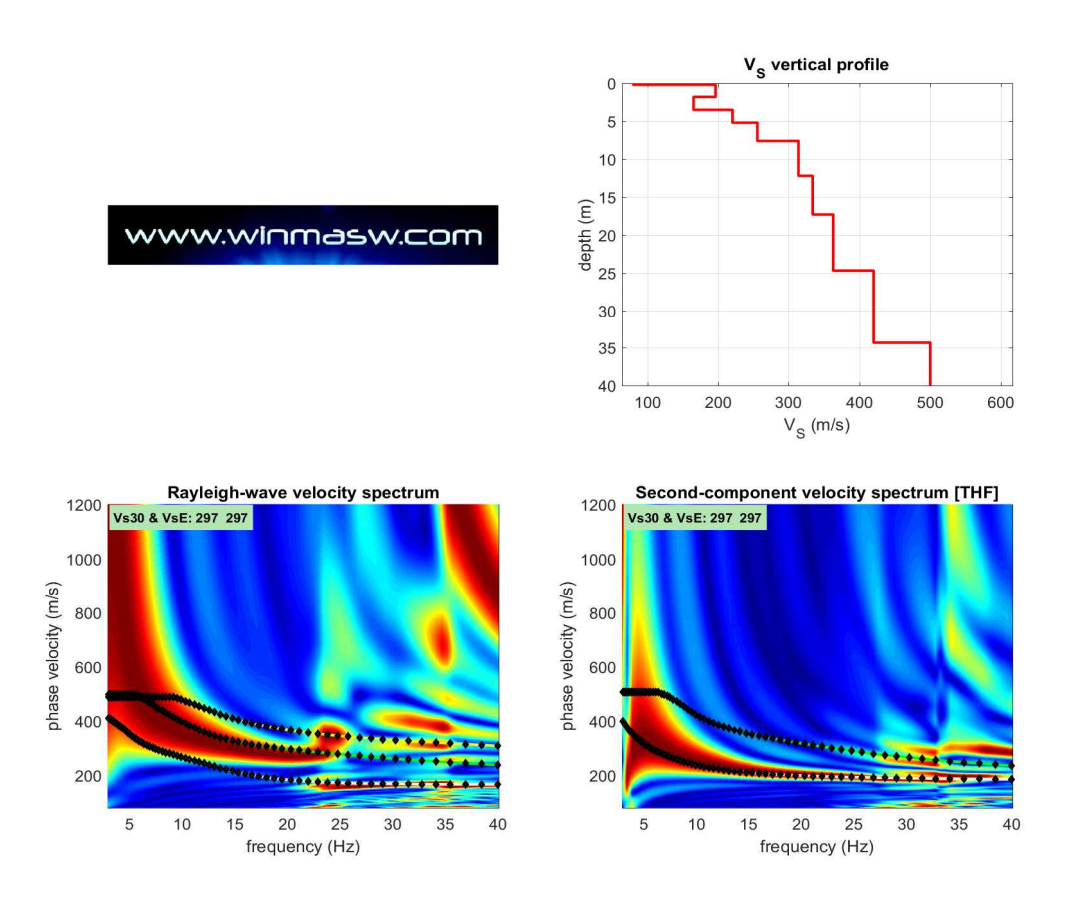
#### 9.4.1 Prova n° 1

Per la definizione del modello del terreno si è proceduto all'analisi congiunta delle onde di Love e di quelle di Rayleigh.

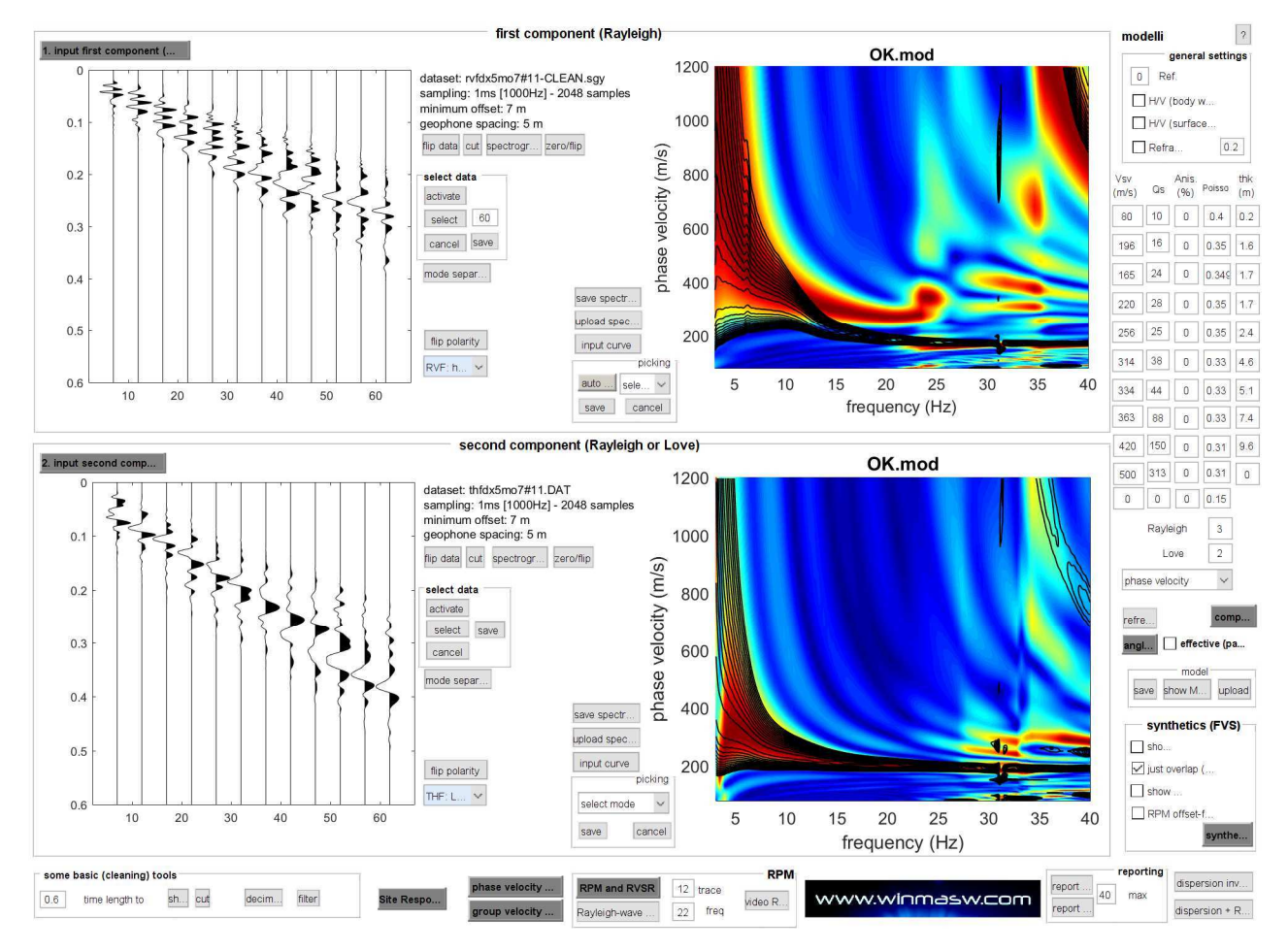
Di seguito è riportata l'immagine che contiene le registrazioni delle onde di Rayleigh e delle onde di Love.



Nella figura sotto riportata vengono illustrati la curva di dispersione relative alle onde di Rayleigh ed il grafico con l'andamento delle velocità.



Nell'immagine sottostante sono infine i modelli sintetici, che mostrano una buona corrispondenza con quanto registrato.



Di seguito viene proposta la tabella che riporta le velocità Vs per ciascuno strato.

#### Vs model (Vs30 & VsE: 297 297 m/s)

layer	Vs (m/s)	thickness (m)	depth (m)
1	80	0.2000	0.2000
2	196	1.6000	1.8000
3	165	1.7000	3.5000
4	220	1.7000	5.2000
5	256	2.4000	7,6000
6	314	4.6000	12.2000
7	334	5.1000	17.3000
8	363	7.4000	24.7000
9	420	9.6000	34.3000
10	500	0	0

La Vs<sub>eq</sub> viene definita dalla formula:

$$Vs.eq = \frac{H}{\sum_{i=1}^{N} \frac{h_i}{Z_i}}$$

dove:

hi = spessore dello strato individuato con specifica velocità Vs.

Vi = velocità Vs dello strato hi.

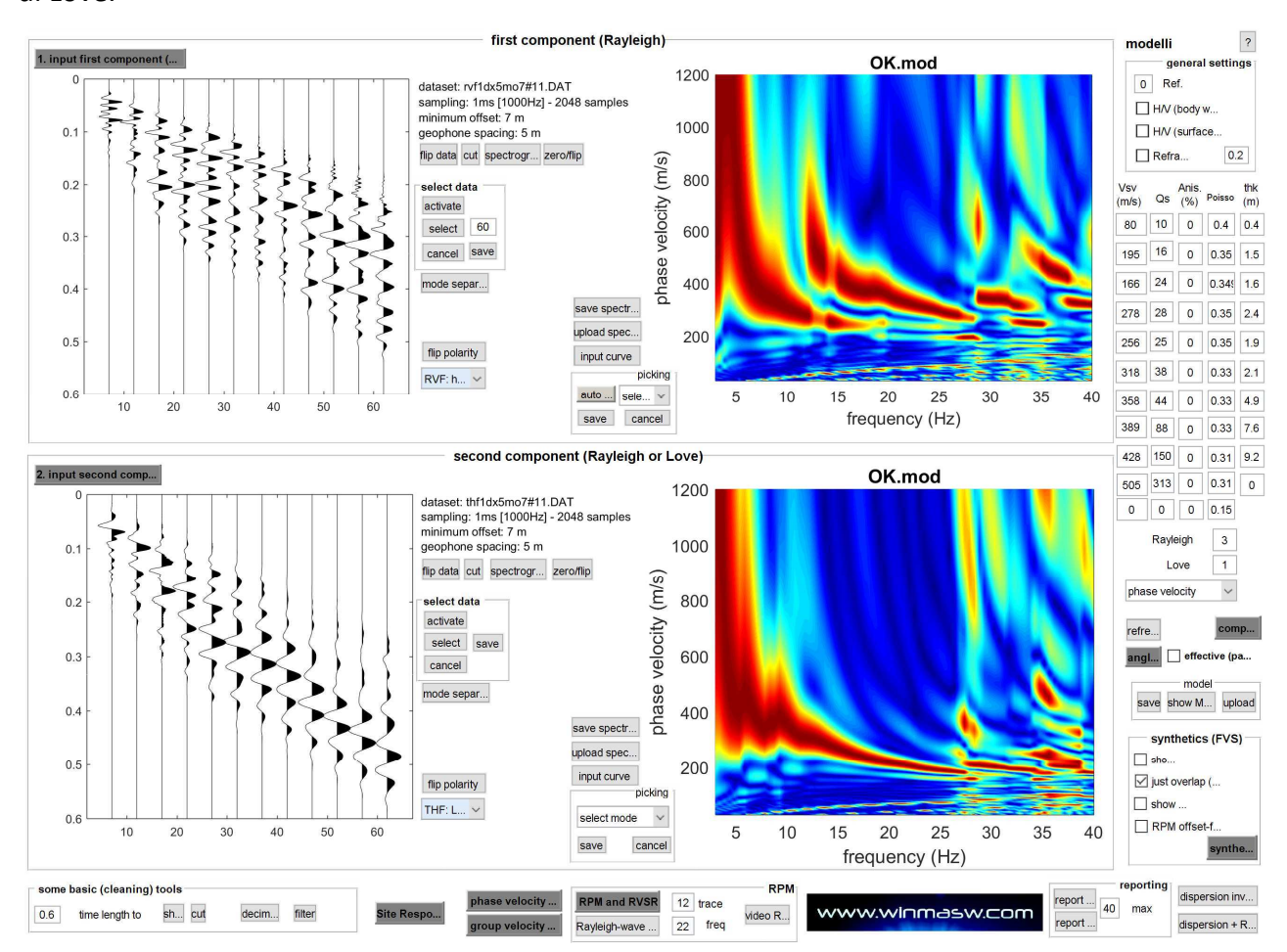
H = profondità del substrato, caratterizzata da Vs non inferiore a 800 m/s

Per il caso in esame è stato determinato un valore di V<sub>s,ea</sub> pari a 297 m/sec a piano campagna.

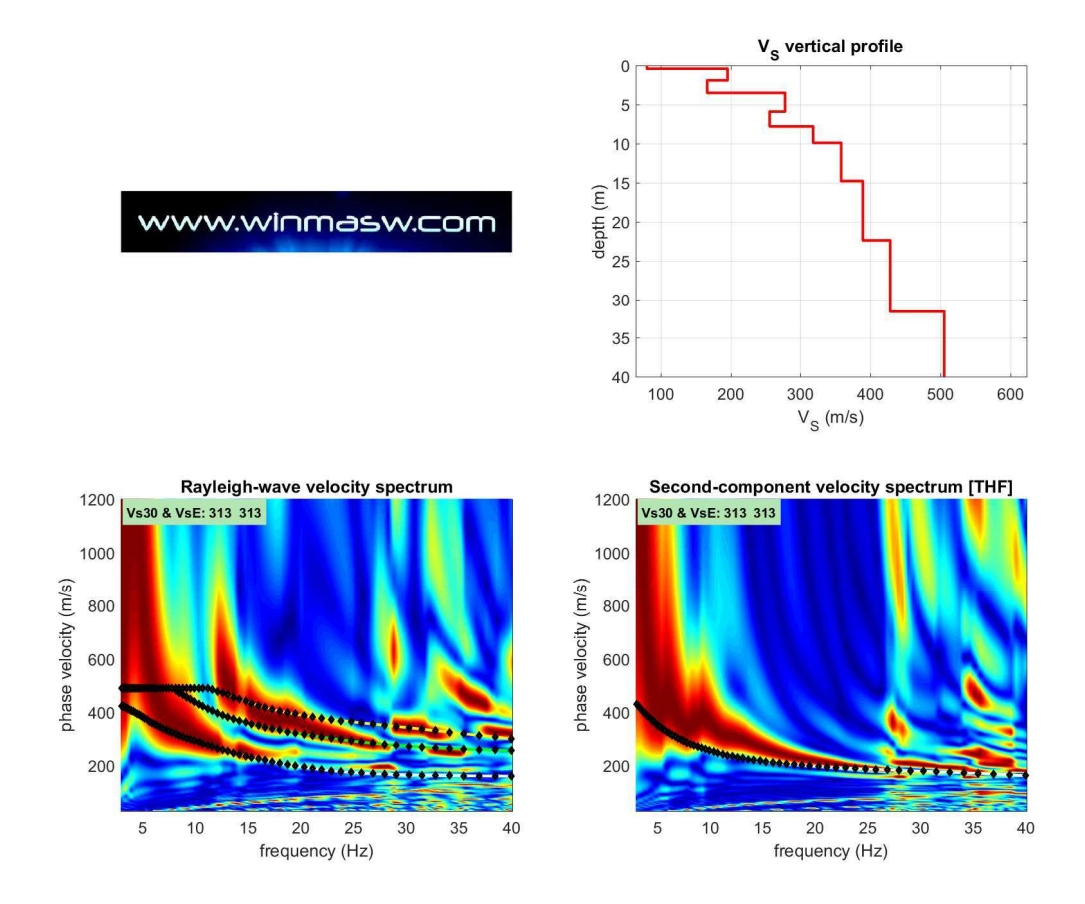
#### 9.4.2 Prova n°2

Anche in questo caso, per la definizione del modello del terreno si è proceduto all'analisi congiunta delle onde di Love e di quelle di Rayleigh.

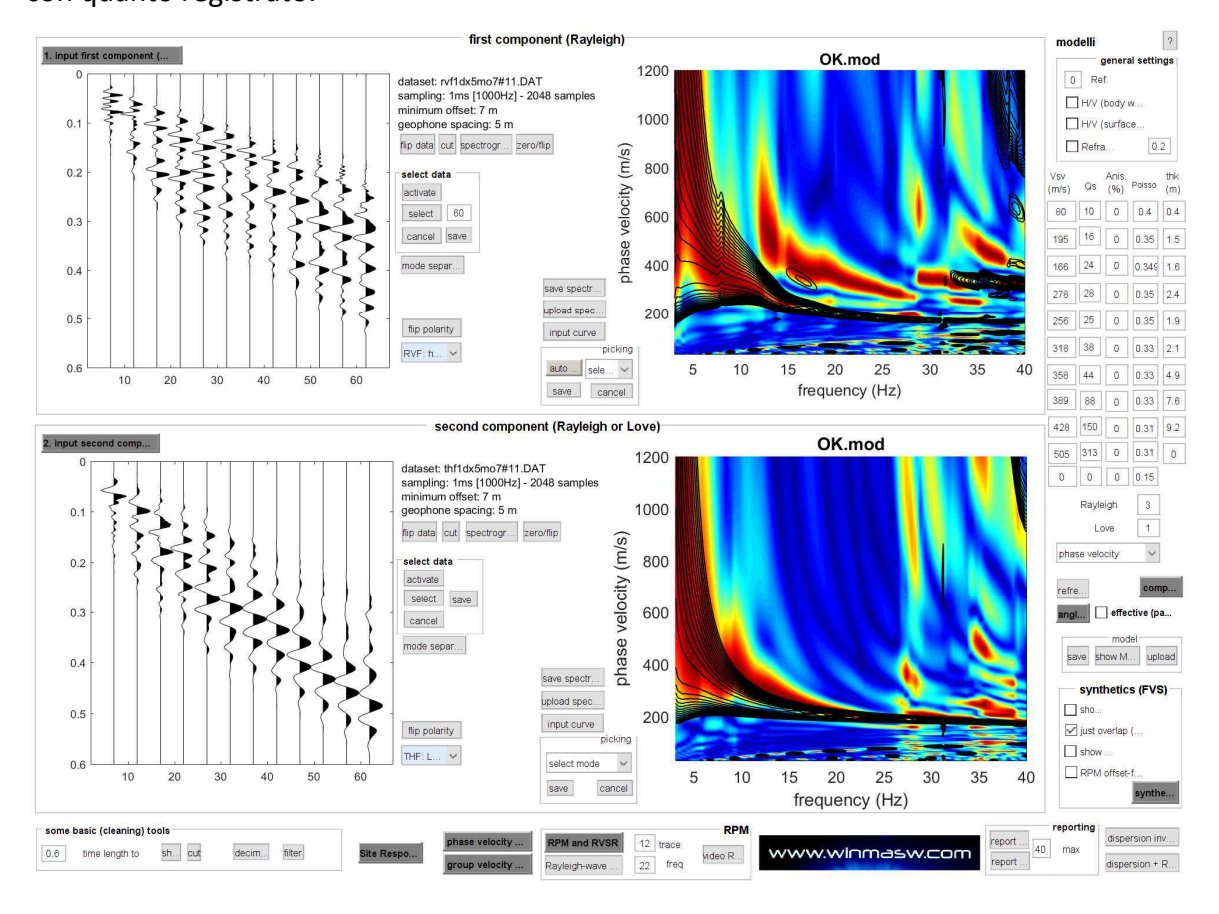
Di seguito è riportata l'immagine che contiene le registrazioni delle onde di Rayleigh e delle onde di Love.



Nella figura sotto riportata vengono illustrati la curva di dispersione relative alle onde di Rayleigh ed il grafico con l'andamento delle velocità.



Nell'immagine sottostante sono infine i modelli sintetici, che mostrano una buona corrispondenza con quanto registrato.



Di seguito viene proposta la tabella che riporta le velocità Vs per ciascuno strato.

### Vs model (Vs30 & VsE: 313 313 m/s)

layer	Vs (m/s)	thickness (m)	depth (m)
1	80	0.4000	0.4000
2	195	1.5000	1.9000
3	166	1.6000	3.5000
4	278	2.4000	5.9000
5	256	1.9000	7.8000
6	318	2.1000	9.9000
7	358	4.9000	14.8000
8	389	7.6000	22.4000
9	428	9.2000	31,6000
10	505	0	0

#### 9.5 CLASSIFICAZIONE DEL SOTTOSUOLO

Il Decreto Ministeriale 17/01/2018 definisce, come detto, cinque categorie si sottosuolo in funzione del valore di Vs,<sub>eq</sub>.

CAT.	DESCRIZIONE
А	Ammassi rocciosi affioranti o terreni molto rigidi caratterizzati da valori di velocità delle onde di taglio superiori a 800 m/s, eventualmente comprendenti in superficie terreni dalle caratteristiche meccaniche più scadenti con spessore massimo pari a 3 m.
В	Rocce tenere e depositi di terreni a grana grossa molto addensati o terreni a grana fina molto consistenti, caratterizzati da un graduale miglioramento delle proprietà meccaniche con la profondità e da valori di velocità equivalente compresi tra 360 e 800 m/s
С	Depositi di terreni a grana grossa mediamente addensati o terreni a grana fina mediamente consistenti, con profondità del substrato superiori a 30 m, caratterizzati da un graduale miglioramento delle proprietà meccaniche con la profondità e da valori di velocità equivalente compresi tra 180 e 360 m/s
D	Depositi di terreni a grana grossa scarsamente addensati o di terreni a grana fina scarsamente consistenti, con profondità del substrato superiori a 30 m, caratterizzati da un graduale miglioramento delle proprietà meccaniche con la profondità e da valori di velocità equivalente compresi tra 100 e 180 m/s.
Ε	Terreni con caratteristiche e valori di velocità equivalente e riconducibili a quelle definite per le categorie C o D, con profondità del substrato non superiore a 30 m

Le due prove effettuate hanno fornito valori di Vs<sub>eq</sub> simili (297 e 313 m/sec) e compresi fra 180 e 360 m/s permettendo così di attribuire i terreni alla categoria dei suoli di fondazione di tipo "C" (Depositi di terreni a grana grossa mediamente addensati o terreni a grana fina mediamente consistenti, con profondità del substrato superiori a 30 m, caratterizzati da un graduale miglioramento delle proprietà meccaniche con la profondità e da valori di velocità equivalente compresi tra 180 e 360 m/s).

### 10 CARATTERIZZAZIONE SISMICA DEL SITO

Per l'analisi sismica specifica del sito di intervento occorre innanzitutto individuare la posizione dell'area, in modo da definire i relativi spettri di risposta rappresentativi delle componenti orizzontali e verticali delle azioni sismiche di progetto.

La definizione di tali spettri, relativi ad uno specifico Stato Limite, è articolata in tre fasi:

- FASE 1 individuazione della pericolosità del sito, sulla base dei risultati del progetto S1-INGV.
- Fase 2 scelta della strategia di progettazione.
- Fase 3 determinazione dell'azione di progetto.



**FASI 1 E 2** 

Una volta provveduto all'individuazione geografica del sito (immagine a lato), le variabili da considerare sono la classe dell'opera e la vita nominale della stessa.

Nel caso in esame si è fatto riferimento alla classe d'uso II "Costruzioni con normale affollamento ..." ed è stata considerata una vita nominale pari a 50 anni. Si ricorda che per Vita Nominale s'intende la "durata alla quale deve farsi espresso riferimento in sede progettuale, con riferimento

alla durabilità delle costruzioni, nel dimensionare le strutture e i particolari costruttivi, nella scelta dei materiali delle varie applicazioni e delle misure protettive per garantire il mantenimento della resistenza e della funzionalità".

Le azioni sismiche vengono valutate in relazione ad un periodo di riferimento VR che si ricava moltiplicando la vita nominale VN per il coefficiente d'uso CU. Tale parametro riveste notevole importanza in quanto è utilizzato per valutare, fissata la probabilità di superamento  $P_{VR}$  corrispondente allo stato limite considerato, il tempo di ritorno  $(T_R)$  dell'azione sismica cui fare riferimento per la verifica.

Il valore del coefficiente d'uso CU è definito al variare della classe d'uso, secondo quanto riportato

nella sottostante tabella.

CLASSE D'USO	1	II	III	IV
COEFFICIENTE C <sub>U</sub>	0,7	1,0	1,5	2,0

Nel caso in esame, essendo l'intervento ascrivibile in parte ad una classe d'uso II, avremo:

$$VR_{II} = 50 \cdot 1 = 50 \text{ anni}$$

Le azioni sismiche di progetto, in base alle quali valutare il rispetto dei diversi stati limite considerati, si definiscono a partire dalla "pericolosità sismica di base" del sito di costruzione, che costituisce l'elemento di conoscenza primario per la determinazione delle azioni sismiche.

La pericolosità sismica è definita in termini di accelerazione orizzontale massima attesa ag in condizioni di campo libero su sito di riferimento rigido con superficie topografica orizzontale, nonché di ordinate dello spettro di risposta elastico in accelerazione ad essa corrispondente Se(T), con riferimento a prefissate probabilità di eccedenza PvR nel periodo di riferimento VR.

Ai fini dell'attuale normativa, le forme spettrali sono definite, per ciascuna delle probabilità di superamento nel periodo di riferimento PvR, a partire dai valori dei seguenti parametri su sito di riferimento rigido orizzontale:

ag: accelerazione orizzontale massima al sito;

FO: valore massimo del fattore di amplificazione dello spettro in accelerazione orizzontale;

TC\*: periodo di inizio del tratto a velocità costante dello spettro in accelerazione orizzontale.

Gli "stati limite" sono definiti di seguito:

- <u>Stato limite di Operatività (SLO)</u>: a seguito del terremoto la costruzione nel suo complesso, includendo gli elementi strutturali, quelli non strutturali, le apparecchiature rilevanti alla sua funzione, non deve subire danni ed interruzioni d'uso significativi.
- <u>Stato Limite di Danno (SLD)</u>: a seguito del terremoto la costruzione nel suo complesso, includendo gli elementi strutturali, quelli non strutturali, le apparecchiature rilevanti alla sua funzione, subisce danni tali da non mettere a rischio gli utenti e da non compromettere significativamente la capacità di resistenza e di rigidezza nei confronti delle azioni verticali e orizzontali, mantenendosi immediatamente utilizzabile pur nell'interruzione d'uso di parte delle apparecchiature.
- <u>Stato Limite di Salvaquardia (SLV)</u>: a seguito del terremoto, la costruzione subisce rotture e crolli dei componenti non strutturali ed impiantistici e significativi danni dei componenti strutturali cui si associa una perdita significativa di rigidezza nei confronti delle azioni orizzontali. La costruzione conserva invece una parte della sua rigidezza per azioni verticali e un

margine di sicurezza nei confronti del collasso per azioni sismiche orizzontali.

• <u>Stato limite di prevenzione del collasso (SLC)</u>: a seguito del terremoto, la costruzione subisce gravi danni rotture e crolli dei componenti non strutturali ed impiantistici e danni molto gravi dei componenti strutturali; la costruzione conserva ancora un margine di sicurezza per azioni verticali e un margine di sicurezza nei confronti del collasso per azioni orizzontali.

SLO e SLD appartengono agli "stati limite di esercizio", mentre SLV e SLC fanno parte degli "stati limite ultimi".

Come condizione di riferimento è stato scelto lo Stato Salvaguardia Vita (SLV); nella tabella seguente si riportano i dati ottenuti dai calcoli effettuati:

STATO LIMITE	Tr [anni]	a <sub>g</sub> [g]	Fo [-]	Tc* [s]
Salvaguardia della vita (SLV)	475	0,039	2,669	0,278

FASE 3

Nelle elaborazioni si farà riferimento ad un sottosuolo di "Categoria B", così come determinato nell'indagine sismica effettuata in sito. Per quanto riguarda la categoria topografica, si dovrà fare riferimento alla tabella proposta in seguito:

CATEGORIA	CARATTERISTICHE DELLA SUPERFICIE TOPOGRAFICA
T1	Superficie pianeggiante, pendii e rilievi isolati con inclinazione media i=15°
T2	Pendii con inclinazione media i>15°
T3	Rilievi con larghezza in cresta molto minore che alla base e inclinazione media 15° <i>30</i>
T4	Rilievi con larghezza in cresta molto minore che alla base e inclinazione media i>30°

Morfologicamente, l'area, essendo pianeggiante, è ascrivibile alla categoria "T1".

I parametri correttivi determinati sono quindi i seguenti:

PARAMETRI	VALORI
Amplificazione stratigrafica (Ss)	1,50
Coeff. funzione della categoria suolo (Cc)	1,60
Amplificazione topografica (St)	1,00

I valori del coefficiente sismico orizzontale e verticale, dell'accelerazione massima attesa al sito e del coefficiente di riduzione dell'accelerazione in sito, (riferiti allo SLU) si riassumono nella seguente tabella:

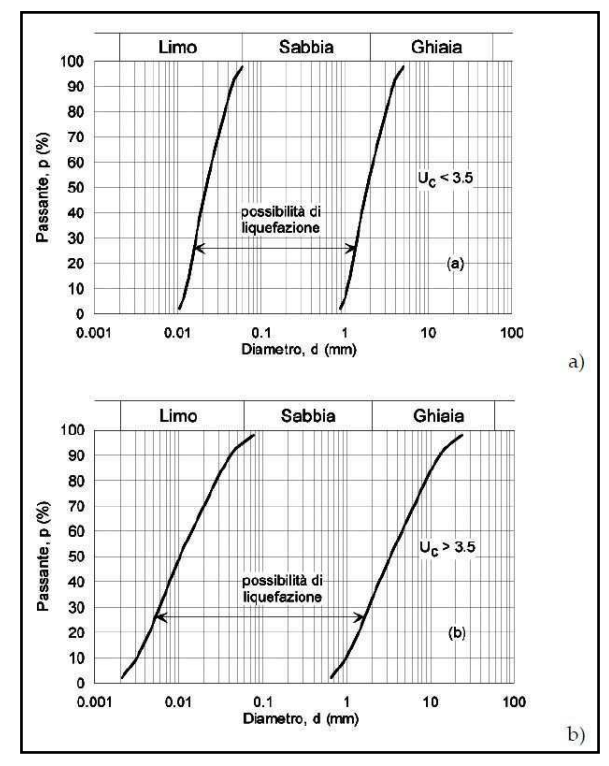
TIPO	kh	kv	A <sub>max</sub>	Beta
Opere di fondazione, stabilità pendio	0,012	0,006	0,568	0,200

### 11 SUSCETTIBILITÀ ALLA LIQUEFAZIONE

La normativa vigente prevede che per il sito di costruzione sia verificata la suscettibilità alla liquefazione quando la falda freatica sia prossima alla superficie ed il terreno comprenda strati estesi o lenti spesse di sabbie sciolte sotto falda, anche se contenenti una frazione fine.

E' comunque da sottolineare che, in prima analisi, si può ritenere che la probabilità che si inneschi un fenomeno di liquefazione è estremamente basso o nullo, nel caso in cui l'evento sismico atteso soddisfi almeno una delle seguenti condizioni:

- accelerazioni massime attese al piano campagna in assenza di manufatti (condizioni di campo libero) minori di 0,1g;
- 2. profondità media stagionale della falda superiore a 15 m dal piano campagna, per piano campagna sub-orizzontale e strutture con fondazioni superficiali;
- 3. depositi costituiti da sabbie pulite con resistenza penetrometrica normalizzata (N1)60 > 30
  - oppure qc1N > 180 dove (N1)60 è il valore della resistenza determinata in prove penetrometriche dinamiche (Standard Penetration Test) normalizzata ad una tensione efficace verticale di 100 kPa e qc1N è il valore della resistenza determinata in prove penetrometriche statiche (Cone Penetration Test) normalizzata ad una tensione efficace verticale di 100 kPa;
- distribuzione granulometrica esterna alle zone indicate nella Fig. 7.11.1(a) nel caso di terreni con coefficiente di uniformità Uc < 3,5 e in Fig. 7.11.1(b) nel caso di terreni con coefficiente di uniformità Uc > 3,5.



Per quanto riguarda il calcolo dell'accelerazione massima attesa al sito, si farà riferimento alla seguente formula:  $A_{max} = S_s \cdot S_t \cdot a_g$ 

Nel caso in esame, essendo ag=0.039 - Ss=1.50 - St=1.00, il valore di  $A_{max}$  risulta pari a 0.059 g (quindi inferiore a 0.1g).

Essendo quindi verificata almeno una delle circostanze previste, la verifica a liquefazione può essere omessa.

### 12 CONSIDERAZIONI CONCLUSIVE

Al termine del presente lavoro è possibile evidenziare quanto segue:

- l'area in esame risulta ascritta alla classe "IIA" di idoneità all'utilizzazione urbanistica;
- dal punto di vista geologico l'area insiste sui depositi fluvioglaciali del Pleistocene Superiore, costituiti da ghiaie a supporto di matrice sabbioso-limosa e sabbie, localmente intercalate ad argille limose;
- dal punto di vista morfologico l'area risulta sub pianeggiante;
- nel novembre 2005 era stata sviluppata una campagna di indagini in cui erano state realizzate
   15 prove penetrometriche dinamiche e 11 pozzetti esplorativi;
- in tale indagine la presenza della falda era stata individuata a profondità comprese fra -1,0 m e 3,3 m dal piano campagna;
- il modello geologico del terreno è così schematizzabile: un primo orizzonte rappresentato da 2 metri di terreno di riporto con presenza di laterizi, al di sotto si ritrova un orizzonte di uguale spessore costituito da alternanza di livelli di sabbia fine limosa e limo sabbioso con presenza di livelli organici, segue un terzo orizzonte, dello spessore di circa 7 metri, formato da sabbia media grossolana e ghiaia con presenza di ciottoli e blocchi in una matrice limosa con presenza di livelli più prettamente limosi; al di sotto si osserva la presenza di un orizzonte di spessore pari a circa 9 metri, costituito da sabbia fine limosa in alternanza con livelli più ghiaiosi a cui segue un ultimo orizzonte, fino a 30 metri, rappresentato da sabbia e ghiaia limosa;
- sono stati calcolati i parametri geotecnici caratteristici e definita la parametrazione geotecnica che viene di seguito riassunta:

MATERIALE	Φ <sub>κ</sub> [°]	γ <sub>N</sub> [t/mc]	c [kg/cmq]
Riporto	29,1°	1,7	0
Alternanza di limi e sabbie	26,5°	1,7	0
Sabbia ghiaiosa limosa	30,6°	1,8	0
Sabbia limosa ghiaiosa	30,9°	1,8	0
Sabbia e ghiaia limosi	34,6°	1,9	0

• sulla base delle indagini geofisiche effettuate, si è potuto attribuire il terreno alla categoria sismica "C" equivalente a "Depositi di terreni a grana grossa mediamente addensati o terreni a grana fina mediamente consistenti, con profondità del substrato superiori a 30 m, caratterizzati da un graduale miglioramento delle proprietà meccaniche con la profondità e da valori di

velocità equivalente compresi tra 180 e 360 m/s";

 si è omessa la verifica a liquefazione, essendo soddisfatta almeno una delle circostanze previste dal D.M. 17.01.2018.

Tutto ciò premesso, facendo riferimento sia alle indagini pregresse (dicembre 2005), sia ai dati ricavati dal sondaggio eseguito, sotto l'aspetto geotecnico è possibile evidenziare come gli strati superficiali, al di sotto dell'orizzonte costituito da materiale di riporto (spessore generalmente variabile tra 1,5 e 2 m), siano costituiti da materiali a granulometria fine (limosa o limoso sabbiosa) e contraddistinti da caratteristiche geotecniche definibili come da scadenti a pessime.

Anche la soggiacenza della falda appare limitata e compresa tra 1,5 e 3 m.

Alla luce delle considerazioni sopra esposte, qualora si intendessero eseguire fondazioni di tipo diretto, dovrà essere quindi prevista la realizzazione di un intervento di risanamento geotecnico al fine di ottenere un piano di posa delle fondazioni adeguato e tale da consentire una riduzione i cedimenti indotti.

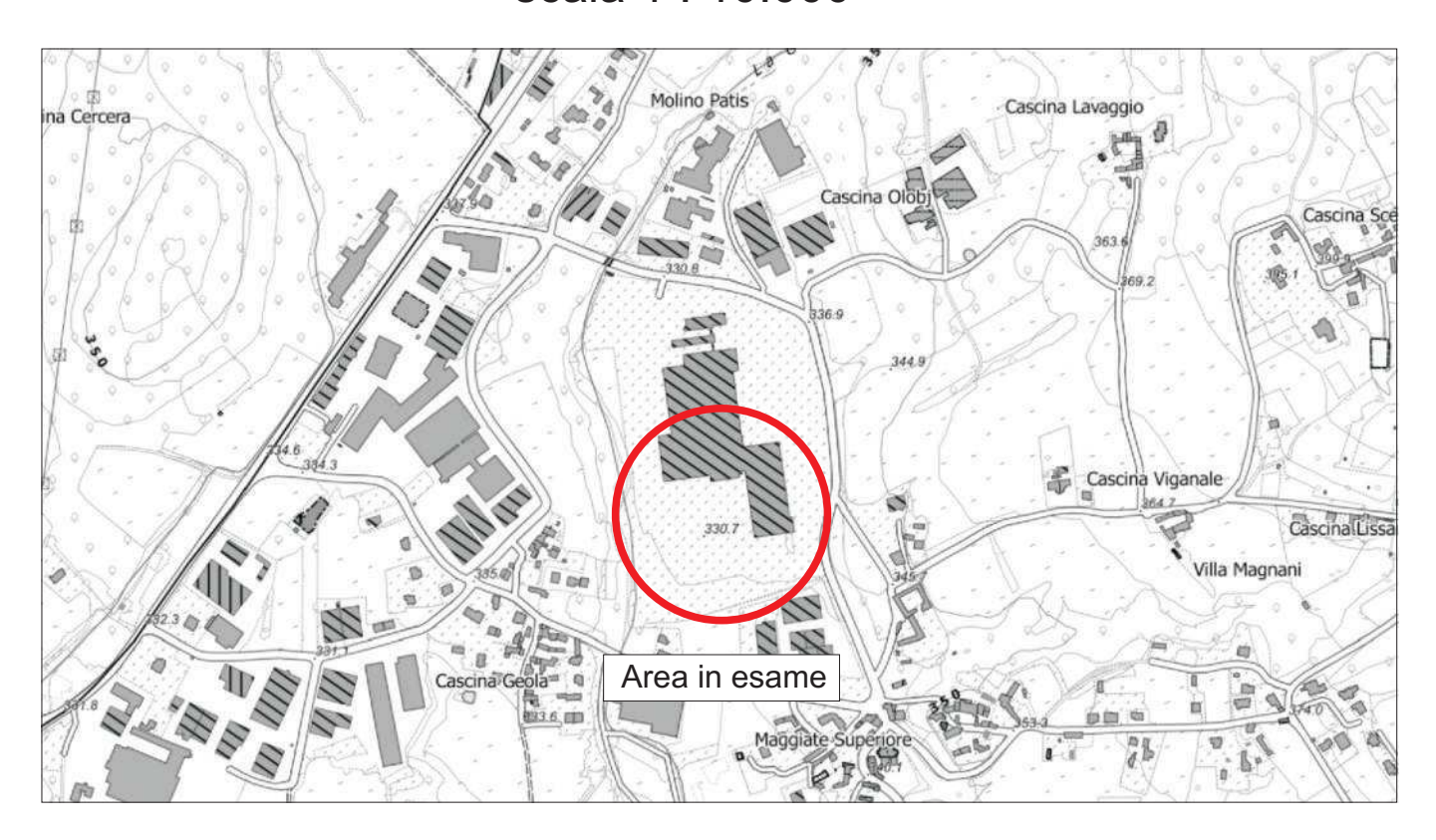
In alternativa potrà essere valutata l'ipotesi di ricorrere a fondazioni indirette.

<u>A conclusione delle presenti note si ritiene di poter affermare che l'intervento risulta compatibile</u> con lo "status" geologico, geomorfologico ed idrogeologico dell'area in esame.

# ALLEGA 7717

# Corografia

Estratto BDTRE scala 1 : 10.000

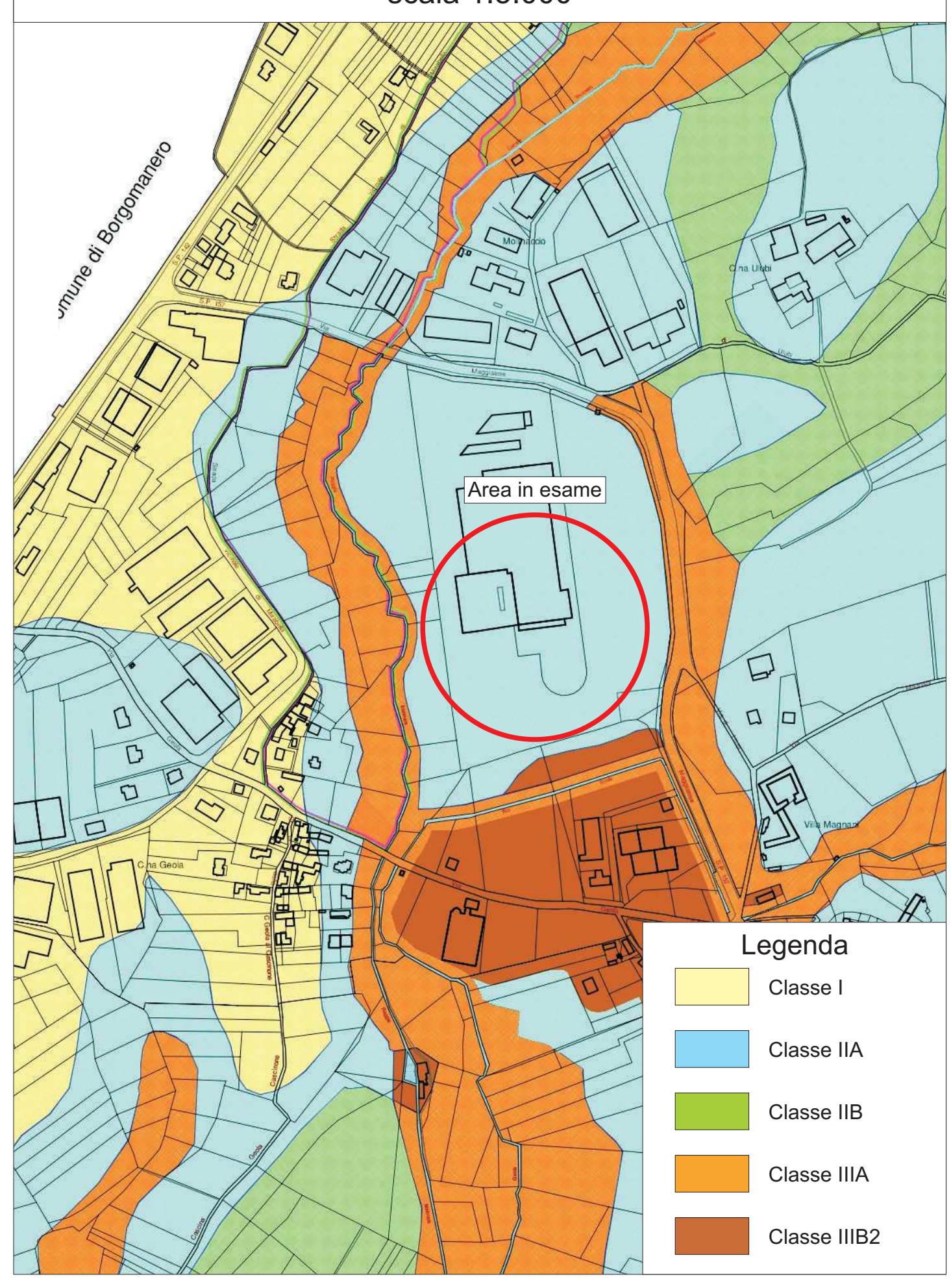


Ortofoto scala 1:10.000

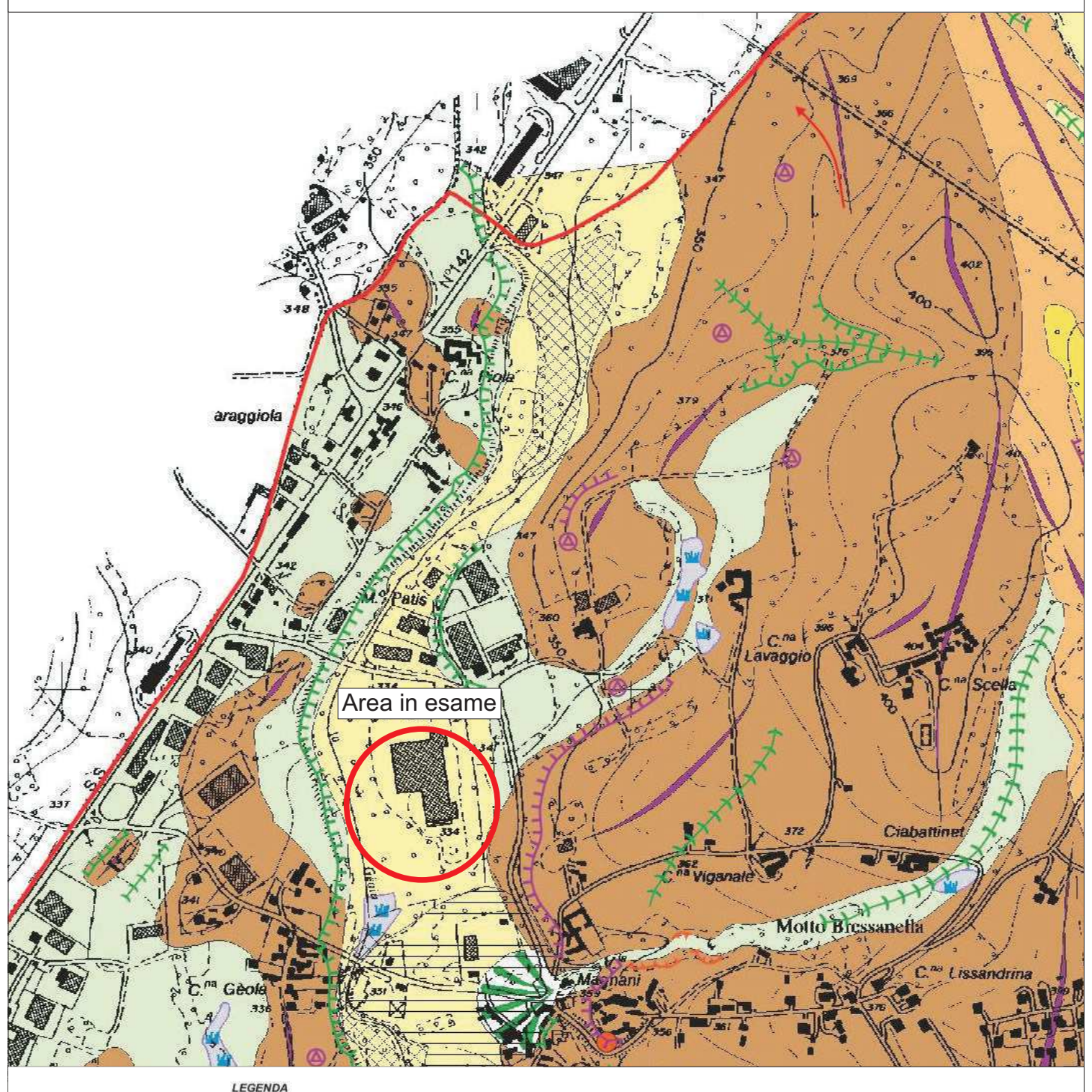


Estratto della carta di sintesi della pericolosità geomorfologica e dell'idoneità all'utilizzazione urbanistica del PRGC vigente

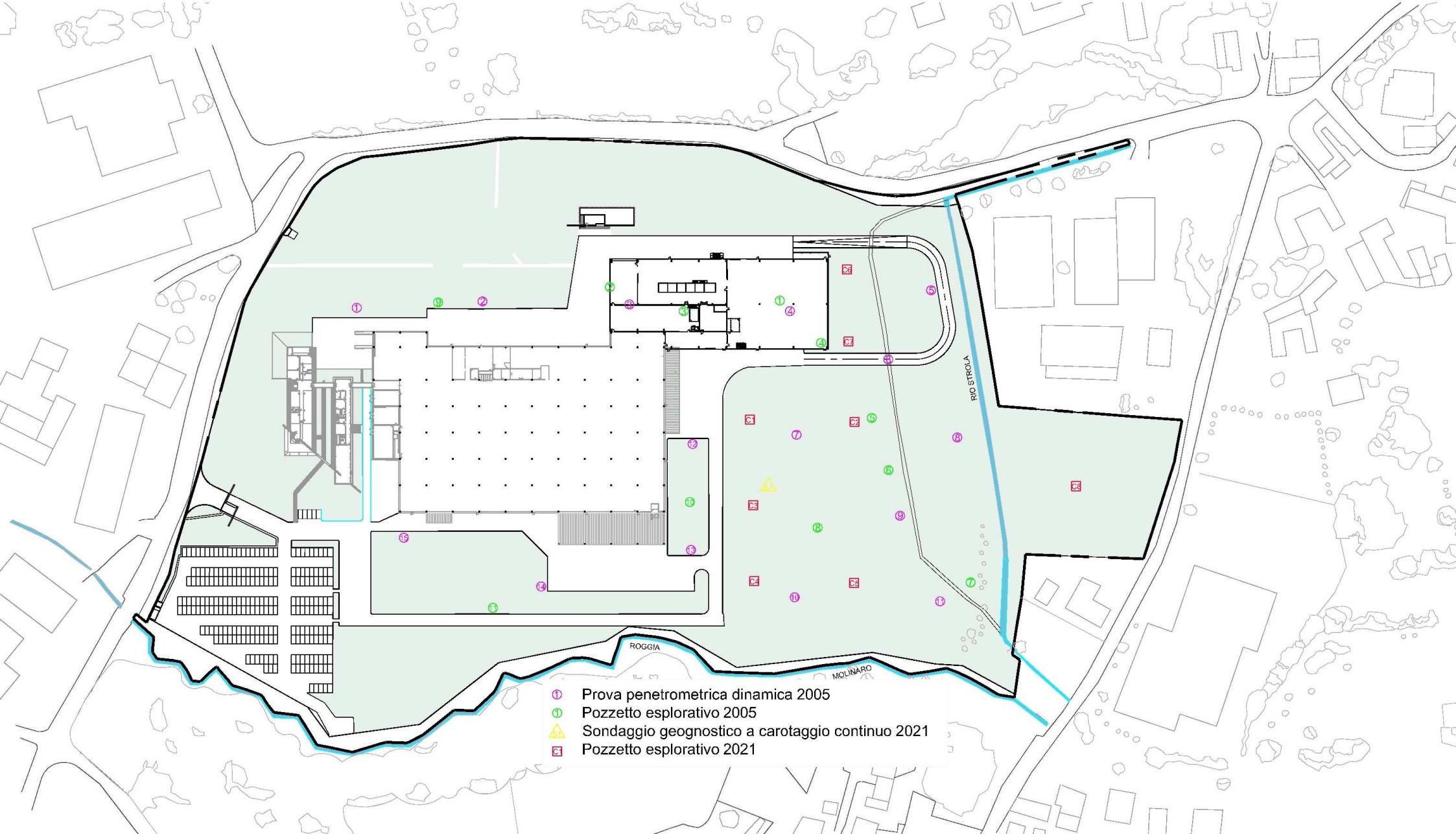
scala 1:5.000

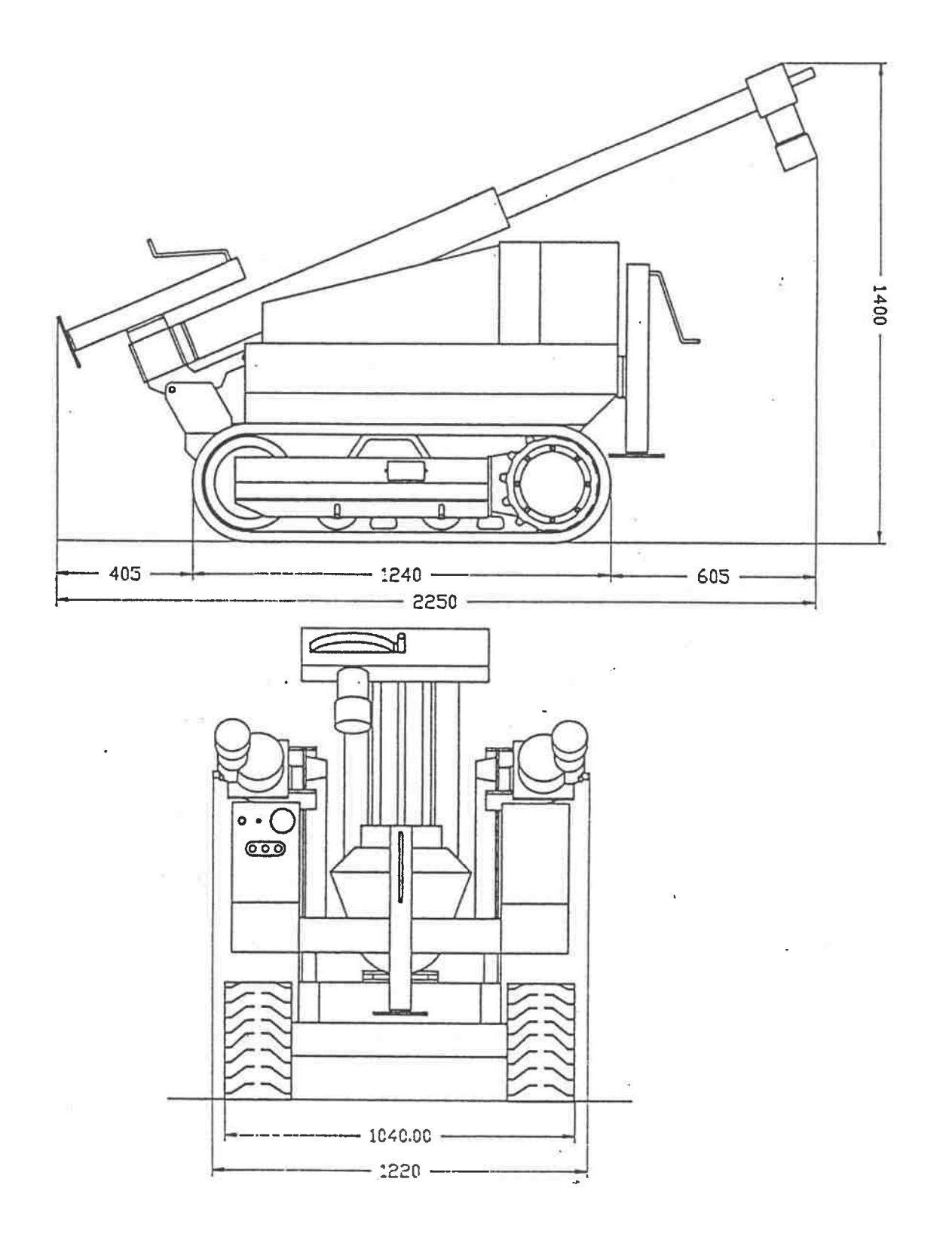


# Estratto della carta geomorfologica del PRGC vigente scala 1:10.000



# LEGENTA LEGENTALITOLOGIC Disposali alluvironal (Olicoran) sabble limose, labora argilises con glisis fini e ubtroli; outone di alterazione da 2.5Y as Y (Murrell Sci Clore Chrish), coltre i enternationali, non alterali. Deposali fluvironali (Olicoran) sabble limose, labora argilises con glisis fini e ubtroli; outone di alterazione da 2.5Y as Y (Murrell Sci Clore Chrish), coltre i enternationali, non alterali. Deposali fluvironali (Olicoran) sabble limose, piscaria information, non alterali and controlica di marginosi. Deposali fluvironali (Olicoran) sabble limose, coltra di alterazione di la vigili and argili entrole coltro di alterazione alla un ordinosi al termano di controle alla un ordinosi alla

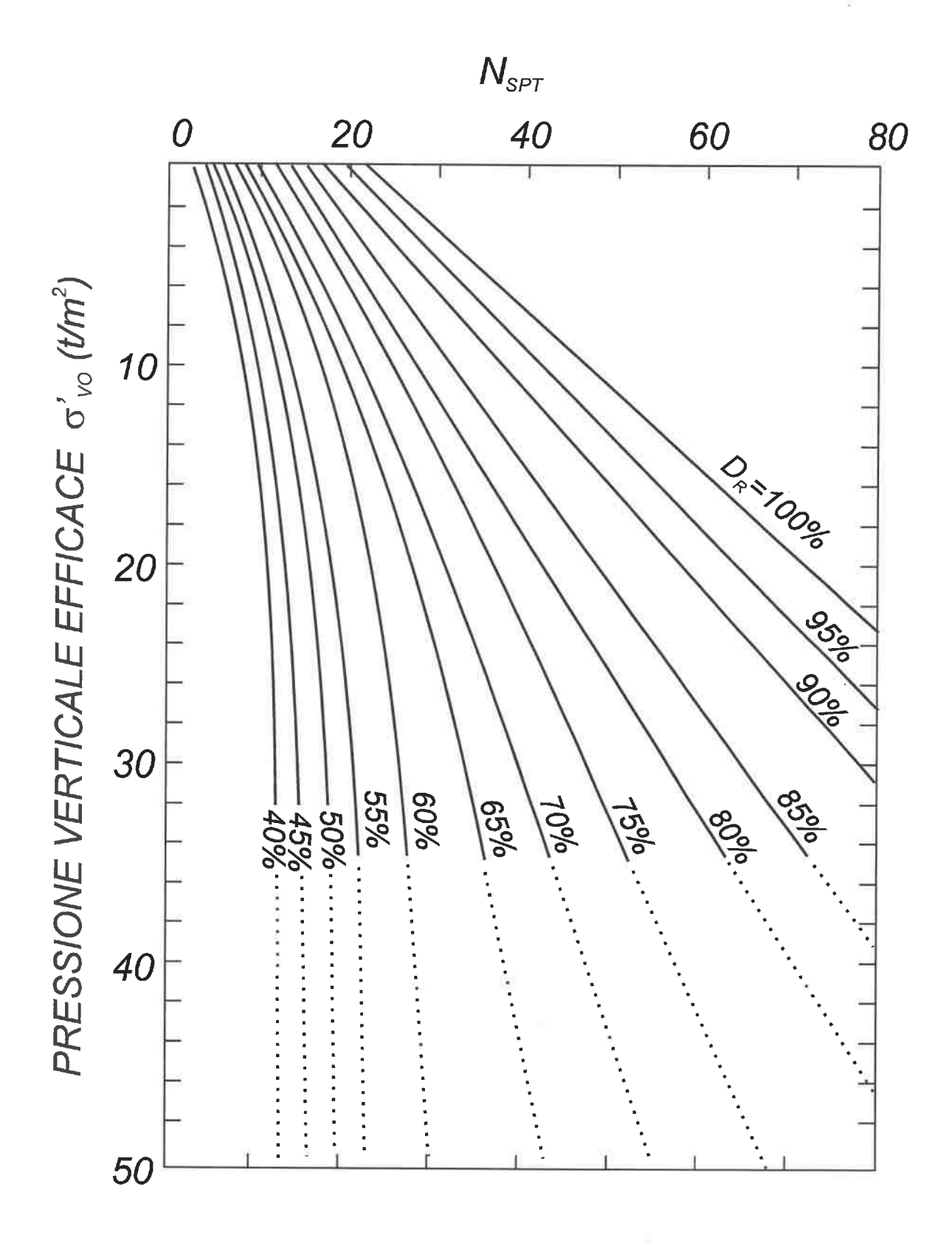




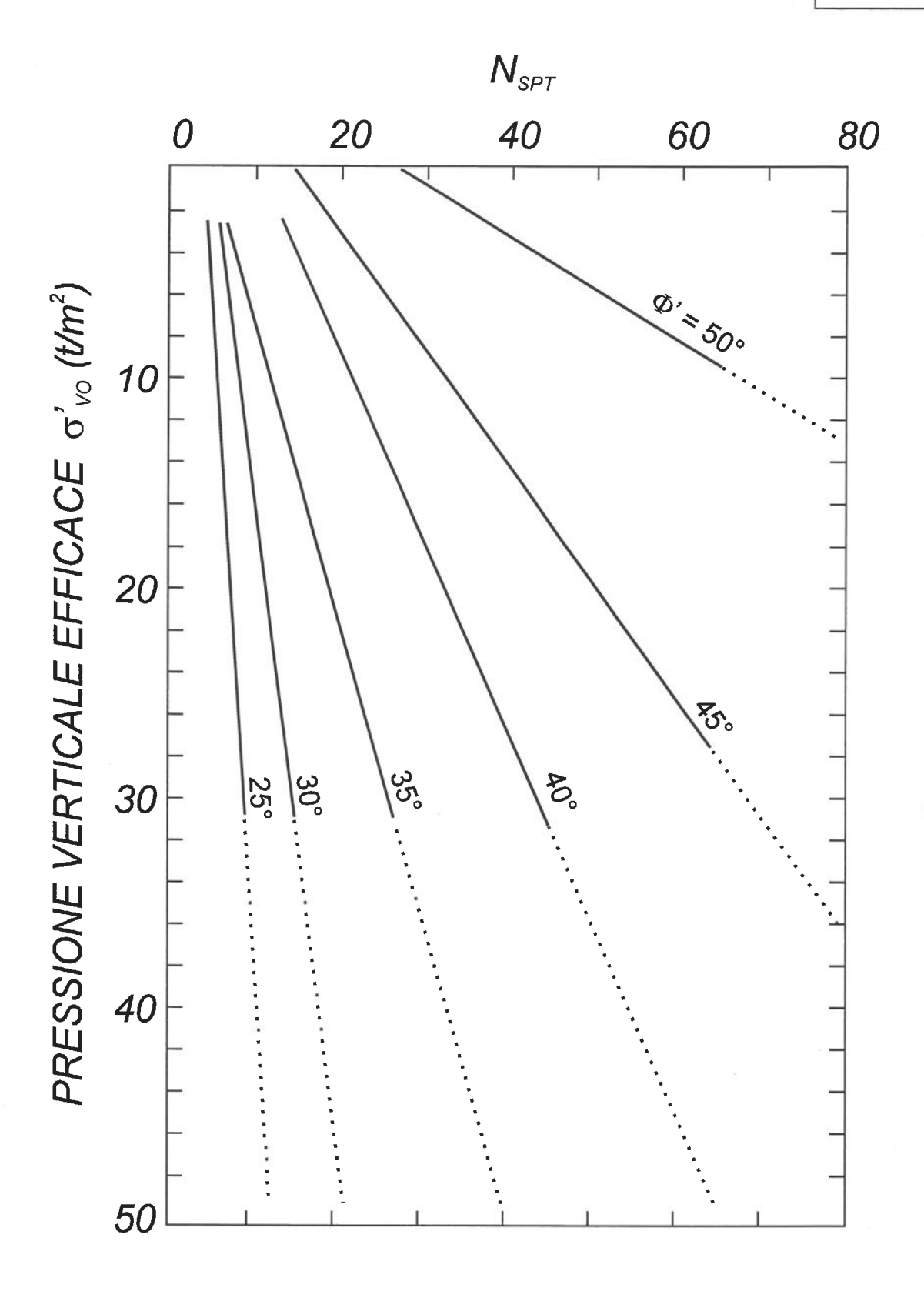
## PENETROMETRO STATICO-DINAMICO TIPO TG 63/100 KN

- Motore 16 HP
- Tiro in estrazione 10.000 kg
- Spinta in infissione 7.500 kg

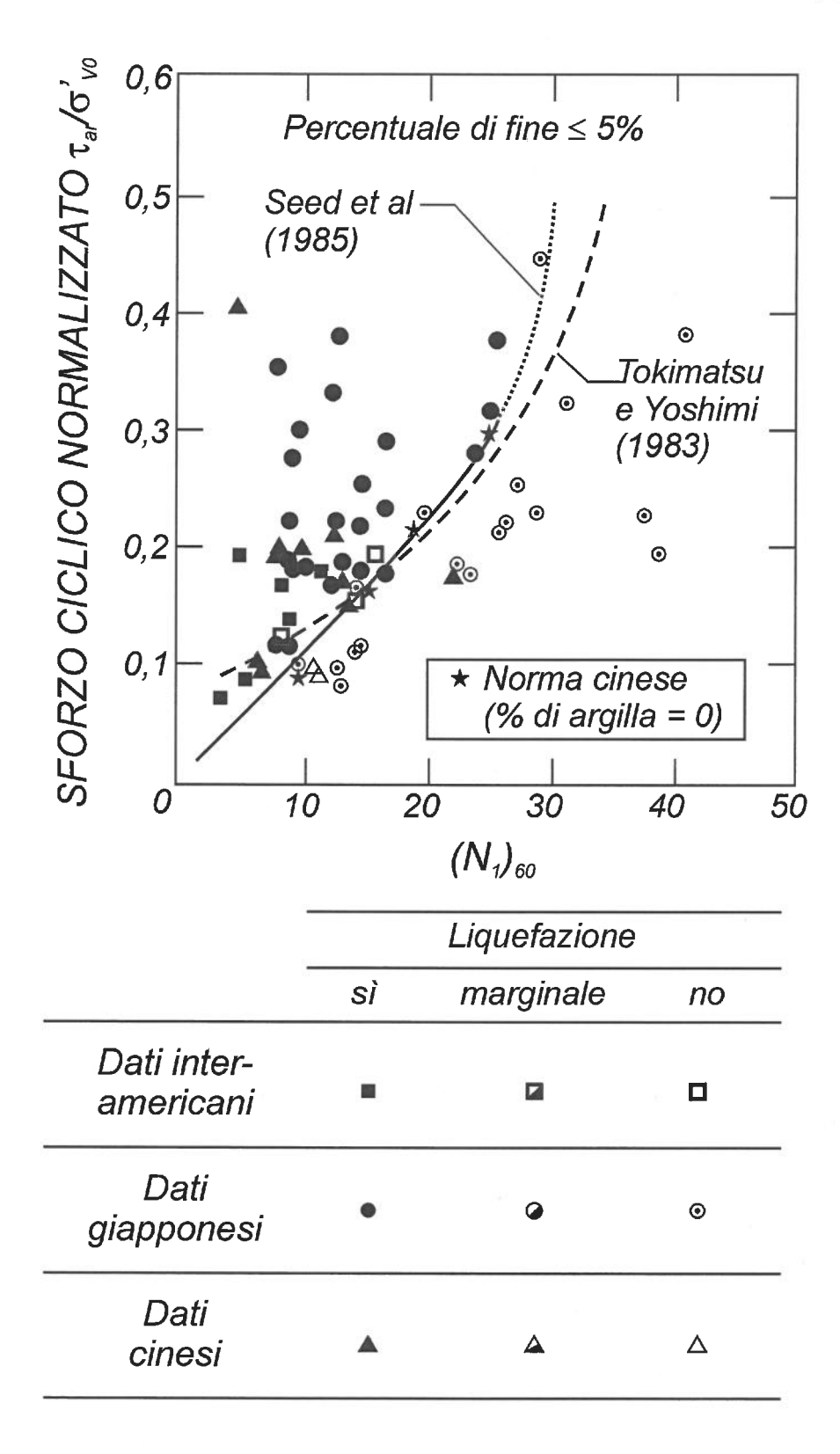
- Corsa utile cilindri 1,25 mt
- Corsa maglio 0,75 mt (variabile)
- Peso maglio 63,5 kg (variabile)



Relazione fra  $N_{\text{SPT}}$  e densità relativa ( $D_{\text{R}}$ ) delle sabbie. (Gibbs e Holtz, 1957)

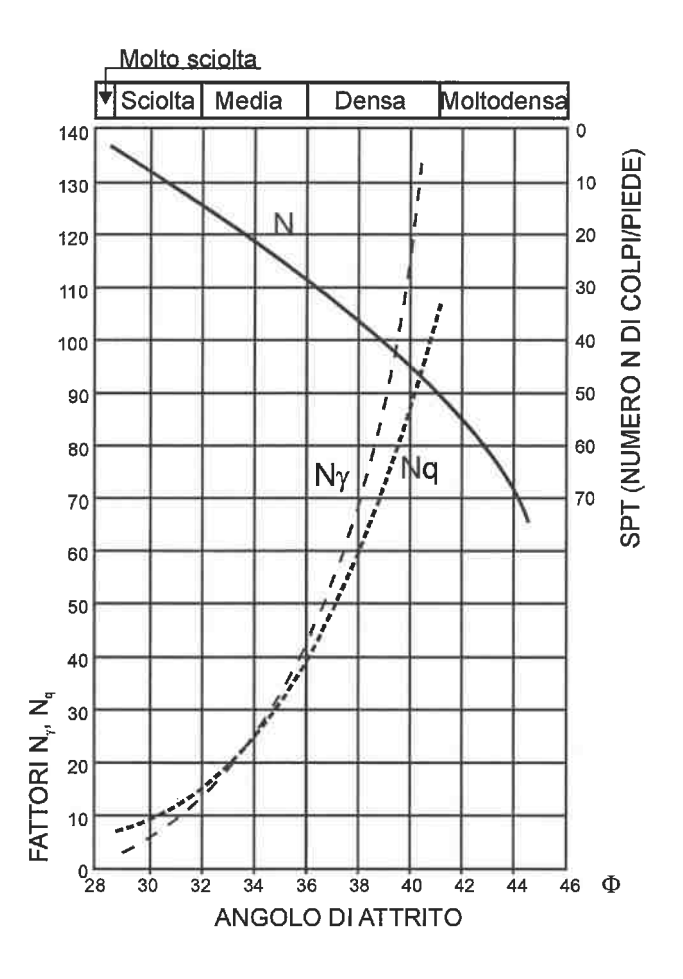


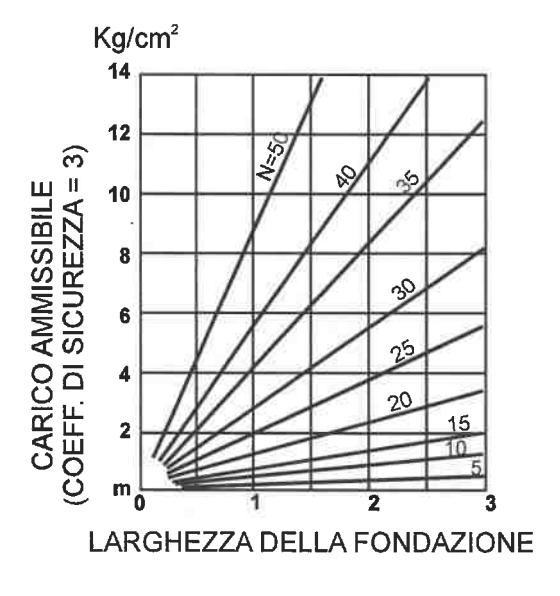
Relazione fra angolo di attrito ( $\Phi$ ') delle sabbie e valori di NSPT, tenendo conto dell'influenza del peso del terreno sovrastante ( $\sigma'_{vo}$ ) (De Mello, 1971)

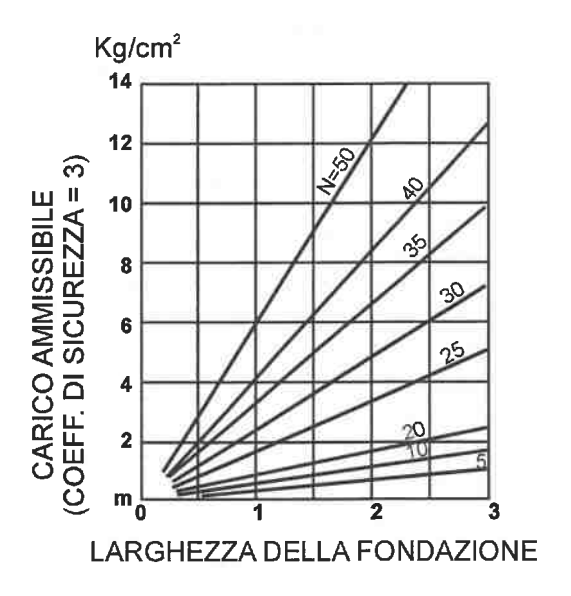


Stima della potenzialità alla liquefazione delle sabbie in base al valore  $N_{\text{SPT}}$  normalizzato  $[(N_1)_{60}]$ 

(Seed e al. 1985; Tokimatsu e Yoshimi, 1983)







Relazione fra i valori della prova SPT ed i coefficienti di portata (Peck)

Riferimento: 27-05

### PENETROMETRO DINAMICO IN USO: TG 63-100

Classificazio	ne ISSMFE (1988) dei pe	enetrometri dinamio	i
TIPO	Sigla riferimento	Peso Massa Batt M (kg)	ente
Leggero	DPL (Light)	M ≤ 1	0
Medio	DPM (Medium)	10 < M < 4	0
Pesante	DPH (Heavy)	40 ≤ M < 6	0
Super pesante	DPSH (Super Heavy)	M ≥ 6	0

### **CARATTERISTICHE TECNICHE: TG 63-100**

PESO MASSA BATTENTE	M	= 6	63,50 kg		
ALTEZZA CADUTA LIBERA	Н	= (	0,75 m		
PESO SISTEMA BATTUTA	Ms	= (	0,63 kg		
DIAMETRO PUNTA CONICA	D	= 5	51,00 mm		
AREA BASE PUNTA CONICA	Α	= 2	20,43 cm <sup>2</sup>		
ANGOLO APERTURA PUNTA	α	= 6	30 °		
LUNGHEZZA DELLE ASTE	La	= (	0,90 m		
PESO ASTE PER METRO	Ма	= 6	5,31 kg		
PROF. GIUNZIONE 1ª ASTA	P1	= (	0,40 m		
AVANZAMENTO PUNTA	δ	= (	0,30 m		
NUMERO DI COLPI PUNTA	Ň	= 1	V(30) ⇒	Relativo ad un a	avanzamento di 30 cm
RIVESTIMENTO / FANGHI	NO		, , ,		
ENERGIA SPECIFICA x COLPO	Q	= (	MH)/(Aδ)	= 7,77 kg/cm <sup>2</sup>	( prova SPT : Qspt = 7.83 kg/cm² )
COEFF.TEORICO DI ENERGIA	βt	-	Q/Qspt	= 0,992	(teoricamente : Nspt = $\beta$ t N)
	~			•	( p )

Valutazione resistenza dinamica alla punta Rpd [funzione del numero di colpi N] (FORMULA OLANDESE) :

### Rpd = $M^2$ H / [A e (M+P)] = $M^2$ H N / [A $\delta$ (M+P)]

Rpd = resistenza dinamica punta [ area A]  $M = peso massa battente (altezza caduta H) e = infissione per colpo = <math>\delta / N$  P = peso totale aste e sistema battuta

### UNITA' di MISURA (conversioni)

1 kg/cm² = 0.098067 MPa 1 MPa = 1 MN/m² = 10.197 kg/cm² 1 bar = 1.0197 kg/cm² = 0.1 MPa 1 kN = 0.001 MN = 101.97 kg 28041 Arona (NO)

### PROVA PENETROMETRICA DINAMICA TABELLE VALORI DI RESISTENZA

n° 1

- indagine :

Caleffi S.p.A.

Ampliamento stabilimento

- data :

04/11/2005

Riferimento: 27-05

- cantiere : - località :

Maggiate

- quota inizio : - prof. falda :

p.c. 3,30 m da quota inizio

- note :

- pagina :

					- pagina .							
Prof.(m)	N(colpi p)	Rpd(kg/cm²)	N(colpi r)	asta	Prof.(m)	N(colpi p)	Rpd(kg/cm²)	N(colpi r)	asta			
0,00 - 0,30 0,30 - 0,60 0,60 - 0,90 0,90 - 1,20 1,20 - 1,50 1,50 - 1,80 1,80 - 2,10 2,10 - 2,40	5 25 61 54 32 16 5	35,3 176,7 398,7 353,0 209,2 97,3 30,4 72,9		1 1 2 2 2 3 3 3	3,90 - 4,20 4,20 - 4,50 4,50 - 4,80 4,80 - 5,10 5,10 - 5,40 5,40 - 5,70 5,70 - 6,00 6,00 - 6,30	20 17 7 15 33 46 31 17	106,7 85,4 35,2 75,4 156,7 218,5 147,2 76,6		5 6 6 7 7 7 8			
2,40 - 2,70 2,70 - 3,00 3,00 - 3,30 3,30 - 3,60 3,60 - 3,90	19 20 45 22 17	108,0 113,6 255,7 117,3 90,7		4 4 4 5 5	6,30 - 6,60 6,60 - 6,90 6,90 - 7,20 7,20 - 7,50 7,50 - 7,80	17 18 13 11 70	76,6 81,1 55,7 47,1 299,7		8 8 9 9			

<sup>-</sup> PENETROMETRO DINAMICO tipo : TG 63-100

<sup>-</sup> M (massa battente)= **63,50** kg - H (altezza caduta)= **0,75** m - A (area punta)= **20,43** cm<sup>2</sup> - D(diam. punta)= **51,00** mm - Numero Colpi Punta N = N(**30**) [ $\delta$  = 30 cm] - Uso rivestimento / fanghi iniezione : **NO** 

Via XX Settembre, 73 28041 Arona (NO)

> PROVA PENETROMETRICA DINAMICA DIAGRAMMA NUMERO COLPI PUNTA - Rpd

n° 1

Riferimento: 27-05

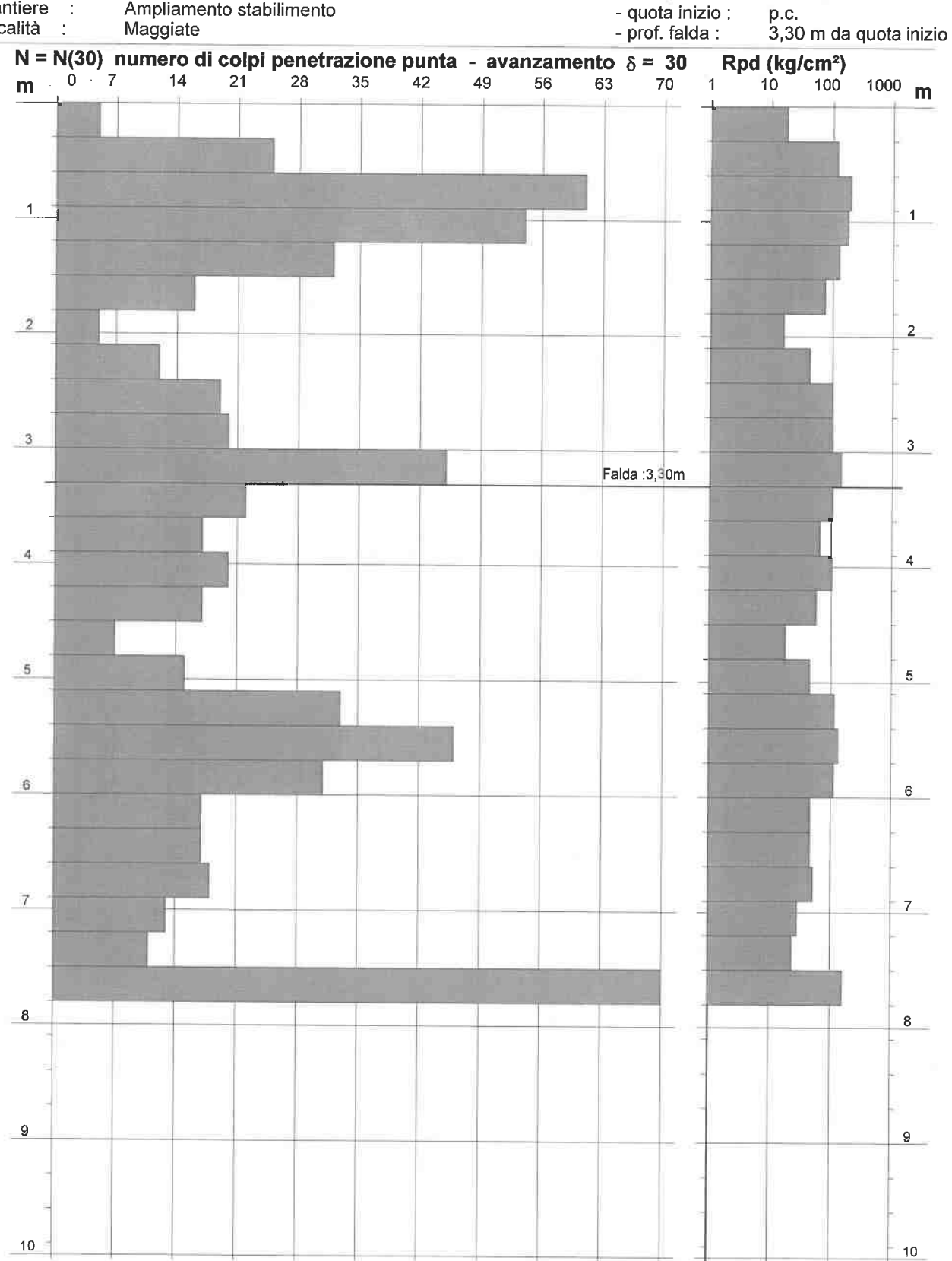
04/11/2005

Scala 1: 50

- indagine : Caleffi S.p.A.

- cantiere : - località : Ampliamento stabilimento

- quota inizio ;



- PENETROMETRO DINAMICO tipo: TG 63-100

- M (massa battente)= 63,50 kg - H (altezza caduta)= 0,75 m - A (area punta)= 20,43 cm<sup>2</sup> - D(diam. punta)= 51,00 mm - Numero Colpi Punta N = N(30) [ $\delta$  = 30 cm] - Uso rivestimento / fanghi iniezione : NO

### PROVA PENETROMETRICA DINAMICA **ELABORAZIONE STATISTICA**

n° 1

- indagine :

- note :

- cantiere : - località :

Caleffi S.p.A. Ampliamento stabilimento

Maggiate

- data :

04/11/2005

Riferimento: 27-05

- quota inizio :

p.c. 3,30 m da quota inizio - prof. falda:

- pagina :

n°	Profon	dità (m)	PARAMETRO	ELABORAZIONE STATISTICA								β	Nspt
				М	min	Max	½(M+min)	s	M-s	M+s			
1	0,00	1,80	N Rpd	32,2 211,7	5 35	61 399	18,6 123,5	21,7 141,7	10,4 70,0	53,9 353,4	32 210	1,30	42
2	1,80	2,40	N Rpd	8,5 51,7	5 30	12 73	6,8 41,0				8 49	1,30	10
3	2,40	4,20	N Rpd	23,8 132,0	17 91	45 256	20,4 111,3	10,5 61,3	13,3 70,7	34,3 193,3	24 133	1,30	31
4	4,20	5,10	N Rpd	13,0 65,3	7 35	17 85	10,0 50,2				13 65	1,30	17
5	5,10	6,00	N Rpd	36,7 174,2	31 147	46 219	33,8 160,7				37 176	1,30	48
6	6,00	7,50	N Rpd	15,2 67,4	11 47	18 81	13,1 57,2				15 67	1,30	20
7	7,50	7,80	N Rpd	70,0 299,7	70 300	70 300	70,0 299,7				70 300	1,30	91

M: valore medio

min: valore minimo

Max: valore massimo

s: scarto quadratico medio

numero Colpi Punta prova penetrometrica dinamica (avanzamento  $\beta$  = 30 cm ) Rpd: resistenza dinamica alla punta (kg/cm²) Coefficiente correlazione con prova SPT (valore teorico  $\beta$ t = 0,99) Nspt: numero colpi prova SPT (avanzamento  $\beta$  = 30 cm )

### Nspt - PARAMETRI GEOTECNICI

n°	Prof.(m)	LITOLOGIA	LITOLOGIA Nspt NATURA GRANULARE						NATURA COESIVA				
				DR	ø'	E'	Ysat	Yd	Cu	Ysat	W	е	
1 2 3 4 5 6 7	0.00 1.80 1.80 2.40 2.40 4.20 4.20 5.10 5.10 6.00 6.00 7.50 7.50 7.80	Riporto Sabbie limose Sabbie e ghiaie Sabbie limose Sabbie limose Ghiaie	42 10 31 17 48 20 91	77.0 35.0 66.0 45.5 83.0 50.0 100.0	39.0 30.0 36.3 32.1 40.5 33.0 45.0	515 268 430 322 561 346 893	2.11 1.93 2.06 1.97 2.14 1.99 2,24	1.78 1.50 1.70 1.56 1.83 1.59 1.99	2.63 0.63 1.94 1.06 3.00 1.25 5.69	2.29 1.90 2.15 1.98 2.36 2.02 2.88	12 33 18 27 09 25 -04	0.322 0.892 0.474 0.729 0.251 0.667 -0.096	

Nspt: numero di colpi prova SPT (avanzamento  $\delta$  = 30 cm )

DR % = densità relativa  $\mathscr{O}'$  (°) = angolo di attrito efficace e (-) = indice dei vuoti Cu (kg/cm²) = coesione non drenata

E' (kg/cm²) = modulo di deformazione drenato W% = contenuto d'acqua Ysat, Yd (t/m³) = peso di volume saturo e secco (rispettivamente) del terreno PROVA PENETROMETRICA DINAMICA TABELLE VALORI DI RESISTENZA

n°2

- indagine :

- note :

Caleffi S.p.A.

- cantiere :

Ampliamento stabilimento

Maggiate

- data :

04/11/2005

Riferimento: 27-05

- quota inizio :

p.c.

- prof. falda :

2,50 m da quota inizio

- pagina :

						- payii	ia. 1		
Prof.(m)	N(colpi p)	Rpd(kg/cm²)	N(colpi r)	asta	Prof.(m)	N(colpi p)	Rpd(kg/cm²)	N(colpi r)	asta
0,00 - 0,30	3	21,2		1	5,10 - 5,40	29	137,7		7
0,30 - 0,60	3	21,2		1	5,40 - 5,70	18	85,5		7
0,60 - 0,90	2	13,1		2	5,70 - 6,00	10	47,5		7
0,90 - 1,20	2	13,1		2	6,00 - 6,30	21	94,6		8
1,20 - 1,50	1	6,5		2	6,30 - 6,60	22	99,1		8
1,50 - 1,80	1	6,1		3	6,60 - 6,90	17	76,6		8
1,80 - 2,10	1	6,1		3	6,90 - 7,20	17	72,8		9
2,10 - 2,40	2	12,2		3	7,20 - 7,50	19	81,4		9
2,40 - 2,70	1	5,7		4	7,50 - 7,80	9	38,5		9
2,70 - 3,00	5	28,4		4	7,80 - 8,10	18	73,5		10
3,00 - 3,30	14	79,5		4	8,10 - 8,40	20	81,6		10
3,30 - 3,60	8	42,7		5	8,40 - 8,70	13	53,0		10
3,60 - 3,90	13	69,3		5	8,70 - 9,00	15	58,5		11
3,90 - 4,20	20	106,7		5	9,00 - 9,30	19	74,1		11
4,20 - 4,50	26	130,6		6	9,30 - 9,60	20	78,0		11
4,50 - 4,80	27	135,7		6	9,60 - 9,90	19	70,9		12
4,80 - 5,10	27	135,7		6	9,90 - 10,20	21	78,3		12
							•		

<sup>-</sup> PENETROMETRO DINAMICO tipo: TG 63-100

<sup>-</sup> M (massa battente)= **63,50** kg - H (altezza caduta)= **0,75** m - A (area punta)= **20,43** cm² - D(diam. punta)= **51,00 mm** - Numero Colpi Punta N = N(**30**) [δ = 30 cm] - Uso rivestimento / fanghi iniezione : **NO** 

Riferimento: 27-05

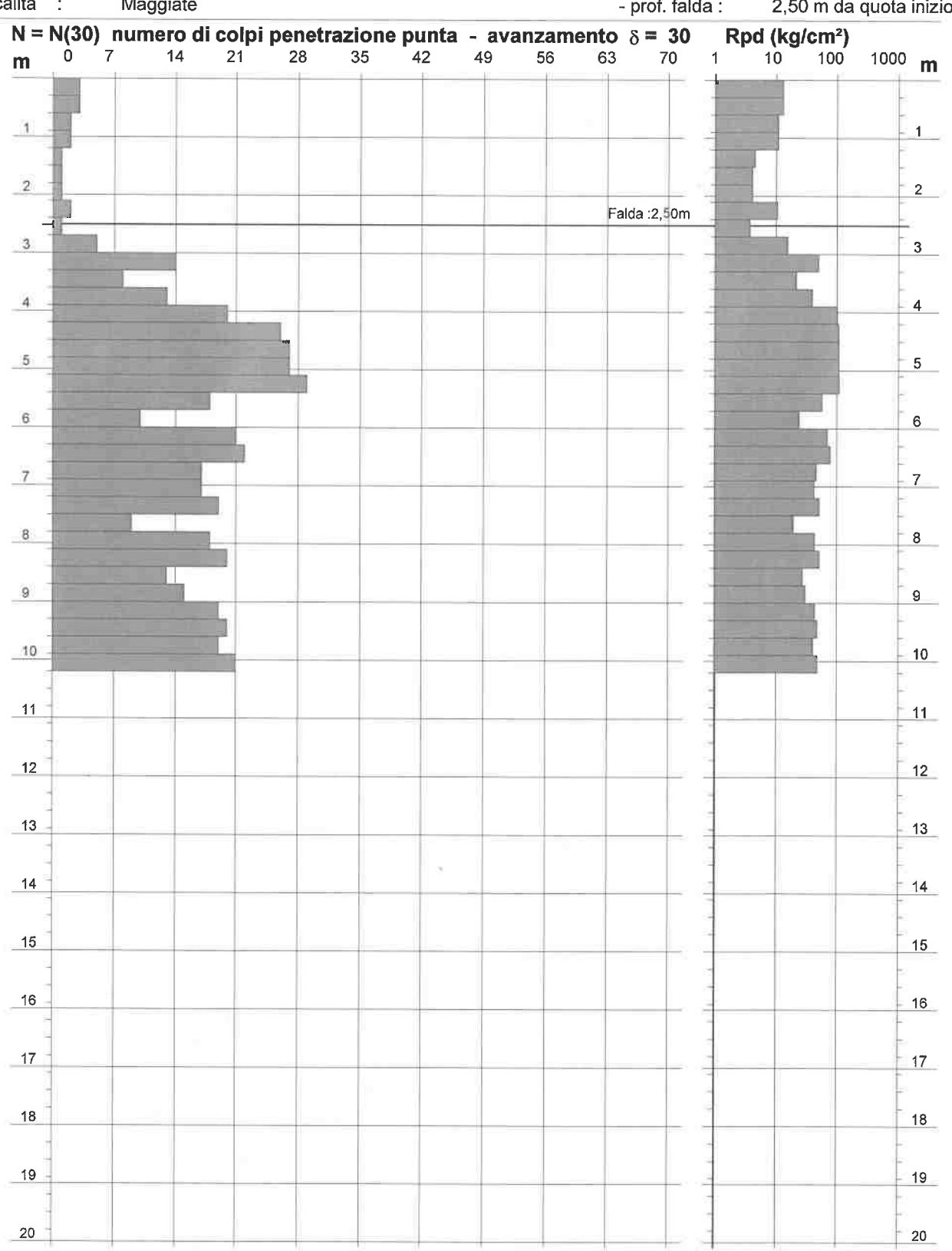
### PROVA PENETROMETRICA DINAMICA DIAGRAMMA NUMERO COLPI PUNTA - Rpd

n° 2

Scala 1: 100 - indagine : Caleffi S.p.A.

04/11/2005 - cantiere : Ampliamento stabilimento - quota inizio :

p.c. 2,50 m da quota inizio località Maggiate - prof. falda :



- PENETROMETRO DINAMICO tipo : TG 63-100

- M (massa battente)= **63,50** kg - H (altezza caduta)= **0,75** m - A (area punta)= **20,43** cm<sup>2</sup> - D(diam. punta)= **51,00 mm** - Numero Colpi Punta N = N(**30**) [ $\delta$  = 30 cm] - Uso rivestimento / fanghi iniezione : **NO** 

# PROVA PENETROMETRICA DINAMICA ELABORAZIONE STATISTICA

n° 2

- indagine :

Caleffi S.p.A.

- cantiere :

Ampliamento stabilimento

- località :

- note :

Maggiate

- data :

04/11/2005

Riferimento: 27-05

- quota inizio :

0-7/11/20

- prof. falda :

2,50 m da quota inizio

- pagina :

n°	Profondità (m)	PARAMETRO		ELA	BORA	ZIONE ST	ATIST	TCA		VCA	β	Nspt
			M	min	Max	½(M+min)	s	M-s	M+s			
1	0,00 3,00	N Rpd	2,1 13,3	1 6	5 28	1,6 9,5	1,3 7,9	 5,4	3,4 21,3	2 13	1,30	3
2	3,00 3,90	N Rpd	11,7 63,8	8 43	14 80	9,8 53,3				12 65	1,30	16
3	3,90 5,40	N Rpd	25,8 129,3	20 107	29 138	22,9 118,0				26 130	1,30	34
4	5,40 10,20	N Rpd	17,4 72,7	9 39	22 99	13,2 55,6	3,8 16,3	13,5 56,5	21,2 89,0	17 71	1,30	22

M: valore medio

min: valore minimo

Max: valore massimo

s: scarto quadratico medio

N: numero Colpi Punta prova penetrometrica dinamica (avanzamento § = 30 cm)

B: Coefficiente correlazione con prova SPT (valore teorico gt = 0,99)

Nspt: num

= 30 cm ) Rpd: resistenza dinamica alla punta (kg/cm²) Nspt: numero colpi prova SPT (avanzamento  $\delta$  = 30 cm )

### Nspt - PARAMETRI GEOTECNICI

n°	Prof.(m)	LITOLOGIA	Nspt	١	NATUR	RA GR	ANULA	RE	N/	ATURA	COE	SIVA
				DR	ø'	E'	Ysat	Yd	Cu	Ysat	W	е
1 2 3 4	0.00 3.00 3.00 3.90 3.90 5.40 5.40 10.20	Sabbie limose sciolte Sabbie limose Sabbie Sabbie deb. limose	3 16 34 22	11.3 44.0 69.0 53.0	27.2 31.8 37.0 33.6	214 315 453 361	1.86 1.97 2.07 2.00	1.38 1.55 1.72 1.61	0.19 1.00 2.13 1.38	1.78 1.97 2.19 2.04	44 28 16 23	1.194 0.750 0.429 0.628

Nspt: numero di colpi prova SPT (avanzamento  $\delta$  = 30 cm )

DR % = densità relativa  $\mathscr{O}'$  (°) = angolo di attrito efficace e (-) = indice dei vuoti Cu (kg/cm²) = coesione non drenata

E' (kg/cm²) = modulo di deformazione drenato W% = contenuto d'acqua Ysat, Yd (t/m³) = peso di volume saturo e secco (rispettivamente) del terreno

PROVA PENETROMETRICA DINAMICA TABELLE VALORI DI RESISTENZA

n° 3

- indagine :

- data :

04/11/2005

Riferimento: 27-05

- cantiere :

Caleffi S.p.A. Ampliamento stabilimento Maggiate

- quota inizio : - prof. falda:

2,00 m da quota inizio

- note :

- pagina :

Prof.(m)	N(colpi p)	Rpd(kg/cm²)	N(colpi r)	asta	Prof.(m)	N(colpi p)	Rpd(kg/cm²)	N(colpi r)	asta
0,00 - 0,30	1	7,1		1	4,50 - 4,80	21	105,5		6
0,30 - 0,60	7	49,5		1	4,80 - 5,10	21	105,5		6
0,60 - 0,90	5	32,7		2	5,10 - 5,40		90,2		7
0,90 - 1,20	3	19,6		2	5,40 - 5,70	19	90,2		7
1,20 - 1,50	2	13,1		2	5,70 - 6,00	26	123,5		7
1,50 - 1,80	1	6,1		3	6,00 - 6,30	17	76,6		8
1,80 - 2,10	2	12,2		3	6,30 - 6,60	20	90,1		8
2,10 - 2,40	2	12,2		3	6,60 - 6,90	16	72,1		8
2,40 - 2,70	2	11,4		4	6,90 - 7,20		34.3		9
2,70 - 3,00	4	22,7		4	7.20 - 7.50	19	81,4		9
3,00 - 3,30	5	28,4		4	7,50 - 7,80		38,5		9
3,30 - 3,60	11	58,7		5	7.80 - 8.10	10	40,8		10
3,60 - 3,90	18	96,0		5	8,10 - 8,40	11	44,9		10
3,90 - 4,20	26	138,7		5	8,40 - 8,70	51	208,1		10
4,20 - 4,50	33	165,8		6	8,70 - 9,00	70	272,8		11

<sup>-</sup> PENETROMETRO DINAMICO tipo : TG 63-100

<sup>-</sup> M (massa battente)= 63,50 kg - H (altezza caduta)= 0,75 m - A (area punta)= 20,43 cm<sup>2</sup> - D(diam. punta)= 51,00 mm - Numero Colpi Punta N = N(30) [ $\delta$  = 30 cm] - Uso rivestimento / fanghi iniezione : NO

Riferimento: 27-05

### PROVA PENETROMETRICA DINAMICA DIAGRAMMA NUMERO COLPI PUNTA - Rpd

n° 3

Scala 1: 50

- indagine : Caleffi S.p.A. 04/11/2005 Ampliamento stabilimento - quota inizio :

- cantiere : Maggiate - prof. falda : 2,00 m da quota inizio N = N(30) numero di colpi penetrazione punta - avanzamento  $\delta$  = 30 Rpd (kg/cm²) 14 28 35 49 56 1000 **m** 63 70 10 100 m 1 Falda:2,00m 2 3 4 5 5 6 7 8 8 9 9 10 10

- PENETROMETRO DINAMICO tipo : TG 63-100

- M (massa battente)= **63,50** kg - H (altezza caduta)= **0,75** m - A (area punta)= **20,43** cm<sup>2</sup> - D(diam. punta)= **51,00 mm** - Numero Colpi Punta N = N(**30**) [ $\delta$  = 30 cm] - Uso rivestimento / fanghi iniezione : **NO** 

### PROVA PENETROMETRICA DINAMICA **ELABORAZIONE STATISTICA**

n° 3

- indagine :

- note:

Caleffi S.p.A.

- cantiere : - località ;

Ampliamento stabilimento

Maggiate

- data :

04/11/2005

Riferimento: 27-05

- quota inizio :

p.c.

- prof. falda: 2,00 m da quota inizio

- pagina :

n°	Profon	dità (m)	PARAMETRO		ELA	BORA	ZIONE ST	ATIST	ICA		VCA	β	Nspt
				М	min	Max	½(M+min)	s	M-s	M+s			
1	0,00	3,30	N Rpd	3,1 19,5	1 6	7 50	2,0 12,8	1,9 13,1	1,2 6,4	5,0 32,6	3 19	1,30	4
2	3,30	3,90	N Rpd	14,5 77,3	11 59	18 96	12,8 68,0				14 75	1,30	18
3	3,90	6,60	N Rpd	22,4 109,6	17 77	33 166	19,7 93,1	5,0 28,4	17,4 81,2	27,4 138,0	22 108	1,30	29
4	6,60	8,40	N Rpd	12,2 52,0	8 34	19 81	10,1 43,1	4,4 19,7	7,8 32,3	16,5 71,7	12 51	1,30	16
5	8,40	9,00	N Rpd	60,5 240,5	51 208	70 273	55,8 224,3				60 239	1,30	78

M: valore medio

min: valore minimo

Max: valore massimo

s: scarto quadratico medio

numero Colpi Punta prova penetrometrica dinamica (avanzamento  $\delta = 30 \text{ cm}$ ) Coefficiente correlazione con prova SPT (valore teorico  $\beta t$  = 0,99)

Rpd: resistenza dinamica alla punta (kg/cm²) Nspt: numero colpi prova SPT (avanzamento  $\delta$  = 30 cm)

### Nspt - PARAMETRI GEOTECNICI

n°	Prof.(m)	LITOLOGIA	Nspt	١	IATUR	RA GRA	ANULA	RE	NA	ATURA	COE	SIVA
1				DR	ø'	E'	Ysat	Yd	Cu	Ysat	W	е
1 2 3 4 5	0.00 3.30 3.30 3.90 3.90 6.60 6.60 8.40 8.40 9.00	Sabbie limose sciolte Sabbie limose Sabbie e ghiaie Sabbie limose Ghiaie	4 18 29 16 78	15.0 47.0 63.5 44.0 95.5	27.6 32.4 35.7 31.8 44.4	222 330 415 315 793	1.87 1.98 2.05 1.97 2.21	1.39 1.57 1.68 1.55 1.94	0.25 1.13 1.81 1.00 4.88	1.80 2.00 2.13 1.97 2.72	42 26 19 28 -01	1.125 0.708 0.506 0.750 -0.013

Nspt: numero di colpi prova SPT (avanzamento  $\delta$  = 30 cm )

DR % = densità relativa  $\mathscr{Q}'$  (°) = angolo di attrito efficace e (-) = indice dei vuoti Cu (kg/cm²) = coesione non drenata

E' (kg/cm²) = modulo di deformazione drenato W% = contenuto d'acqua Ysat, Yd (t/m³) = peso di volume saturo e secco (rispettivamente) del terreno

### PROVA PENETROMETRICA DINAMICA TABELLE VALORI DI RESISTENZA

n° 4

Riferimento: 27-05

- indagine : Caleffi S.p.A. - data : 04/11/2005 - cantiere : Ampliamento stabilimento

- quota inizio : p.c. - località : Maggiate - prof. falda: 2,00 m da quota inizio - note : - pagina :

Prof	f.(m)	N(colpi p)	Rpd(kg/cm²)	N(colpi r)	asta	Prof.(m)	N(colpi p)	Rpd(kg/cm²)	N(colpi r)	asta
0,00 -	0.30	2	14,1		1	3,30 - 3,60	3	16.0		5
	0,60	13	91,9		il	3,60 - 3,90	12	64.0	*	5
•	0,90	33	215,7		2	3,90 - 4,20	3	16,0		5
•	1,20	36	235,3		2	4,20 - 4,50	4	20,1		6
,	1,50	6	39,2		2	4,50 - 4,80	5	25,1		6
,	1,80	2	12,2		3	4,80 - 5,10	18	90,4		6
	2,10	3	18,2		3	5,10 - 5,40	31	147,2		7
2,10 -	2,40	3	18,2		3	5,40 - 5,70	28	133,0		7
,	2,70	3	17,0		4	5,70 - 6,00	26	123,5		7
	3,00	2	11,4		4	6,00 - 6,30	34	153,1		8
3,00 -	3,30	2	11,4	~~~	4	6.30 - 6.60	40	180.1		8

<sup>-</sup> PENETROMETRO DINAMICO tipo: TG 63-100

<sup>-</sup> M (massa battente)= 63,50 kg - H (altezza caduta)= 0,75 m - A (area punta)= 20,43 cm<sup>2</sup> - D(diam. punta)= 51,00 mm - Numero Colpi Punta N = N(30) [ $\delta$  = 30 cm] - Uso rivestimento / fanghi iniezione : NO

<sup>-</sup> Uso rivestimento / fanghi iniezione : NO

Riferimento: 27-05

### PROVA PENETROMETRICA DINAMICA DIAGRAMMA NUMERO COLPI PUNTA - Rpd

n° 4

- indagine : - cantiere :

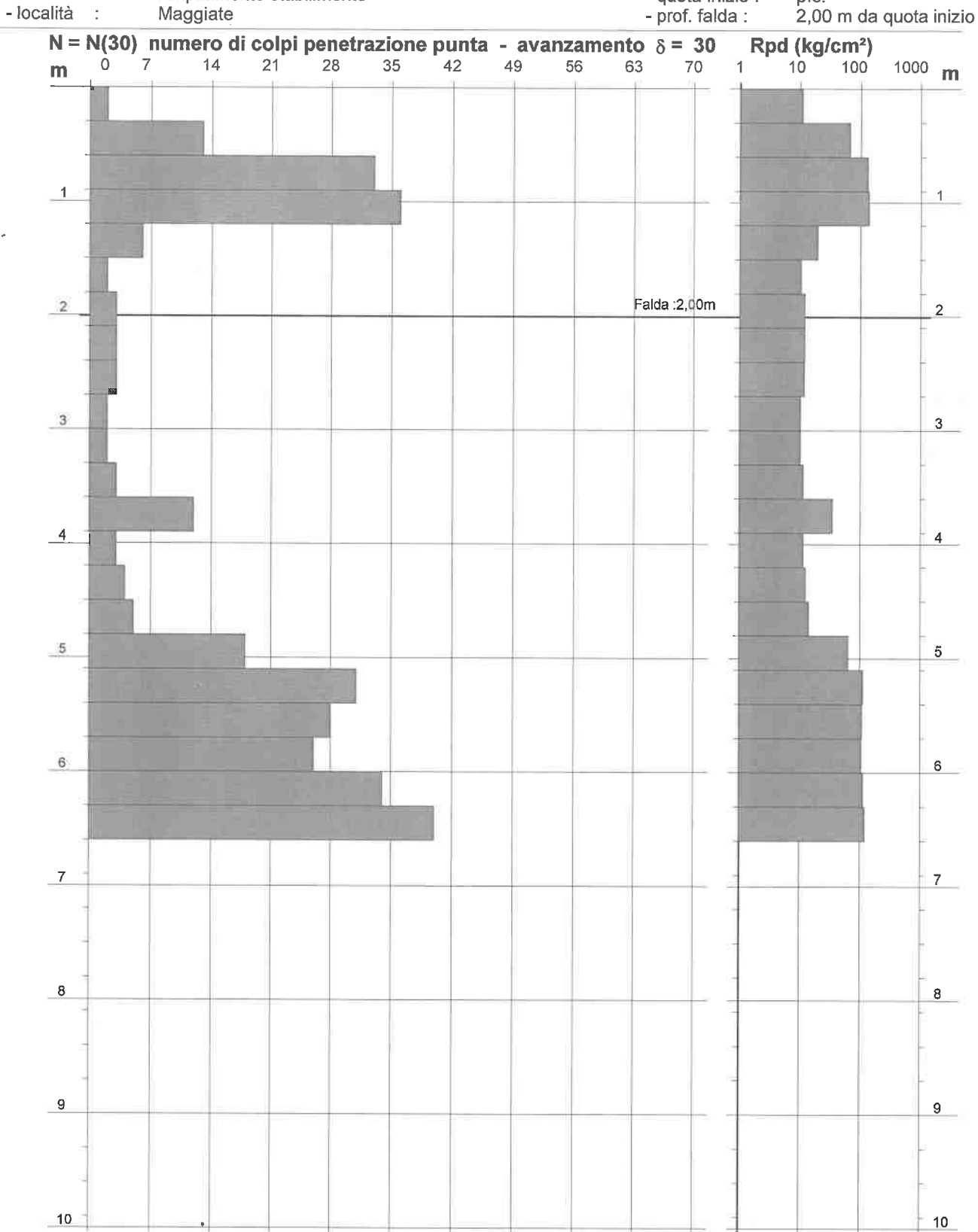
Caleffi S.p.A.

Ampliamento stabilimento

Scala 1: 50

04/11/2005 - quota inizio : p.c.





- PENETROMETRO DINAMICO tipo : TG 63-100

- M (massa battente)= 63,50 kg - H (altezza caduta)= 0,75 m - A (area punta)= 20,43 cm<sup>2</sup> - D(diam. punta)= 51,00 mm - Numero Colpi Punta N = N(30) [ $\delta$  = 30 cm] - Uso rivestimento / fanghi iniezione : NO

### PROVA PENETROMETRICA DINAMICA **ELABORAZIONE STATISTICA**

n° 4

- indagine :

- note :

Caleffi S.p.A.

- cantiere : - località :

Maggiate

Ampliamento stabilimento

- data :

04/11/2005

Riferimento: 27-05

- quota inizio:

- prof. falda : 2,00 m da quota inizio

- pagina :

n°	Profor	ndità (m)	PARAMETRO		ELA	BORA	ZIONE ST	ATIST	TCA		VCA	β	Nspt
				М	min	Max	½(M+min)	s	M-s	M+s			
1	0,00	1,50	N Rpd	18,0 119,3	2 14	36 235	10,0 66,7				18 119	1,30	23
2	1,50	4,80	N Rpd	3,8 20,9	2 11	12 64	2,9 16,1	2,9 14,9	1,0 6,0	6,7 35,7	4 22	1,30	5
3	4,80	6,60	N Rpd	29,5 137,9	18 90	40 180	23,8 114,2	7,5 30,3	22,0 107,6	37,0 168,2	30 140	1,30	39

M: valore medio

min: valore minimo

Max: valore massimo

s: scarto quadratico medio

Rpd: resistenza dinamica alla punta (kg/cm²)

N: numero Colpi Punta prova penetrometrica dinamica (avanzamento 8 = 30 cm) Coefficiente correlazione con prova SPT (valore teorico  $\beta t = 0.99$ )

Nspt: numero colpi prova SPT (avanzamento  $\delta = 30$  cm)

### Nspt - PARAMETRI GEOTECNICI

n°	Prof.(m)	LITOLOGIA	Nspt	١	NATUF	RA GR	ANULA	RE	N/	ATURA	COE	SIVA
				DR	ø'	E'	Ysat	Yd	Cu	Ysat	W	е
1 2 3	0.00 1.50 1.50 4.80 4.80 6.60	Riporto Sabbie limose sciolte Sabbie e ghiaie	23 5 39	54.5 18.3 74.0	33.9 28.0 38.3	369 230 492	2.01 1.88 2.10	1.62 1.41 1.76	1.44 0.31 2.44	2.06 1.83 2.25	23 39 13	0.610 1.061 0.360

Nspt: numero di colpi prova SPT (avanzamento  $\delta$  = 30 cm )

DR % = densità relativa  $\,$  ø' (°) = angolo di attrito efficace e (-) = indice dei vuoti  $\,$  Cu (kg/cm²) = coesione non drenata

E' (kg/cm²) = modulo di deformazione drenato W% = contenuto d'acqua Ysat, Yd (t/m³) = peso di volume saturo e secco (rispettivamente) del terreno

Via XX Settembre, 73 28041 Arona (NO)

### PROVA PENETROMETRICA DINAMICA TABELLE VALORI DI RESISTENZA

n° 5

Riferimento: 27-05

- indagine : Caleffi S.p.A. - data : 04/11/2005

- cantiere : Ampliamento stabilimento - quota inizio : p.c. Maggiate - prof. falda: 1,70 m da quota inizio - note : - pagina :

								1-5			
Pro	f.(m)	N(colpi p)	Rpd(kg/cm²)	N(colpi r)	asta	Prof.	(m)	N(colpi p)	Rpd(kg/cm²)	N(colpi r)	asta
0,00 -	0,30	3	21,2		1	4.20 -	4.50	19	95,5		6
0,30 -	0,60	16	113,1		1	,	4.80	16	80,4		6
0,60 -	0,90	. 44	287,6		2		5.10	14	70,3		6
0,90 -	1,20	18	117,7		2		5,40	27	128,2		7
1,20 -	1,50	4	26,1		2	5,40 -	5,70	32	152,0		7
1,50 -	1,80	6	36,5		3	5,70 -	6,00	22	104,5		7
1,80 -	2,10	4	24,3		3	6,00 -	6,30	39	175,6		8
2,10 -	2,40	4	24,3		3	6,30 -	6,60	24	108,1		8
2,40 -	2,70	3	17,0		4	6,60 -	6,90	10	45,0		8
2,70 -	3,00	2	11,4		4		7,20	11	47,1		9
3,00 -	3,30	3	17,0		4	7,20 -	7,50	8	34,3		9
3,30 -	3,60	3	16,0		5	7,50 -	7,80	12	51,4		9
3,60 -	3,90	3	16,0		5	7,80 -	8,10	15	61,2		10
3,90 -	4,20	5	26,7		5	8,10 -	8,40	24	97.9		10

<sup>-</sup> PENETROMETRO DINAMICO tipo: TG 63-100

<sup>-</sup> M (massa battente)= 63,50 kg - H (altezza caduta)= 0,75 m - A (area punta)= 20,43 cm<sup>2</sup> - D(diam. punta)= 51,00 mm - Numero Colpi Punta N = N(30) [ $\delta$  = 30 cm] - Uso rivestimento / fanghi iniezione : NO

Riferimento: 27-05

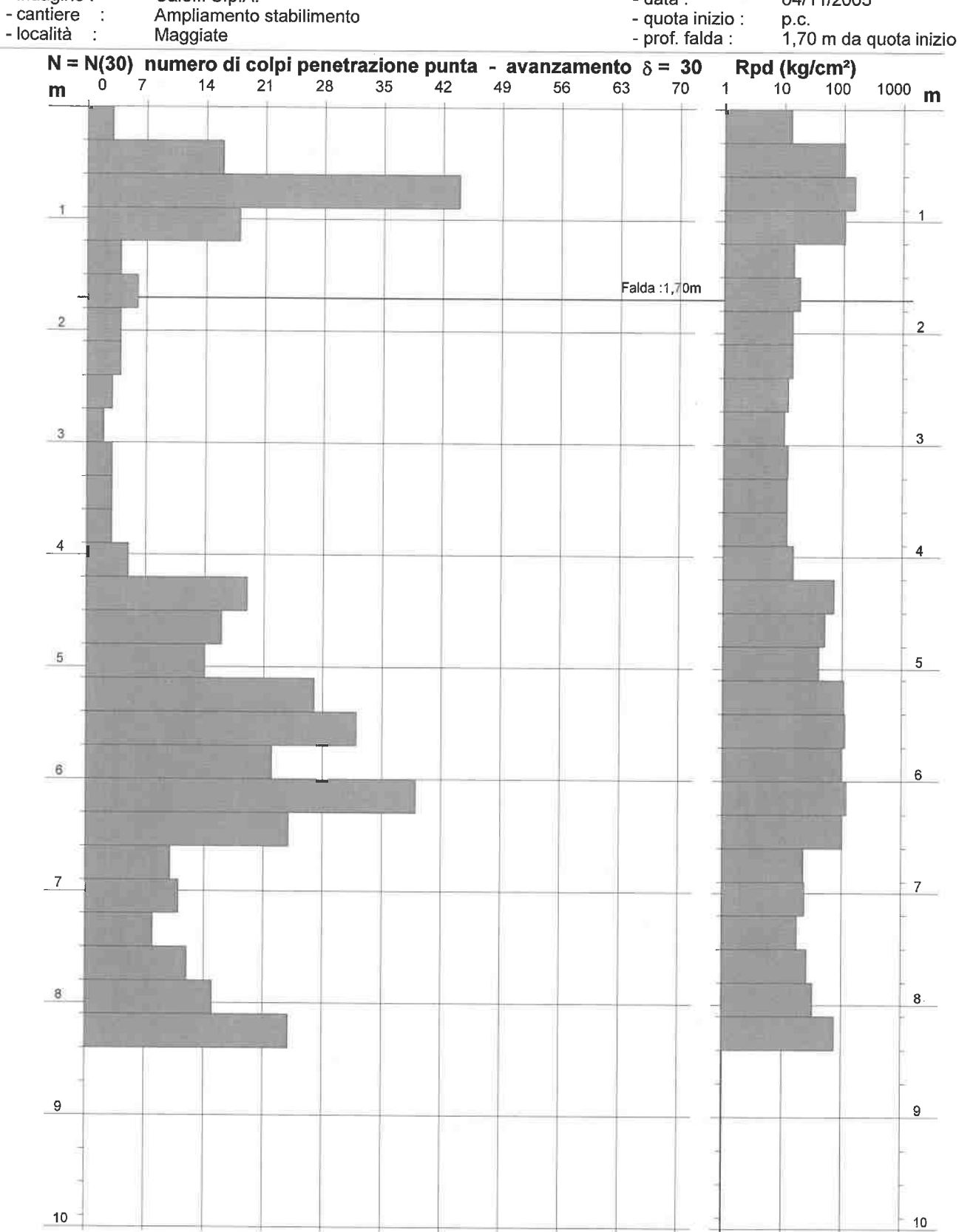
### PROVA PENETROMETRICA DINAMICA DIAGRAMMA NUMERO COLPI PUNTA - Rpd

n° 5

- indagine : Caleffi S.p.A.

Ampliamento stabilimento

Scala 1: 50 04/11/2005



- PENETROMETRO DINAMICO tipo : TG 63-100

- M (massa battente)= 63,50 kg - H (altezza caduta)= 0,75 m - A (area punta)= 20,43 cm² - D(diam. punta)= 51,00 mm

- Numero Colpi Punta N = N(30) [ $\delta$  = 30 cm]

- Uso rivestimento / fanghi iniezione : NO

### PROVA PENETROMETRICA DINAMICA **ELABORAZIONE STATISTICA**

n° 5

- indagine :

- note :

Caleffi S.p.A.

- cantiere : - località :

Ampliamento stabilimento

Maggiate

- data :

04/11/2005

Riferimento: 27-05

- quota inizio:

- prof. falda : 1,70 m da quota inizio

- pagina :

n°	Profondi	ità (m)	PARAMETRO		ELA	BORA	ZIONE STA	ATIST	ICA		VCA	β	Nspt
				М	min	Max	½(M+min)	s	M-s	M+s			
1	0,00	1,20	N Rpd	20,3 134,9	3 21	44 288	11,6 78,0				20 133	1,30	26
2	1,20	4,20	N Rpd	3,7 21,5	11	6 37	2,9 16,4	1,2 7,4	2,5 14,1	4,9 28,9	4 23	1,30	5
3	4,20	5,10	N Rpd	16,3 82,1	14 70	19 96	15,2 76,2				16 81	1,30	21
4	5,10	6,60	N Rpd	28,8 133,7	22 105	39 176	25,4 119,1				29 135	1,30	38
5	6,60	8,10	N Rpd	11,2 47,8	8 34	15 61	9,6 41,0				11 47	1,30	14
6	8,10 8	8,40	N Rpd	24,0 97,9	24 98	24 98	24,0 97,9				24 98	1,30	31

M: valore medio

min: valore minimo

Max: valore massimo

s: scarto quadratico medio

N: numero Colpi Punta prova penetrometrica dinamica (avanzamento  $\beta$  = 30 cm )  $\beta$ : Coefficiente correlazione con prova SPT (valore teorico  $\beta$ t = 0,99) Nspt: num

Rpd: resistenza dinamica alla punta (kg/cm²) Nspt: numero colpi prova SPT (avanzamento  $\delta = 30$  cm )

### Nspt - PARAMETRI GEOTECNICI

n°	Prof.(m)	LITOLOGIA	Nspt	1	NATUF	RA GR	ANULA	RE	NA	ATURA	COE	SIVA
				DR	ø'	E'	Ysat	Yd	Cu	Ysat	W	е
1 2 3 4 5 6	0.00 1.20 1.20 4.20 4.20 5.10 5.10 6.60 6.60 8.10 8.10 8.40	Riporto Sabbie limose sciolte Sabbie limose Sabbie e ghiaie Sabbie limose Sabbie	26 5 21 38 14 31	59.0 18.3 51.5 73.0 41.0 66.0	34.8 28.0 33.3 38.0 31.2 36.3	392 230 353 484 299 430	2.03 1.88 2.00 2.09 1.96 2.06	1.65 1.41 1.60 1.75 1.53 1.70	1.63 0.31 1.31 2.38 0.88 1.94	2.09 1.83 2.03 2.24 1.95 2.15	21 39 24 14 30 18	0.556 1.061 0.648 0.373 0.795 0.474

Nspt: numero di colpi prova SPT (avanzamento δ = 30 cm )

DR % = densità relativa  $\,$  ø' (°) = angolo di attrito efficace e (-) = indice dei vuoti  $\,$  Cu (kg/cm²) = coesione non drenata

E' (kg/cm²) = modulo di deformazione drenato W% = contenuto d'acqua Ysat, Yd (t/m³) = peso di volume saturo e secco (rispettivamente) del terreno

### PROVA PENETROMETRICA DINAMICA TABELLE VALORI DI RESISTENZA

n° 6

- indagine :

Caleffi S.p.A.

- cantiere :

Ampliamento stabilimento

- note :

Maggiate

- data :

04/11/2005

Riferimento: 27-05

- quota inizio : - prof. falda :

p.c.

1,30 m da quota inizio

- pagina :

Prof.(m)	N(colpi p)	Rpd(kg/cm²)	N(colpi r)	asta	Prof.(m)	N(colpi p)	Rpd(kg/cm²)	N(colpi r)	asta
0,00 - 0,30	2	14,1		1	4,50 - 4,80	30	150,7		6
0,30 - 0,60	9	63,6		1	4,80 - 5,10	21	105,5		6
0,60 - 0,90	12	78,4		2	5,10 - 5,40	22	104,5	-	7
0,90 - 1,20	4	26,1		2	5,40 - 5,70	43	204,2		7
1,20 - 1,50	3	19,6		2	5,70 - 6,00	34	161,5		7
1,50 - 1,80	5	30,4		3	6,00 - 6,30	21	94,6		8
1,80 - 2,10	5	30,4		3	6,30 - 6,60	14	63,1		8
2,10 - 2,40	11	66,9	200	3	6,60 - 6,90	18	81,1		8
2,40 - 2,70	4	22,7		4	6,90 - 7,20	20	85,6	****	9
2,70 - 3,00	2	11,4		4	7,20 - 7,50	20	85,6		9
3,00 - 3,30	2	11,4		4	7,50 - 7,80	22	94,2		9
3,30 - 3,60	2	10,7		5	7,80 - 8,10	27	110,2		10
3,60 - 3,90	3	16,0		5	8,10 - 8,40	40	163,2		10
3,90 - 4,20	10	53,3		5	8,40 - 8,70	40	163,2		10
4,20 - 4,50	13	65,3		6	8,70 - 9,00	42	163,7		11

<sup>-</sup> PENETROMETRO DINAMICO tipo: TG 63-100

<sup>-</sup> M (massa battente)= **63,50** kg - H (altezza caduta)= **0,75** m - A (area punta)= **20,43** cm<sup>2</sup> - D(diam. punta)= **51,00** mm - Numero Colpi Punta N = N(**30**) [ $\delta$  = 30 cm] - Uso rivestimento / fanghi iniezione : **NO** 

Via XX Settembre, 73 28041 Arona (NO)

### PROVA PENETROMETRICA DINAMICA DIAGRAMMA NUMERO COLPI PUNTA - Rpd

n°6

Scala 1: 50

- indagine : - cantiere : Caleffi S.p.A.

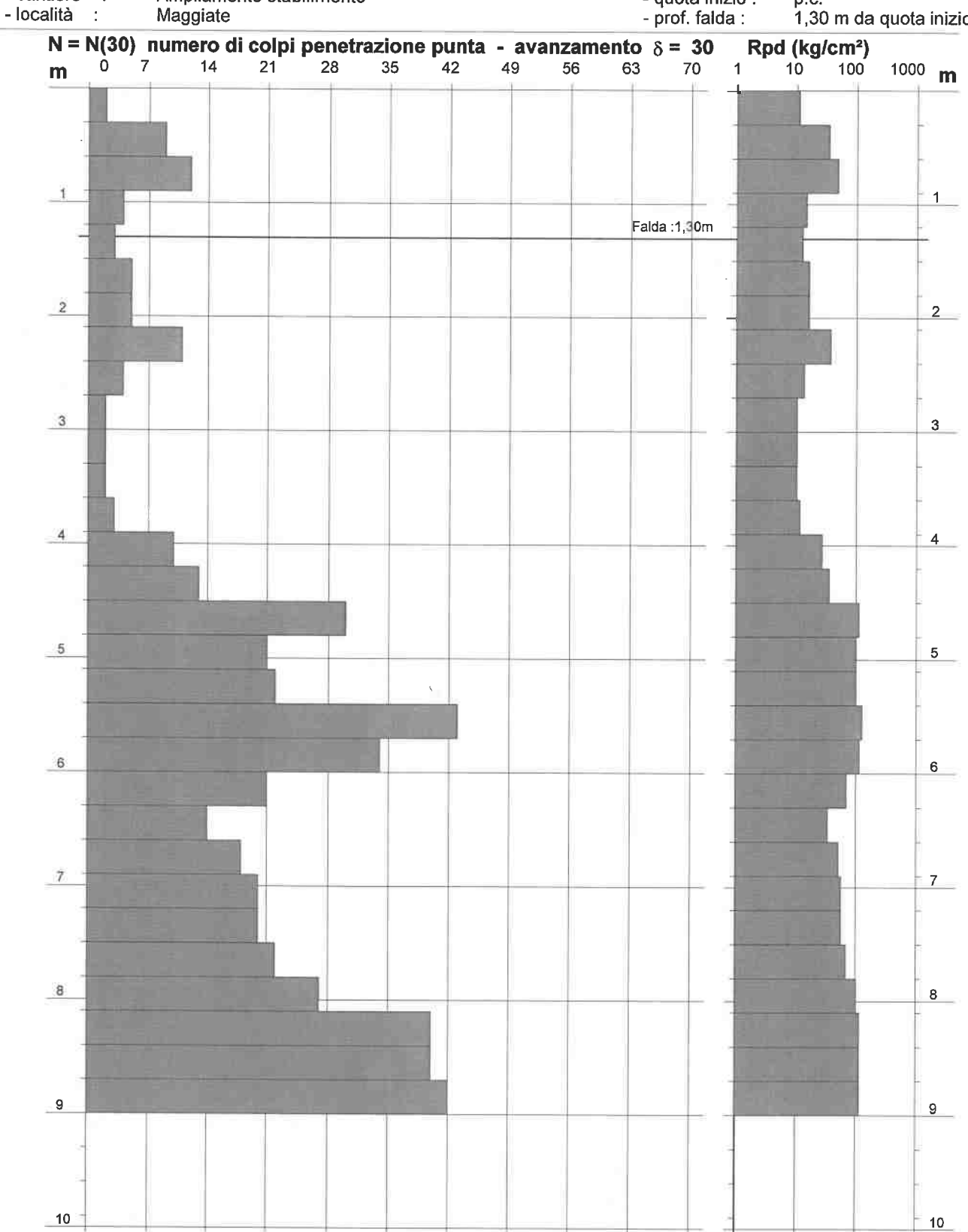
Ampliamento stabilimento

- quota inizio :

1,30 m da quota inizio

04/11/2005

Riferimento: 27-05



- PENETROMETRO DINAMICO tipo : TG 63-100

- M (massa battente)= 63,50 kg - H (altezza caduta)= 0,75 m - A (area punta)= 20,43 cm<sup>2</sup> - D(diam. punta)= 51,00 mm - Numero Colpi Punta N = N(30) [ $\delta$  = 30 cm] - Uso rivestimento / fanghi iniezione : NO

### PROVA PENETROMETRICA DINAMICA **ELABORAZIONE STATISTICA**

n°6

- indagine :

- cantiere :

- località : - note :

Caleffi S.p.A. Ampliamento stabilimento

Maggiate

- data :

04/11/2005

Riferimento: 27-05

- quota inizio:

- prof. falda:

p.c. 1,30 m da quota inizio

-	pagina	

n°	Profondità (m)		PARAMETRO	ELABORAZIONE STATISTICA								β	Nspt
				M	min	Max	½(M+min)	s	M-s	M+s			
1	0,00	0,90	N Rpd	7,7 52,1	2 14	12 78	4,8 33,1				8 54	1,30	10
2	0,90	3,90	N Rpd	4,1 24,6	2 11	11 67	3,1 17,6	2,7 16,7	1,4 7,9	6,8 41,2	4 24	1,30	5
3	3,90	4,50	<b>N</b> Rpd	11,5 59,3	10 53	13 65	10,8 56,3				12 62	1,30	16
4	4,50	6,30	N Rpd	28,5 136,8	21 95	43 204	24,8 115,7	8,9 42,8	19,6 94,0	37,4 179,6	28 134	1,30	36
5	6,30	6,90	N Rpd	16,0 72,1	14 63	18 81	15,0 67,6				16 72	1,30	21
6	6,90	9,00	N Rpd	30,1 123,7	20 86	42 164	25,1 104,7	10,1 38,0	20,0 85,7	40,3 161,7	30 123	1,30	39

M: valore medio

min: valore minimo

Max: valore massimo

s: scarto quadratico medio

numero Colpi Punta prova penetrometrica dinamica (avanzamento  $\delta$  = 30 cm.) Rpd: resistenza dinamica alla punta (kg/cm²) Coefficiente correlazione con prova SPT (valore teorico  $\beta$ t = 0,99) Nspt: numero colpi prova SPT (avanzamento  $\delta$  = 30 cm.)

### Nspt - PARAMETRI GEOTECNICI

n°	Prof.(m)	LITOLOGIA	Nspt	NATURA GRANULARE					NATURA COESIVA			
				DR	ø'	E'	Ysat	Yd	Cu	Ysat	W	е
1 2 3 4 5 6	0.00 0.90 0.90 3.90 3.90 4.50 4.50 6.30 6.30 6.90 6.90 9.00	Riporto Limi sabbiosi Sabbie limose Sabbie e ghiaie Sabbie e ghiaie	10 5 16 36 21 39	35.0 18.3 44.0 71.0 51.5 74.0	30.0 28.0 31.8 37.5 33.3 38.3	268 230 315 469 353 492	1.93 1.88 1.97 2.08 2.00 2.10	1.50 1.41 1.55 1.74 1.60 1.76	0.63 0.31 1.00 2.25 1.31 2.44	1.90 1.83 1.97 2.21 2.03 2.25	33 39 28 15 24 13	0.892 1.061 0.750 0.401 0.648 0.360

Nspt: numero di colpi prova SPT (avanzamento  $\delta$  = 30 cm )

E' (kg/cm²) = modulo di deformazione drenato W% = contenuto d'acqua Ysat, Yd (t/m³) = peso di volume saturo e secco (rispettivamente) del terreno

Via XX Settembre, 73 28041 Arona (NO)

#### PROVA PENETROMETRICA DINAMICA TABELLE VALORI DI RESISTENZA

n° 7

- indagine :

Caleffi S.p.A.

- data :

04/11/2005

Riferimento: 27-05

- cantiere : - note :

Ampliamento stabilimento Maggiate

- quota inizio: - prof. falda :

p.c. 1,30 m da quota inizio

- pagina :

							P9.			
Pro	f.(m)	N(colpi p)	Rpd(kg/cm²)	N(colpi r)	asta	Prof.(m)	N(colpi p)	Rpd(kg/cm²)	N(colpi r)	asta
0,00 -	0,30	12	84,8		1	4,50 - 4,80	) 18	90,4		6
0,30 -	0,60	25	176,7		1	4,80 - 5,10	) 19	95,5		6
0,60 -	0,90	15	98,0		2	5,10 - 5,40	18	85,5		7
0,90 -	1,20	5	32,7		2	5,40 - 5,70	21	99,7		7
1,20 -	1,50	7	45,8		2	5,70 - 6,00	28	133,0		7
1,50 -	1,80	3	18,2		3	6,00 - 6,30	15	67,6		8
1,80 -	2,10	2	12,2		3	6,30 - 6,60		49,5		8
2,10 -	2,40	3	18,2		3	6,60 - 6,90		45,0		8
2,40 -	2,70	3	17,0		4	6,90 - 7,20		55,7		9
2,70 -	3,00	2	11,4	W#==	4	7,20 - 7,50		72,8		9
3,00 -	3,30	3	17,0		4	7,50 - 7,80		51,4		9
3,30 -	3,60	7	37,3		5	7,80 - 8,10		49,0		10
3,60 -	3,90	7	37,3		5	8,10 - 8,40		77,5		10
3,90 -	4,20	15	80,0		5	8,40 - 8,70		285,6		10
4,20 -	4,50	15	75,4	-	6	_, 0,		200,0		10

<sup>-</sup> PENETROMETRO DINAMICO tipo : TG 63-100

<sup>-</sup> M (massa battente)= **63,50** kg - H (altezza caduta)= **0,75** m - A (area punta)= **20,43** cm<sup>2</sup> - D(diam. punta)= **51,00 mm** - Numero Colpi Punta N = N(**30**) [ $\delta$  = 30 cm] - Uso rivestimento / fanghi iniezione: **NO** 

#### PROVA PENETROMETRICA DINAMICA DIAGRAMMA NUMERO COLPI PUNTA - Rpd

n° 7

Scala 1: 50 - indagine : Caleffi S.p.A.

04/11/2005 - cantiere : Ampliamento stabilimento - quota inizio :

- località Maggiate - prof. falda : 1,30 m da quota inizio N = N(30) numero di colpi penetrazione punta - avanzamento  $\delta$  = 30 Rpd (kg/cm²) 14 28 35 49 <sup>1000</sup> m 63 70 10 100 m 1 Falda:1,30m 2 3 4 5 6 8 8 9 9 10 10

- PENETROMETRO DINAMICO tipo: TG 63-100

- M (massa battente)= **63,50** kg - H (altezza caduta)= **0,75** m - A (area punta)= **20,43** cm<sup>2</sup> - D(diam. punta)= **51,00** mm - Numero Colpi Punta N = N(**30**) [ $\delta$  = 30 cm] - Uso rivestimento / fanghi iniezione : **NO** 

n° 7

- indagine :

- note :

Caleffi S.p.A.

- cantiere :

località

Ampliamento stabilimento

Maggiate

- data :

04/11/2005

Riferimento: 27-05

- quota inizio :

p.c.

- prof. falda:

1,30 m da quota inizio

- pagina :

۱°	Profon	dità (m)	PARAMETRO		ELA	BORA	ZIONE STA	ATIST	TCA		VCA	β	Nsp
				M	min	Max	½(M+min)	s	M-s	M+s			
1	0,00	0,90	N Rpd	17,3 119,9	12 85	25 177	14,7 102,3				17 118	1,30	22
2	0,90	3,30	<b>N</b> Rpd	3,5 21,6	2 11	7 46	2,8 16,5	1,7 11,7	1,8 9,8	5,2 33,3	4 25	1,30	5
3	3,30	5,40	N Rpd	14,1 71,6	7 37	19 96	10,6 54,5	5,1 24,3	9,0 47,3	19,3 96,0	14 71	1,30	18
4	5,40	6,00	N Rpd	24,5 116,4	21 100	28 133	22,8 108,1				24 114	1,30	31
5	6,00	8,10	N Rpd	12,9 55,8	10 45	17 73	11,4 50,4	2,4 10,4	10,4 45,5	15,3 66,2	13 56	1,30	17
6	8,10	8,70	N Rpd	44,5 181,6	19 78	70 286	31,8 129,6				44 180	1,30	57

M: valore medio

min: valore minimo

Max: valore massimo

s: scarto quadratico medio

numero Colpi Punta prova penetrometrica dinamica (avanzamento  $\beta$  = 30 cm ) Coefficiente correlazione con prova SPT (valore teorico  $\beta$ t = 0,99) Nspt: numero

Rpd: resistenza dinamica alla punta (kg/cm²) Nspt: numero colpi prova SPT (avanzamento  $\delta = 30$  cm)

#### Nspt - PARAMETRI GEOTECNICI

n°	Prof.(m)	LITOLOGIA	Nspt	N	NATUR	RA GR	ANULA	RE	N/	ATURA	COE	SIVA
	1 0.00 0.90			DR	ø'	E'	Ysat	Yd	Cu	Ysat	W	е
1 2 3 4 5 6	0.00 0.90 0.90 3.30 3.30 5.40 5.40 6.00 6.00 8.10 8.10 8.70	Riporto Limi sabbiosi Sabbie limose Sabbie Sabbie limose Sabbie e ghaie	22 5 18 31 17 57	53.0 18.3 47.0 66.0 45.5 87.6	33.6 28.0 32.4 36.3 32.1 42.1	361 230 330 430 322 631	2.00 1.88 1.98 2.06 1.97 2.17	1.61 1.41 1.57 1.70 1.56 1.87	1.38 0.31 1.13 1.94 1.06 3.56	2.04 1.83 2.00 2.15 1.98 2.47	23 39 26 18 27 06	0.628 1.061 0.708 0.474 0.729 0.158

Nspt: numero di colpi prova SPT (avanzamento  $\delta$  = 30 cm )

DR % = densità relativa  $\mathscr{O}'$  (°) = angolo di attrito efficace e (-) = indice dei vuoti Cu (kg/cm²) = coesione non drenata

E' (kg/cm²) = modulo di deformazione drenato W% = contenuto d'acqua Ysat, Yd (t/m³) = peso di volume saturo e secco (rispettivamente) del terreno Via XX Settembre, 73 28041 Arona (NO)

#### PROVA PENETROMETRICA DINAMICA TABELLE VALORI DI RESISTENZA

n°8

- indagine : - cantiere : - località :

Caleffi S.p.A. Ampliamento stabilimento Maggiate

- data :

04/11/2005

Riferimento: 27-05

- quota inizio:

1,10 m da quota inizio

- prof. falda: - pagina :

- note :	· Wag	giate					- pror. - pagir		o m da quo	la mizic
Prof.(m)	N(colpi p)	Rpd(kg/cm²)	N(colpi r)	asta	Prof	.(m)	N(colpi p)	Rpd(kg/cm²)	N(colpi r)	asta
0,00 - 0,30 0,30 - 0,60 0,60 - 0,90 0,90 - 1,20 1,20 - 1,50 1,50 - 1,80 1,80 - 2,10 2,10 - 2,40 2,40 - 2,70 2,70 - 3,00 3,00 - 3,30 3,30 - 3,60 3,60 - 3,90 3,90 - 4,20	3 10 26 15 6 4 2 3 2 3 11 19 15 16	21,2 70,7 169,9 98,0 39,2 24,3 12,2 18,2 11,4 17,0 62,5 101,3 80,0 85,3		1 1 2 2 2 3 3 3 4 4 4 5 5 5 5 5	4,80 - 5,10 - 5,40 - 5,70 - 6,00 - 6,30 - 6,60 - 7,20 - 7,50 - 7,80 - 8,10 - 8,40 - 8,70 -	5,10 5,40 5,70 6,00 6,30 6,60 7,20 7,50 7,80 8,10 8,40 8,70	14 21 22 14 12 9 11 18 23 24 24 24 28 33 40	70,3 99,7 104,5 66,5 54,0 40,5 49,5 77,1 98,5 102,8 97,9 114,3 134,7 155,9	     	6 7 7 7 8 8 8 8 9 9 9 10 10 10
4,20 - 4,50 4,50 - 4,80	17 18	85,4 90,4		6 6	9,00 -	9,30	33	128,6		11

<sup>-</sup> PENETROMETRO DINAMICO tipo : TG 63-100

<sup>-</sup> M (massa battente)= 63,50 kg - H (altezza caduta)= 0,75 m - A (area punta)= 20,43 cm $^2$  - D(diam. punta)= 51,00 mm - Numero Colpi Punta N = N(30) [  $\delta$  = 30 cm ] - Uso rivestimento / fanghi iniezione : NO

#### PROVA PENETROMETRICA DINAMICA DIAGRAMMA NUMERO COLPI PUNTA - Rpd

n°8

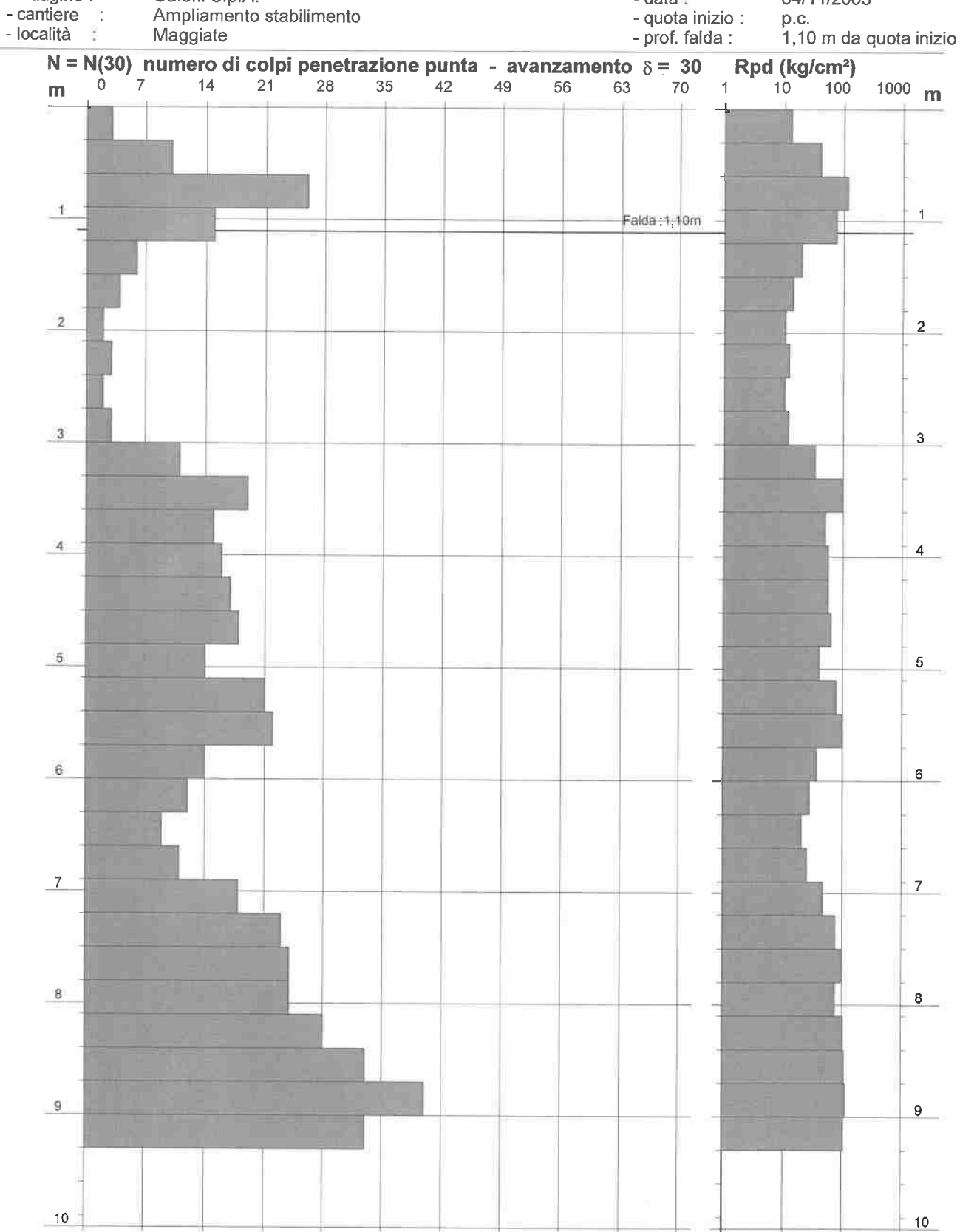
- indagine :

Caleffi S.p.A.

Ampliamento stabilimento

Scala 1: 50

04/11/2005 - quota inizio :



- PENETROMETRO DINAMICO tipo : TG 63-100

- M (massa battente)= 63,50 kg - H (altezza caduta)= 0,75 m - A (area punta)= 20,43 cm $^2$  - D(diam. punta)= 51,00 mm - Numero Colpi Punta N = N(30) [ $\delta$  = 30 cm] - Uso rivestimento / fanghi iniezione : NO

n°8

- indagine :

- note :

Caleffi S.p.A.

- cantiere : - località :

Ampliamento stabilimento

Maggiate

- data :

04/11/2005

Riferimento: 27-05

- quota inizio :

p.c.

- prof. falda : - pagina :

1,10 m da quota inizio

า°	Profon	dità (m)	PARAMETRO		ELA	BORA	ZIONE ST	ATIST	ICA		VCA	β	Nspt
				M	min	Max	½(M+min)	s	M-s	M+s			
1	0,00	1,20	N Rpd	13,5 90,0	3 21	26 170	8,3 55,6				14 93	1,30	18
2	1,20	3,00	N Rpd	3,3 20,4	2 11	6 39	2,7 15,9	1,5 10,3	1,8 10,0	4,8 30,7	3 19	1,30	4
3	3,00	5,10	N Rpd	15,7 82,2	11 63	19 101	13,4 72,3	2,7 12,8	13,0 69,4	18,4 95,0	16 84	1,30	21
4	5,10	5,70	N Rpd	21,5 102,1	21 100	22 105	21,3 100,9				22 105	1,30	29
5	5,70	7,20	N Rpd	12,8 57,5	9 41	18 77	10,9 49,0				13 58	1,30	17
6	7,20	9,30	N Rpd	29,3 118,9	23 98	40 156	26,1 108,4	6,3 21,8	23,0 97,1	35,6 140,7	29 118	1,30	38

valore medio

min: valore minimo

Max: valore massimo

s: scarto quadratico medio

numero Colpi Punta prova penetrometrica dinamica (avanzamento  $\delta$  = 30 cm ) Rpd: resistenza dinamica alla punta (kg/cm²) Coefficiente correlazione con prova SPT (valore teorico  $\beta$ t = 0,99) Nspt: numero colpi prova SPT (avanzamento  $\delta$  = 30 cm )

#### Nspt - PARAMETRI GEOTECNICI

n°	Prof.(m)	LITOLOGIA	Nspt	١	IATUR	RA GRA	ANULA	RE	N/	ATURA	COES	SIVA
				DR	ø'	E'	Ysat	Yd	Cu	Ysat	W	е
1 2 3 4 5 6	0.00 1.20 1.20 3.00 3.00 5.10 5.10 5.70 5.70 7.20 7.20 9.30	Riporto Limi sabbiosi Sabbie limose Sabbie Sabbie limose Sabbie e ghiaie	18 4 21 29 17 38	47.0 15.0 51.5 63.5 45.5 73.0	32.4 27.6 33.3 35.7 32.1 38.0	330 222 353 415 322 484	1.98 1.87 2.00 2.05 1.97 2.09	1.57 1.39 1.60 1.68 1.56 1.75	1.13 0.25 1.31 1.81 1.06 2.38	2.00 1.80 2.03 2.13 1.98 2.24	26 42 24 19 27 14	0.708 1.125 0.648 0.506 0.729 0.373

Nspt: numero di colpi prova SPT (avanzamento  $\delta$  = 30 cm )

DR % = densità relativa  $\varnothing'$  (°) = angolo di attrito efficace e (-) = indice dei vuoti Cu (kg/cm²) = coesione non drenata

E' (kg/cm²) = modulo di deformazione drenato W% = contenuto d'acqua Ysat, Yd (t/m³) = peso di volume saturo e secco (rispettivamente) del terreno

#### PROVA PENETROMETRICA DINAMICA TABELLE VALORI DI RESISTENZA

n°9

Riferimento: 27-05

- indagine : Caleffi S.p.A. - data : 04/11/2005 - cantiere : Ampliamento stabilimento - quota inizio : p.c.

- località : Maggiate - prof. falda : 2,80 m da quota inizio - note :

- pagina : Prof.(m) N(colpi p) Rpd(kg/cm²) N(colpi r) asta Prof.(m) N(colpi p) Rpd(kg/cm²) N(colpi r) asta 0,00 - 0,30 0,30 - 0,60 4 28,3 5,10 - 5,40 19.0 15 106.0 1 5,40 - 5,70 5 7 23,7 0.60 - 0.90 19 124,2 2 5.70 - 6.00 18 85.5 7 0,90 - 1,20 17 6,00 - 6,30 111,1 2 8 36.0 8 1,20 - 1,50 8 52,3 6,30 - 6,60 6 27,0 8 1,50 - 1,80 1,80 - 2,10 7 42.6 3 6,60 - 6,90 9 40,5 6,90 - 7,20 7,20 - 7,50 6 36,5 3 9 38,5 9 2.10 - 2.40 46 279,6 3 7 30,0 9 2,40 - 2,70 8 45.5 7.50 - 7.80 4 26 111,3 9 2,70 - 3,00 7 39,8 4 7,80 - 8,10 23 93.9 10 3,00 -3,30 10 56.8 4 8,10 - 8,40 19 77,5 10 3,30 - 3,60 8,40 - 8,70 8 42,7 5 24 97,9 10 3.60 - 3.90 5 8,70 - 9,00 11 58.7 29 113,0 11 3,90 - 4,20 22 117,3 5 9.00 - 9.30 26 101,3 11 4,20 - 4,50 4,50 - 4,80 39 6 196,0 9,30 - 9,60 27 105,2 11 9,60 - 9,90 9,90 - 10,20 100,7 33 165.8 6 27 12 4,80 - 5,10 49 246,2 17 63.4 12

<sup>-</sup> PENETROMETRO DINAMICO tipo: TG 63-100

<sup>-</sup> M (massa battente)= 63,50 kg - H (altezza caduta)= 0,75 m - A (area punta)= 20,43 cm² - D(diam. punta)= 51,00 mm

<sup>-</sup> Numero Colpi Punta N = N(30) [8 = 30 cm]

#### PROVA PENETROMETRICA DINAMICA DIAGRAMMA NUMERO COLPI PUNTA - Rpd

n°9

- indagine :

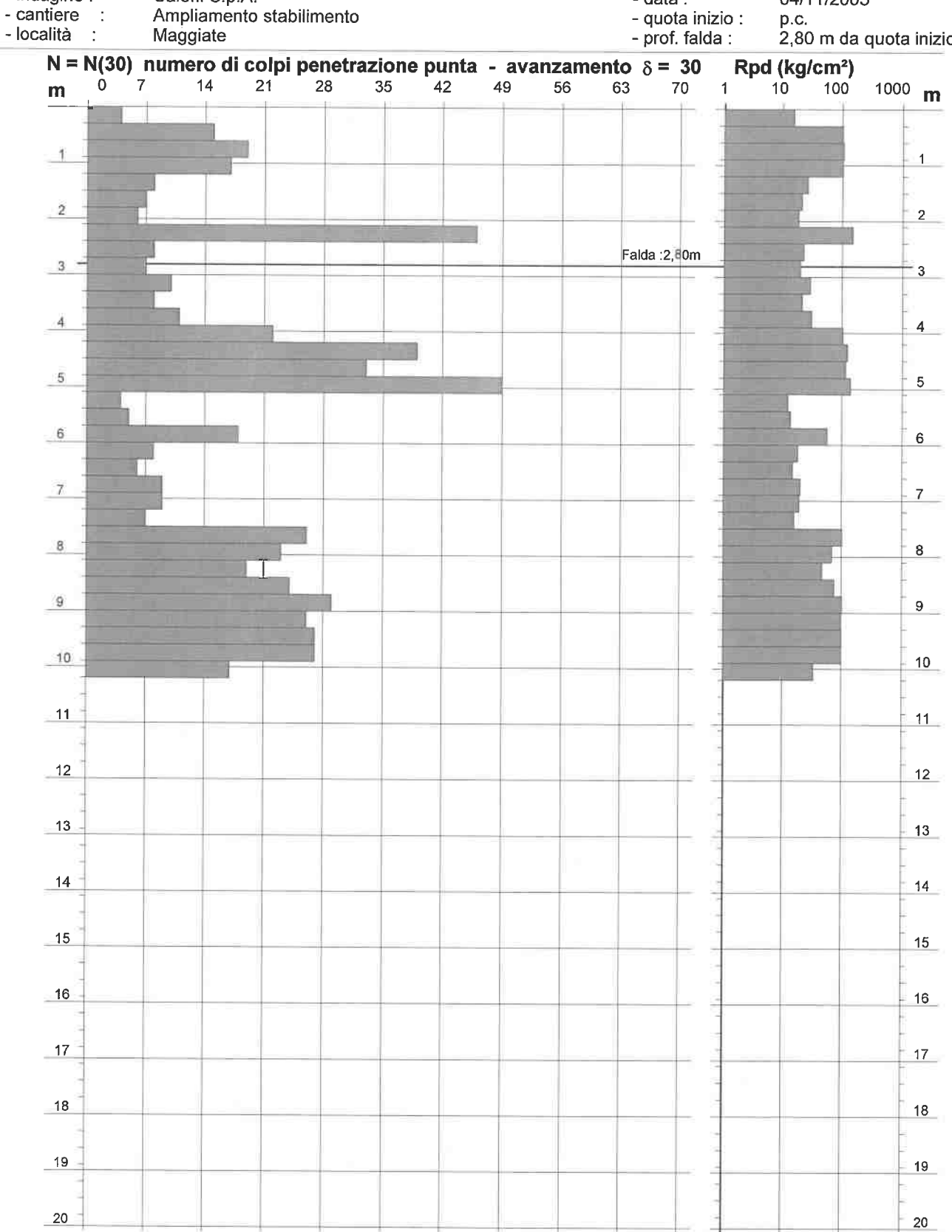
Caleffi S.p.A.

Ampliamento stabilimento

Scala 1: 100

04/11/2005 - quota inizio : p.c.

- prof. falda : 2,80 m da quota inizio



<sup>-</sup> PENETROMETRO DINAMICO tipo : TG 63-100

<sup>-</sup> M (massa battente)= **63,50** kg - H (altezza caduta)= **0,75** m - A (area punta)= **20,43** cm<sup>2</sup> - D(diam. punta)= **51,00** mm - Numero Colpi Punta N = N(30) [ $\delta$  = 30 cm] - Uso rivestimento / fanghi iniezione : **NO** 

n°9

- indagine :

Caleffi S.p.A.

- cantiere :

Ampliamento stabilimento

- località : - note :

Maggiate

- data :

04/11/2005

Riferimento: 27-05

- quota inizio:

- pagina:

- prof. falda :

2,80 m da quota inizio

n°	Profondità (m	) PARAMETRO		ELA	BORA	ZIONE ST	ATIST	TCA		VCA	β	Nspt
			М	min	Max	½(M+min)	s	M-s	M+s			
1	0,00 2,40	N Rpd	15,3 97,6	4 28	46 280	9,6 62,9	13,6 82,6	1,6 15,0	28,9 180,1	15 96	1,30	20
2	2,40 3,90	N Rpd	8,8 48,7	7 40	11 . 59	7,9 44,2				9 50	1,30	12
3	3,90 5,10	N Rpd	35,8 181,3	22 117	49 246	28,9 149,3				36 182	1,30	47
4	5,10 7,50	N Rpd	8,3 37,5	4 19	18 86	6,1 28,3	4,3 20,7	3,9 16,8	12,6 58,3	8 36	1,30	10
5	7,50 10,20	N Rpd	24,2 96,0	17 63	29 113	20,6 79,7	4,0 16,1	20,3 79,9	28,2 112,1	24 95	1,30	31

M: valore medio

min: valore minimo

Max: valore massimo

s: scarto quadratico medio

N: numero Colpi Punta prova penetrometrica dinamica (avanzamento 8 = 30 cm) Coefficiente correlazione con prova SPT (valore teorico  $\beta t = 0.99$ )

= 30 cm ) Rpd: resistenza dinamica alla punta (kg/cm²) Nspt: numero colpi prova SPT (avanzamento  $\delta$  = 30 cm)

### Nspt - PARAMETRI GEOTECNICI

n°	Prof.(m)	LITOLOGIA		١	NATUF	RA GR	ANULA	ARE	NA	TURA	COE	SIVA
				DR	ø'	E'	Ysat	Yd	Cu	Ysat	W	е
1 2 3 4 5	0.00 2.40 2.40 3.90 3.90 5.10 5.10 7.50 7.50 10.20	Riporto Sabbie ghiaiose sciolte Sabbie e ghiaie Sabbie limose Sabbie	20 12 47 10 31	50.0 38.0 82.0 35.0 66.0	33.0 30.6 40.3 30.0 36.3	346 284 554 268 430	1.99 1.94 2.14 1.93 2.06	1.59 1.52 1.82 1.50 1.70	1.25 0.75 2.94 0.63 1.94	2.02 1.92 2.35 1.90 2.15	25 31 10 33 18	0.667 0.842 0.262 0.892 0.474

Nspt: numero di colpi prova SPT (avanzamento  $\delta$  = 30 cm )

DR % = densità relativa ø' (°) = angolo di attrito efficace e (-) = indice dei vuoti Cu (kg/cm²) = coesione non drenata

E' (kg/cm²) = modulo di deformazione drenato W% = contenuto d'acqua Ysat, Yd (t/m³) = peso di volume saturo e secco (rispettivamente) del terreno 28041 Arona (NO)

#### PROVA PENETROMETRICA DINAMICA TABELLE VALORI DI RESISTENZA

n° 10

- indagine :

- note ;

Caleffi S.p.A.

- cantiere :

Maggiate

Ampliamento stabilimento

- data :

04/11/2005

Riferimento: 27-05

- quota inizio :

- prof. falda: 3,00 m da quota inizio

pag	

								pag.			
Pro	of.(m)	N(colpi p)	Rpd(kg/cm²)	N(colpi r)	asta	Prof	.(m)	N(colpi p)	Rpd(kg/cm²)	N(colpi r)	asta
0.00 -	0.30	2	14,1		1	5,10 -	5,40	16	76.0		7
0,30 -	0,60	9	63,6		1			16	76,0		<u>′</u>
	,				<u> </u>	5,40 -	5,70	15	71,2		1
0,60 -	0,90	13	85,0		2	5,70 -	6,00	28	133,0		7
0,90 -	1,20	9	58,8		2	6,00 -	6,30	20	90,1		8
1,20 -	1,50	8	52,3		2	6,30 -	6,60	18	81,1		8
1,50 -	1,80	5	30,4		3	6,60 -	6,90	20	90,1		8
1,80 -	2,10	8	48,6		3	6,90 -	7.20	24	102,8		9
2,10 -	2,40	10	60,8		3	7.20 -	7.50	17	72,8		9
2,40 -	2,70	4	22,7		4	7,50 -	7.80	21	89,9		9
2,70 -	3,00	3	17,0		4	7.80 -	8,10	21	85,7		10
3,00 -	3,30	6	34,1		4	8,10 -	8.40	20	81,6		10
3,30 -	3,60	6	32,0		5	8,40 -	8,70	21	85,7		10
3,60 -	3,90	5	26,7		5	8.70 -	9,00	29	113,0		11
3,90 -	4,20	19	101,3		5	9.00 -	9.30	34	132.5		11
4,20 -	4,50	15	75,4		6	9,30 -	9,60	46	179.3		11
4,50 -	4,80	16	80,4		6	9.60 -	9,90	51	190,2		12
4,80 -	5,10	25	125,6		6	-,	-,	- 1	,2		

<sup>-</sup> PENETROMETRO DINAMICO tipo : TG 63-100

<sup>-</sup> M (massa battente)= **63,50** kg - H (altezza caduta)= **0,75** m - A (area punta)= **20,43** cm<sup>2</sup> - D(diam. punta)= **51,00 mm** - Numero Colpi Punta N = N(**30**) [ $\delta$  = 30 cm] - Uso rivestimento / fanghi iniezione : **NO** 

<sup>-</sup> Uso rivestimento / fanghi iniezione : NO

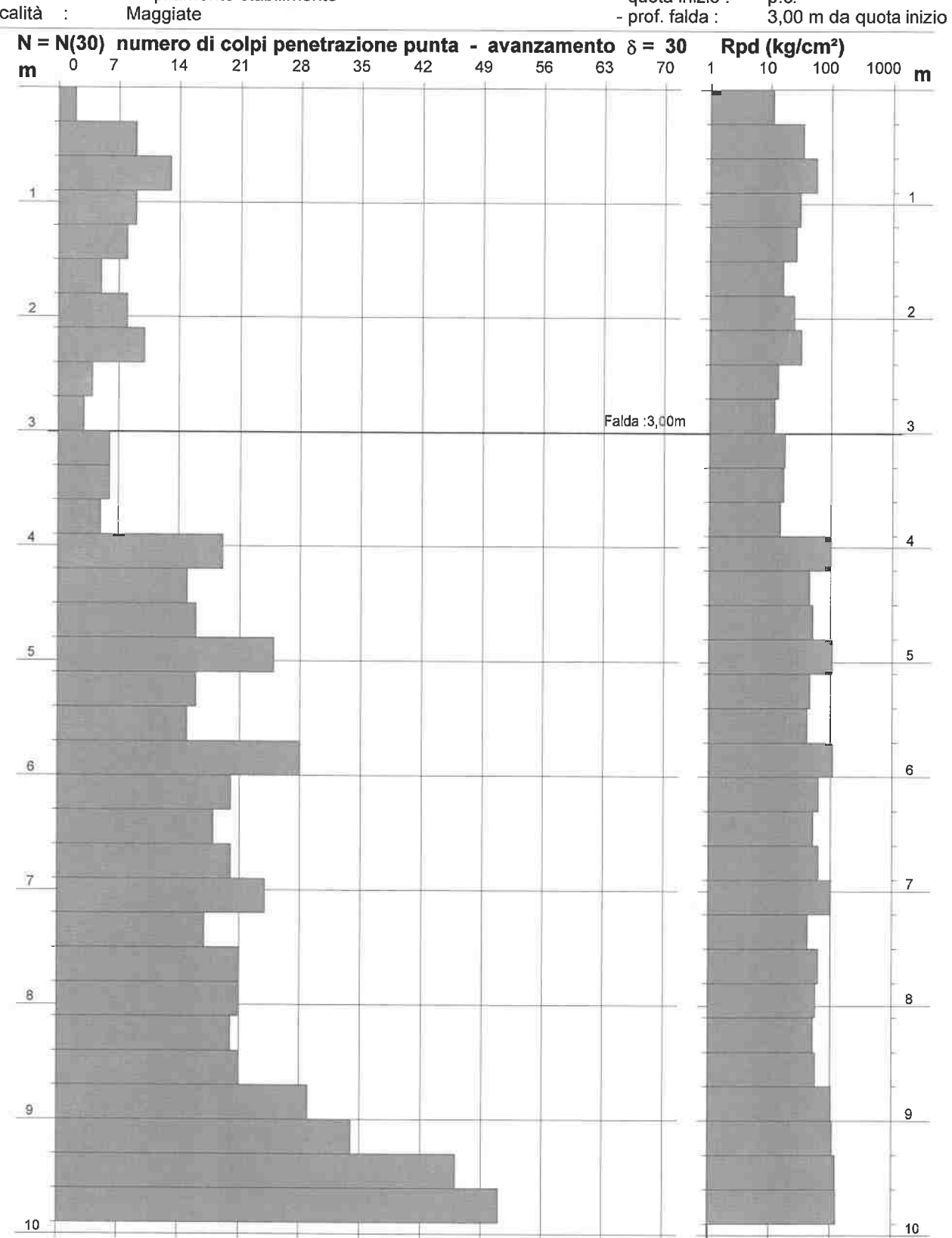
PROVA PENETROMETRICA DINAMICA DIAGRAMMA NUMERO COLPI PUNTA - Rpd Riferimento: 27-05

n° 10

Scala 1: 50

- indagine : Caleffi S.p.A. 04/11/2005 - cantiere : Ampliamento stabilimento

- quota inizio: p.c. - località :



- PENETROMETRO DINAMICO tipo: TG 63-100

- M (massa battente)= **63,50** kg - H (altezza caduta)= **0,75** m - A (area punta)= **20,43** cm<sup>2</sup> - D(diam. punta)= **51,00 mm** - Numero Colpi Punta N = N(**30**) [ $\delta$  = 30 cm] - Uso rivestimento / fanghi iniezione : **NO** 

n° 10

- indagine :

- note :

Caleffi S.p.A.

- cantiere :

Ampliamento stabilimento

Maggiate

- data :

04/11/2005

Riferimento: 27-05

- quota inizio :

p.c.

- prof. falda : 3,00 m da quota inizio

- pagina :

n°	Profondità (m)	PARAMETRO		ELA	BORA	ZIONE ST	ATIST	ICA		VCA	β	Nspt
			M min Max ½(M+min) s M-s M+s									
1	0,00 5,70	<b>N</b> Rpd	10,2 56,6	2 14	25 126	6,1 35,4	6,1 30,2	4,1 26,4	16,3 86,9	10 56	1,30	13
2	5,70 9,90	N Rpd	26,4 109,1	17 73	51 190	21,7 91,0	10,5 36,9	15,9 72,2	36,9 146,1	26 107	1,30	34

M: valore medio

min: valore minimo

Max: valore massimo

s: scarto quadratico medio

N: numero Colpi Punta prova penetrometrica dinamica (avanzamento  $\delta$  = 30 cm ) = 30 cm ) Rpd: resistenza dinamica alla punta (kg/cm²) Nspt: numero colpi prova SPT (avanzamento <sub>8</sub> = 30 cm ) Coefficiente correlazione con prova SPT (valore teorico  $\beta t = 0.99$ )

#### Nspt - PARAMETRI GEOTECNICI

n°	Prof.(m)	LITOLOGIA	Nspt	١	NATUF	RA GR	ANULA	RE	NA	TURA	COES	SIVA
				DR	ø'	E'	Ysat	Yd	Cu	Ysat	W	е
1 2	0.00 5.70 5.70 9.90	Sabbie limose Sabbie e ghiaie	13 34	39.5 69.0	30.9 37.0	292 453	1.95 2.07	1.53 1.72	0.81 2.13	1.93 2.19	30 16	0.818 0.429

Nspt: numero di colpi prova SPT (avanzamento  $\delta$  = 30 cm )

DR % = densità relativa ø' (°) = angolo di attrito efficace e (-) = indice dei vuoti Cu (kg/cm²) = coesione non drenata

E' (kg/cm²) = modulo di deformazione drenato W% = contenuto d'acqua Ysat, Yd (t/m³) = peso di volume saturo e secco (rispettivamente) del terreno

#### PROVA PENETROMETRICA DINAMICA TABELLE VALORI DI RESISTENZA

n° 11

- indagine : - cantiere : Caleffi S.p.A.

Ampliamento stabilimento

Maggiate

- data :

04/11/2005

Riferimento: 27-05

- quota inizio :

p.c.

- prof. falda: 3,00 m da quota inizio

20	In	9			
ag	111	а			

- note	;						- prof. - pagir		o in da quo	14 1111210
Prof.(r	n)	N(colpi p)	Rpd(kg/cm²)	N(colpi r)	asta	Prof.(m)	N(colpi p)	Rpd(kg/cm²)	N(colpi r)	asta
0,00 - 0, 0,30 - 0, 0,60 - 0, 0,90 - 1, 1,20 - 1, 1,50 - 1, 1,80 - 2, 2,10 - 2, 2,40 - 2, 2,70 - 3, 3,00 - 3, 3,30 - 3,	30 60 90 20 50 80 10 40 70 00 30 60	2 11 4 13 14 8 6 4 2 2 3	14,1 77,8 26,1 85,0 91,5 48,6 36,5 24,3 11,4 11,4 17,0 16,0	     	1 1 2 2 2 3 3 3 4 4 4 5	5,10 - 5,40 5,40 - 5,70 5,70 - 6,00 6,00 - 6,30 6,30 - 6,60 6,60 - 6,90 6,90 - 7,20 7,20 - 7,50 7,50 - 7,80 7,80 - 8,10 8,10 - 8,40 8,40 - 8,70	16 8 19 22 9 10 9 11 17 15 19 26	76,0 38,0 90,2 99,1 40,5 45,0 38,5 47,1 72,8 61,2 77,5 106,1		7 7 7 8 8 8 9 9 9 10 10 10
3,60 - 3, 3,90 - 4, 4,20 - 4, 4,50 - 4, 4,80 - 5,	20 50 80	3 6 11 12 19	16,0 32,0 55,3 60,3 95,5		5 6 6 6	8,70 - 9,00 9,00 - 9,30 9,30 - 9,60 9,60 - 9,90 9,90 - 10,20	27 23 36 47 51	105,2 89,6 140,3 175,3 190,2		11 11 11 12 12

<sup>-</sup> PENETROMETRO DINAMICO tipo: TG 63-100

<sup>-</sup> M (massa battente)= **63,50** kg - H (altezza caduta)= **0,75** m - A (area punta)= **20,43** cm<sup>2</sup> - D(diam. punta)= **51,00** mm - Numero Colpi Punta N = N(**30**) [ $\delta$  = 30 cm] - Uso rivestimento / fanghi iniezione : **NO** 

#### PROVA PENETROMETRICA DINAMICA DIAGRAMMA NUMERO COLPI PUNTA - Rpd

n° 11

Riferimento: 27-05

Scala 1: 100

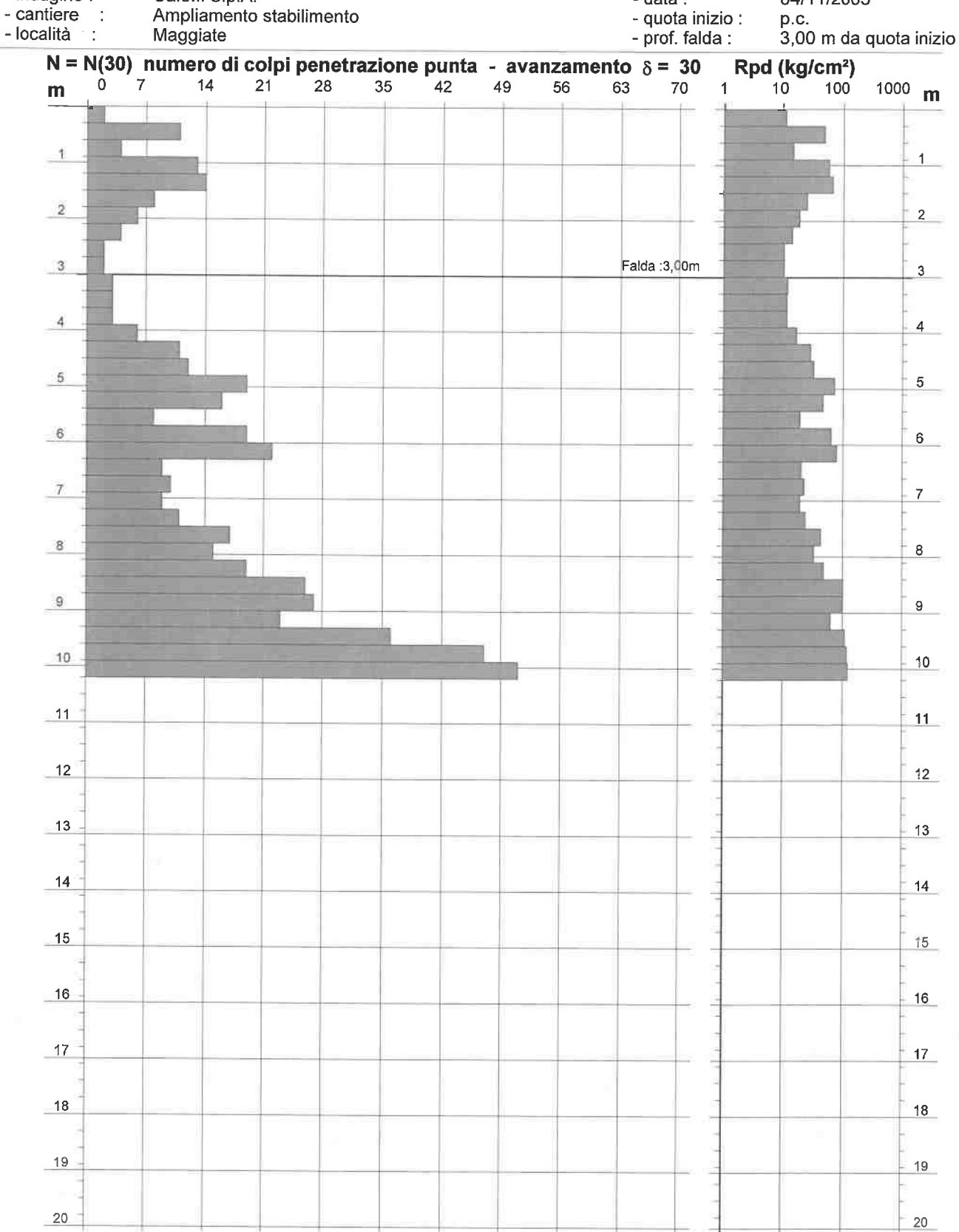
- indagine :

Caleffi S.p.A.

Ampliamento stabilimento

- quota inizio :

04/11/2005



- PENETROMETRO DINAMICO tipo: TG 63-100

- M (massa battente)= **63,50** kg - H (altezza caduta)= **0,75** m - A (area punta)= **20,43** cm<sup>2</sup> - D(diam. punta)= **51,00** mm - Numero Colpi Punta N = N(30) [ $\delta$  = 30 cm] - Uso rivestimento / fanghi iniezione : **NO** 

- Uso rivestimento / fanghi iniezione : NO

n° 11

- indagine :

- note :

Caleffi S.p.A.

- cantiere : - località :

Ampliamento stabilimento

Maggiate

- data :

04/11/2005

Riferimento: 27-05

- quota inizio:

- prof. falda :

3,00 m da quota inizio

- pagina :

n°	Profondità (m)	PARAMETRO		ELA	BORA	ZIONE STA	ATIST	TCA		VCA	β	Nspt
			М	min	Max	½(M+min)	s	M-s	M+s			
1.	0,00 2,10	N Rpd	8,3 54,2	2 14	14 92	5,1 34,2	4,6 30,6	3,7 23,6	12,9 84,9	8 52	1,30	10
2	2,10 4,20	N Rpd	3,3 18,3	2 11	6 32	2,6 14,8	1,4 7,4	1,9 10,9	4,7 25,7	3 17	1,30	4
3	4,20 8,40	N Rpd	14,1 64,1	8 38	22 99	11,0 51,0	4,6 21,4	9,5 42,7	18,7 85,4	14 64	1,30	18
4	8,40 10,20	N Rpd	35,0 134,5	23 90	51 190	29,0 112,1	11,7 41,2	23,3 93,3	46,7 175,7	35 135	1,30	46

M: valore medio

min: valore minimo

Max: valore massimo

s: scarto quadratico medio

N: numero Colpi Punta prova penetrometrica dinamica (avanzamento 8 = 30 cm) Coefficiente correlazione con prova SPT (valore teorico  $\beta t = 0.99$ )

Rpd: resistenza dinamica alla punta (kg/cm²) Nspt: numero colpi prova SPT (avanzamento  $\delta = 30 \text{ cm}$ )

#### Nspt - PARAMETRI GEOTECNICI

n°	Prof.(m)	LITOLOGIA	Nspt	1	NATUF	RA GR	ANULA	RE	N/	TURA	COE	SIVA
				DR	ø'	E'	Ysat	Yd	Cu	Ysat	W	е
1 2 3 4	0.00 2.10 2.10 4.20 4.20 8.40 8.40 10.20	Riporto Sabbie limose sciolte Sabbie limose Sabbie e ghiaie	10 4 18 46	35.0 15.0 47.0 81.0	30.0 27.6 32.4 40.0	268 222 330 546	1.93 1.87 1.98 2.13	1.50 1.39 1.57 1.82	0.63 0.25 1.13 2.88	1.90 1.80 2.00 2.33	33 42 26 10	0.892 1.125 0.708 0.274

Nspt: numero di colpi prova SPT (avanzamento  $\delta$  = 30 cm )

DR % = densità relativa ø' (°) = angolo di attrito efficace e (-) = indice dei vuoti Cu (kg/cm²) = coesione non drenata

E' (kg/cm²) = modulo di deformazione drenato W% = contenuto d'acqua Ysat, Yd (t/m³) = peso di volume saturo e secco (rispettivamente) del terreno

Via XX Settembre, 73 28041 Arona (NO)

#### PROVA PENETROMETRICA DINAMICA TABELLE VALORI DI RESISTENZA

n° 12

- indagine :

Caleffi S.p.A.

- data :

04/11/2005

Riferimento: 27-05

- cantiere :

Ampliamento stabilimento Maggiate

- quota inizio ; - prof. falda:

p.c. 1,50 m da quota inizio

- note :

- pagina :

						P~3	100 1		
Prof.(m)	N(colpi p)	Rpd(kg/cm²)	N(colpi r)	asta	Prof.(m)	N(colpi p)	Rpd(kg/cm²)	N(colpi r)	asta
0,00 - 0,30	3	21,2		1	3,90 - 4,20	23	122,7		5
0,30 - 0,60	36	254,5		1	4,20 - 4,50	31	155,8		6
0,60 - 0,90	35	228,8		2	4,50 - 4,80	36	180,9		6
0,90 - 1,20	15	98,0	******	2	4,80 - 5,10	29	145,7		6
1,20 - 1,50	11	71,9	<u></u>	2	5,10 - 5,40	21	99,7		7
1,50 - 1,80	9	54,7		3	5,40 - 5,70	19	90,2		7
1,80 - 2,10	6	36,5		3	5,70 - 6,00	19	90,2		7
2,10 - 2,40	14	85,1		3	6,00 - 6,30	28	126,1		8
2,40 - 2,70	36	204,5		4	6,30 - 6,60	28	126,1		8
2,70 - 3,00	11	62,5		4	6,60 - 6,90	27	121,6		8
3,00 - 3,30	4	22,7		4	6,90 - 7,20	25	107,0		9
3,30 - 3,60	4	21,3		5	7,20 - 7,50	70	299,7		9
3,60 - 3,90	10	53,3		5	,				~

<sup>-</sup> PENETROMETRO DINAMICO tipo : TG 63-100

<sup>-</sup> M (massa battente)= **63,50** kg - H (altezza caduta)= **0,75** m - A (area punta)= **20,43** cm<sup>2</sup> - D(diam. punta)= **51,00** mm - Numero Colpi Punta N = N(**30**) [ $\delta$  = 30 cm] - Uso rivestimento / fanghi iniezione : **NO** 

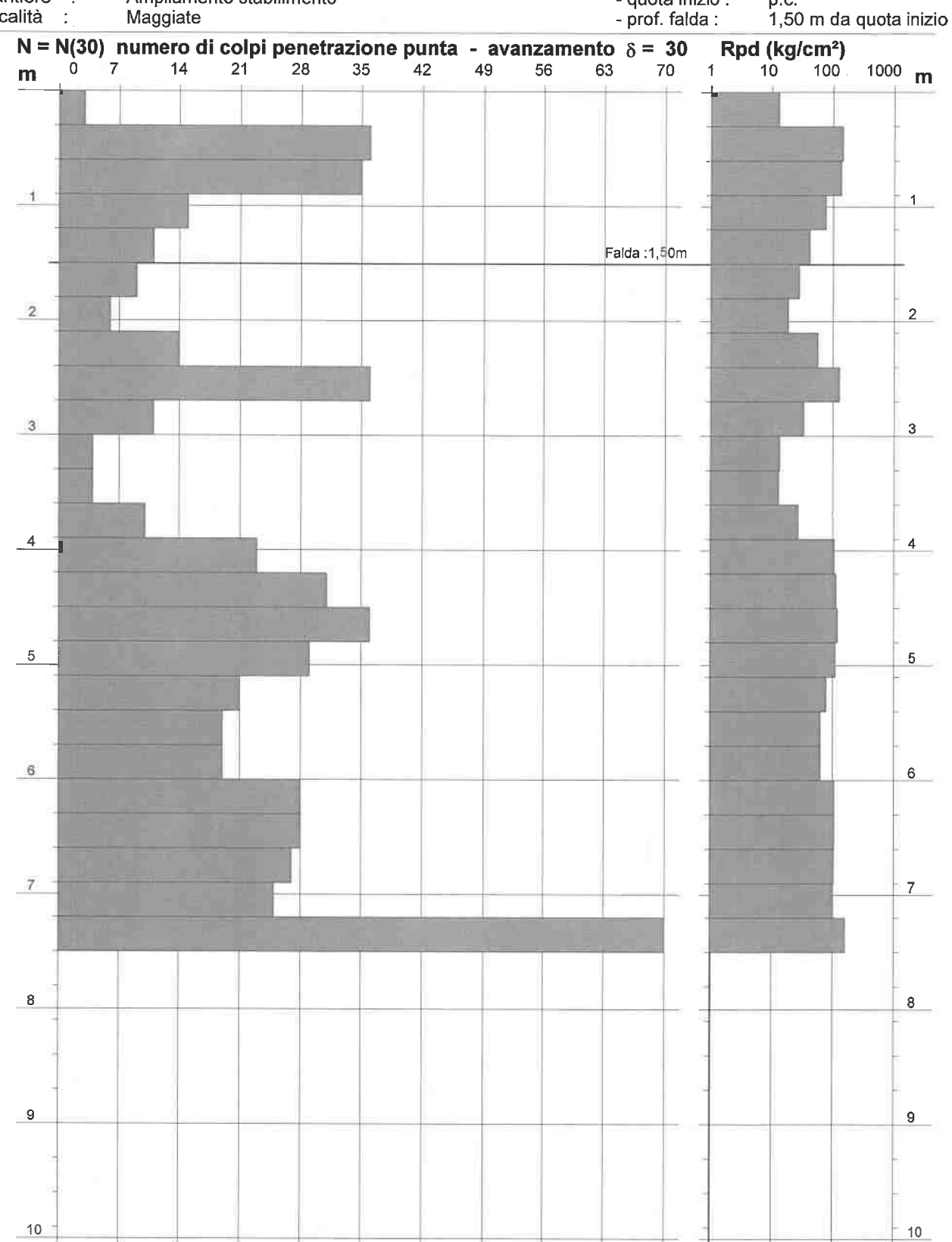
Scala 1: 50

#### PROVA PENETROMETRICA DINAMICA DIAGRAMMA NUMERO COLPI PUNTA - Rpd

n° 12

- indagine : Caleffi S.p.A. 04/11/2005 - cantiere :

Ampliamento stabilimento - quota inizio : - località



- PENETROMETRO DINAMICO tipo : TG 63-100

- M (massa battente)= **63,50** kg - H (altezza caduta)= **0,75** m - A (area punta)= **20,43** cm² - D(diam. punta)= **51,00 mm** - Numero Colpi Punta N = N(**30**) [δ = 30 cm] - Uso rivestimento / fanghi iniezione : **NO** 

n° 12

- indagine :

- note :

Caleffi S.p.A.

- cantiere : - località :

Ampliamento stabilimento

Maggiate

- data :

04/11/2005

Riferimento: 27-05

- quota inizio ;

p.c.

- prof. falda : 1,50 m da quota inizio

- pagina :

n°	Profon	idità (m)	PARAMETRO	METRO ELABORAZIONE STATISTICA VCA β							Nspt		
				M	min	Max	½(M+min)	s	M-s	M+s			
1	0,00	1,50	N Rpd	20,0 134,9	3 21	36 255	11,5 78,0				20 135	1,30	26
2	1,50	2,70	N Rpd	16,3 95,2	6 37	36 205	11,1 65,8				16 93	1,30	21
3	2,70	3,90	N Rpd	7,3 40,0	4 21	11 63	5,6 30,7				7 38	1,30	9
4	3,90	7,50	N Rpd	29,7 138,8	19 90	70 300	24,3 114,5	13,7 57,3	16,0 81,5	43,3 196,1	30 140	1,30	39

M: valore medio

min: valore minimo

Max: valore massimo

s: scarto quadratico medio

numero Colpi Punta prova penetrometrica dinamica (avanzamento  $\delta = 30 \text{ cm}$ ) Coefficiente correlazione con prova SPT (valore teorico  $\beta t = 0.99$ )

= 30 cm ) Rpd: resistenza dinamica alla punta (kg/cm²) Nspt: numero colpi prova SPT (avanzamento  $\delta$  = 30 cm )

### Nspt - PARAMETRI GEOTECNICI

n°	Prof.(m)	LITOLOGIA	Nspt	١	NATUF	RA GR	ANULA	RE	NA	TURA	COES	SIVA
				DR	ø'	E'	Ysat	Yd	Cu	Ysat	W	е
1 2 3 4	0.00 1.50 1.50 2.70 2.70 3.90 3.90 7.50	Riporto Sabbie e ghiaie sciolte Sabbie limose Sabbie e ghiaie	26 21 9 39	59.0 51.5 31.7 74.0	34.8 33.3 29.6 38.3	392 353 261 492	2.03 2.00 1.92 2.10	1.65 1.60 1.48 1.76	1.63 1.31 0.56 2.44	2.09 2.03 1.89 2.25	21 24 34 13	0.556 0.648 0.918 0.360

Nspt: numero di colpi prova SPT (avanzamento  $\delta$  = 30 cm )

DR % = densità relativa ø' (°) = angolo di attrito efficace 

E' (kg/cm²) = modulo di deformazione drenato W% = contenuto d'acqua Ysat, Yd (t/m³) = peso di volume saturo e secco (rispettivamente) del terreno

#### PROVA PENETROMETRICA DINAMICA TABELLE VALORI DI RESISTENZA

n° 13

- indagine :

Caleffi S.p.A.

Ampliamento stabilimento

- data : - quota inizio: 04/11/2005

Riferimento: 27-05

- cantiere : - note :

Maggiate

- prof. falda :

p.c. 2,10 m da quota inizio

- pagina :

								- pagii	ia. 1		
Pro	f.(m)	N(colpi p)	Rpd(kg/cm²)	N(colpi r)	asta	Prof	.(m)	N(colpi p)	Rpd(kg/cm²)	N(colpi r)	asta
0,00 -	0,30	2	14,1		1	3,00 -	3,30	4	22,7		4
0,30 -	0,60	21	148,4		1	3,30 -	3,60	3	16.0		5
0,60 -	0,90	19	124,2		2	3,60 -	3,90	4	21,3		5
0,90 -	1,20	15	98,0		2	3,90 -	4,20	11	58,7		5
,	1,50	14	91,5		2	4,20 -	4,50	16	80,4		6
1,50 -	1,80	18	109,4		3	4,50 -	4,80	23	115,6		6
1,80 -		7	42,6		3	4,80 -	5,10	29	145,7		6
2,10 -		6	36,5		3	5,10 -	5,40	46	218,5		7
2,40 -	2,70	4	22,7		4	5,40 -	5,70	51	242,2		7
2,70 -	3,00	4	22,7		4		•		,		

<sup>-</sup> PENETROMETRO DINAMICO tipo: TG 63-100

<sup>-</sup> M (massa battente)= **63,50** kg - H (altezza caduta)= **0,75** m - A (area punta)= **20,43** cm<sup>2</sup> - D(diam. punta)= **51,00** mm - Numero Colpi Punta N = N(**30**) [ $\delta$  = 30 cm] - Uso rivestimento / fanghi iniezione : **NO** 

#### PROVA PENETROMETRICA DINAMICA DIAGRAMMA NUMERO COLPI PUNTA - Rpd

n° 13

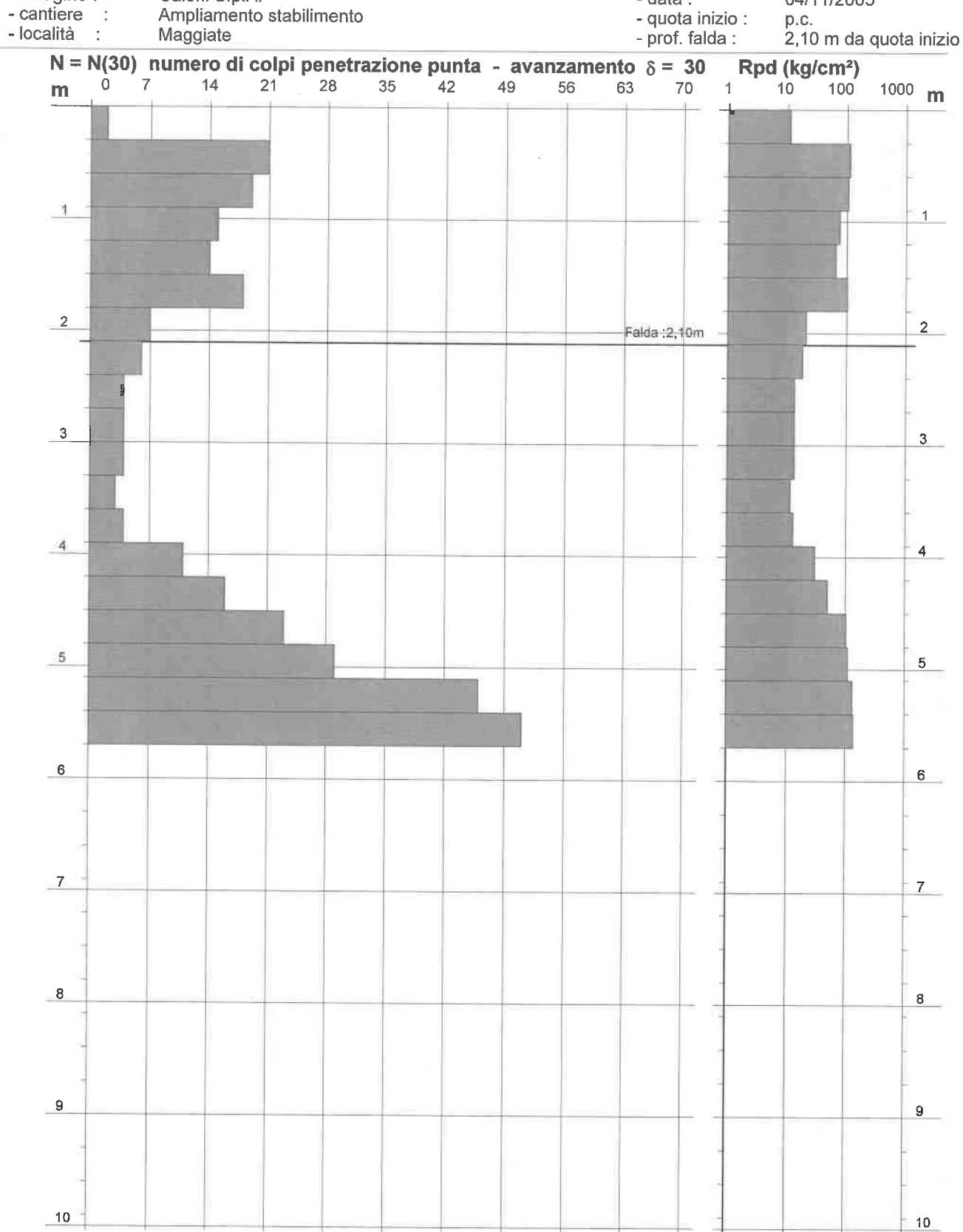
- indagine :

Caleffi S.p.A.

Ampliamento stabilimento

- quota inizio :

Scala 1: 50 04/11/2005



- PENETROMETRO DINAMICO tipo : TG 63-100

- M (massa battente)= **63,50** kg - H (altezza caduta)= **0,75** m - A (area punta)= **20,43** cm<sup>2</sup> - D(diam. punta)= **51,00** mm - Numero Colpi Punta N = N(**30**) [ $\delta$  = 30 cm] - Uso rivestimento / fanghi iniezione : **NO** 

n° 13

- indagine :

Caleffi S.p.A.

- cantiere :

- località : - note :

Maggiate

Ampliamento stabilimento

- data :

04/11/2005

Riferimento: 27-05

- quota inizio:

- prof. falda :

2,10 m da quota inizio

- pagina :

n°	Profond	dità (m)	PARAMETR	0	ELA	BORA	ZIONE ST	ATIST	ICA		VCA	β	Nspt
				M	min	Max	½(M+min)	s	M-s	M+s			
1	0,00	1,80	N Rpd	14,8 97,6		21 148	8,4 55,9	6,8 45,7	8,0 51,9	21,6 143,3	15 99	1,30	20
2	1,80	3,90	N Rpd	4,6 26,4		7 43	3,8 21,2	1,4 9,5	3,2 16,9	6,0 35,8	5 29	1,30	7
3	3,90	4,50	N Rpd	13,5 69,5		16 80	12,3 64,1		the cell dis-		14 72	1,30	18
4	4,50	5,70	N Rpd	37,3 180,5		51 242	30,1 148,0				37 179	1,30	48

M: valore medio

min: valore minimo

Max: valore massimo

s: scarto quadratico medio

N: numero Colpi Punta prova penetrometrica dinamica (avanzamento  $\delta = 30 \text{ cm}$ ) Coefficiente correlazione con prova SPT (valore teorico  $\beta t = 0.99$ )

Rpd: resistenza dinamica alla punta (kg/cm²) Nspt: numero colpi prova SPT (avanzamento 8 = 30 cm)

#### Nspt - PARAMETRI GEOTECNICI

n°	Prof.(m) LITOLOGIA		Nspt	1	NATUF	RA GR	ANULA	RE	N/	TURA	COE	SIVA
				DR	ø'	E'	Ysat	Yd	Cu	Ysat	W	е
1 2 3 4	0.00 1.80 1.80 3.90 3.90 4.50 4.50 5.70	Riporto Sabbie limose sciolte Sabbie limose Sabbie e ghiaie	20 7 18 48	50.0 25.0 47.0 83.0	33.0 28.8 32.4 40.5	346 245 330 561	1.99 1.90 1.98 2.14	1.59 1.45 1.57 1.83	1.25 0.44 1.13 3.00	2.02 1.86 2.00 2.36	25 36 26 09	0.667 0.972 0.708 0.251

Nspt: numero di colpi prova SPT (avanzamento  $\delta$  = 30 cm.)

DR % = densità relativa ø' (°) = angolo di attrito efficace e (-) = indice dei vuoti Cu (kg/cm²) = coesione non drenata

E' (kg/cm²) = modulo di deformazione drenato W% = contenuto d'acqua Ysat, Yd (t/m³) = peso di volume saturo e secco (rispettivamente) del terreno

Via XX Settembre, 73 28041 Arona (NO)

#### PROVA PENETROMETRICA DINAMICA TABELLE VALORI DI RESISTENZA

n° 14

- indagine :

Caleffi S.p.A.

Ampliamento stabilimento

- data : - quota inizio : 04/11/2005

Riferimento: 27-05

- cantiere : - note :

Maggiate

- prof. falda :

p.c. 3,00 m da quota inizio

- pagina :

						P~9			
Prof.(m)	N(colpi p)	Rpd(kg/cm²)	N(colpi r)	asta	Prof.(m)	N(colpi p)	Rpd(kg/cm²)	N(colpi r)	asta
0,00 - 0,30	2	14,1		1	2,10 - 2,40	7	42,6		3
0,30 - 0,60	21	148,4		1	2,40 - 2,70	7	39,8		4
0,60 - 0,90	13	85,0		2	2,70 - 3,00	8	45,5		4
0,90 - 1,20	14	91,5		2	3,00 - 3,30	7	39,8		4
1,20 - 1,50	13	85,0		2	3.30 - 3.60	17	90,7		5
1,50 - 1,80	17	103,3		3	3.60 - 3.90	48	256.0		5
1,80 - 2,10	18	109,4		3	3,90 - 4,20	70	373,3		5

<sup>-</sup> PENETROMETRO DINAMICO tipo : TG 63-100

<sup>-</sup> M (massa battente)= 63,50 kg - H (altezza caduta)= 0,75 m - A (area punta)= 20,43 cm² - D(diam. punta)= 51,00 mm

<sup>-</sup> Numero Colpi Punta N = N(30) [ $\delta = 30$  cm]

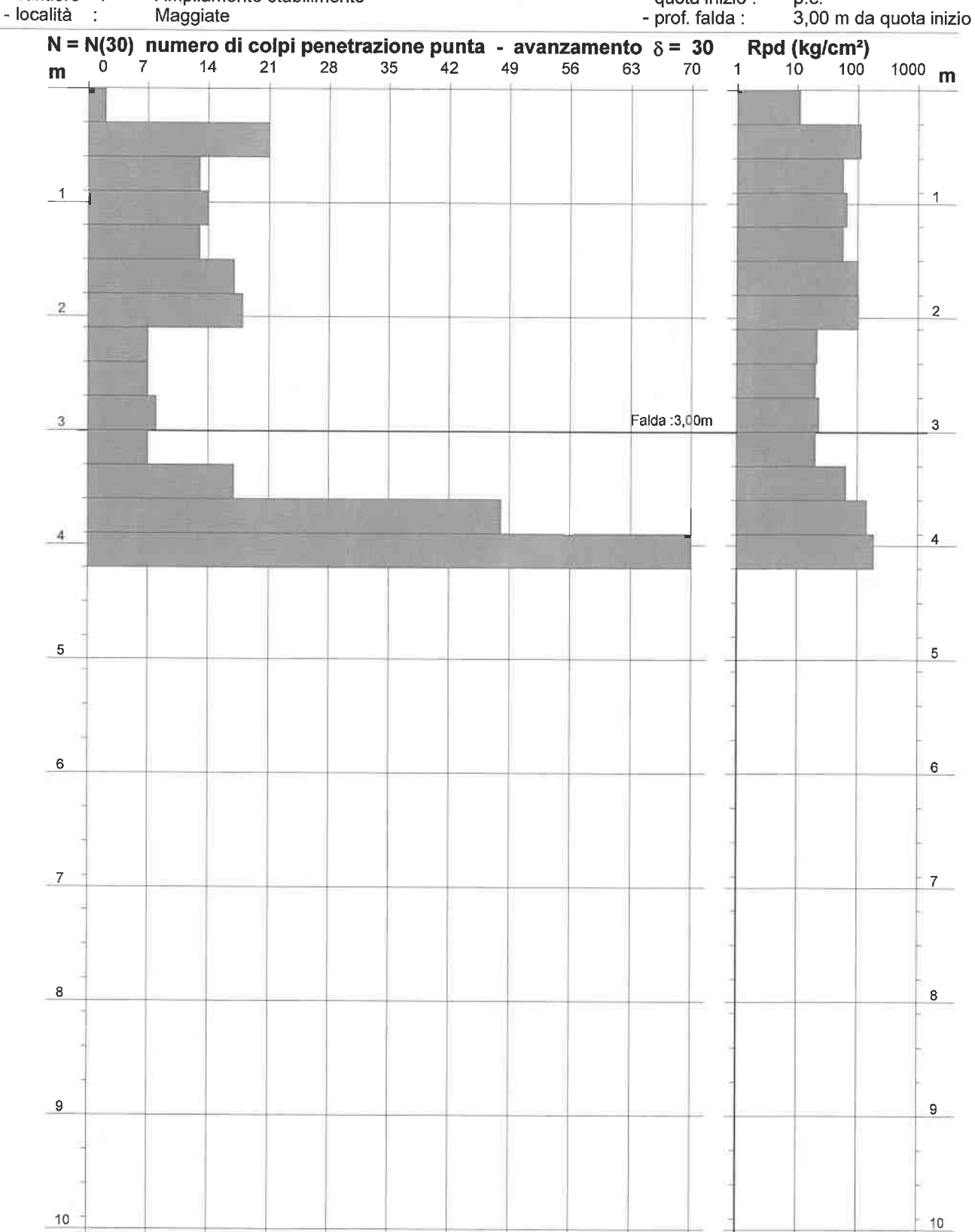
Scala 1: 50

#### PROVA PENETROMETRICA DINAMICA DIAGRAMMA NUMERO COLPI PUNTA - Rpd

n° 14

- indagine : Caleffi S.p.A. 04/11/2005 - data :

Ampliamento stabilimento - cantiere : - quota inizio : p.c.



- PENETROMETRO DINAMICO tipo : TG 63-100

- M (massa battente)= **63,50** kg - H (altezza caduta)= **0,75** m - A (area punta)= **20,43** cm² - D(diam. punta)= **51,00** mm

- Numero Colpi Punta N = N(30) [ $\delta$  = 30 cm]

- Uso rivestimento / fanghi iniezione : NO

n° 14

- indagine :

- note :

Caleffi S.p.A.

- cantiere :

Ampliamento stabilimento

- località :

Maggiate

- data :

04/11/2005

Riferimento: 27-05

- quota inizio :

p.c.

- prof. falda:

3,00 m da quota inizio

- pagina :

agina :

n°	Profondità (m)	PARAMETRO		ELA	BORA	ZIONE STA	ATIST	TCA		VCA	β	Nspt
			M	min	Max	½(M+min)	s	M-s	M+s			
1	0,00 2,10	N Rpd	14,0 91,0	2 14	21 148	8,0 52,6	6,1 40,4	7,9 50,6	20,1 131,3	14 91	1,30	18
2	2,10 3,60	N Rpd	9,2 51,6	7 40	17 91	8,1 45,7				9 51	1,30	12
3	3,60 4,20	N Rpd	59,0 314,6	48 256	70 373	53,5 285,3				59 315	1,30	77

M: valore medio

min: valore minimo

Max: valore massimo

s: scarto quadratico medio

N: numero Colpi Punta prova penetrometrica dinamica (avanzamento  $\delta$  = 30 cm.) Rpd: resistenza dinamica alla punta (kg/cm²)  $\beta$ : Coefficiente correlazione con prova SPT (valore teorico  $\beta$ t = 0,99) Nspt: numero colpi prova SPT (avanzamento  $\delta$  = 30 cm.)

#### Nspt - PARAMETRI GEOTECNICI

n°	Prof.(m)	LITOLOGIA	TOLOGIA Nspt NATURA GRANULARE							NATURA COESIVA						
				DR	ø'	E'	Ysat	Yd	Cu	Ysat	W	е				
1 2 3	0.00 2.10 2.10 3.60 3.60 4.20	Riporto Sabbie limose Ghiaie	18 12 77	47.0 38.0 95.1	32.4 30.6 44.4	330 284 785	1.98 1.94 2.21	1.57 1.52 1.94	1.13 0.75 4.81	2.00 1.92 2.71	26 31	0.708 0.842 -0.006				

Nspt: numero di colpi prova SPT (avanzamento  $\delta$  = 30 cm )

DR % = densità relativa ø' (°) = angolo di attrito efficace e (-) = indice dei vuoti Cu (kg/cm²) = coesione non drenata

E' (kg/cm²) = modulo di deformazione drenato W% = contenuto d'acqua Ysat, Yd (t/m³) = peso di volume saturo e secco (rispettivamente) del terreno

PROVA PENETROMETRICA DINAMICA TABELLE VALORI DI RESISTENZA

Riferimento: 27-05

n° 15

Caleffi S.p.A.

- indagine : - cantiere : - località :

Ampliamento stabilimento

- note :

Maggiate

- data :

04/11/2005

- quota inizio :

- prof. falda :

p.c. 2,80 m da quota inizio

- pagina :

of.(m) N(colpi p)		Rpd(kg/cm²)	N(colpi r)	asta	Prof.(m)	N(colpi p)	Rpd(kg/cm²)	N(colpi r)	asta
0,30	2	14,1		1	1,50 - 1,80	8	48.6		3
0,60	12	84,8		1	1,80 - 2,10	10	60.8		3
0,90	14	91,5		2	2,10 - 2,40	17	103.3		3
1,20	11	71,9		2	2,40 - 2,70	50	, .		4
1,50	8	52,3		2	2,70 - 3,00	70	397,7		4
	0,30 0,60 0,90 1,20	0,30 2 0,60 12 0,90 14 1,20 11	0,30 2 14,1 0,60 12 84,8 0,90 14 91,5 1,20 11 71,9	0,30 2 14,1 0,60 12 84,8 0,90 14 91,5 1,20 11 71,9	0,30 2 14,1 1 0,60 12 84,8 1 0,90 14 91,5 2 1,20 11 71,9 2	0,30 2 14,1 1 1,50 - 1,80 0,60 12 84,8 1 1,80 - 2,10 0,90 14 91,5 2 2,10 - 2,40 1,20 11 71,9 2 2,40 - 2,70	0,30 2 14,1 1 1,50 - 1,80 8 0,60 12 84,8 1 1,80 - 2,10 10 0,90 14 91,5 2 2,10 - 2,40 17 1,20 11 71,9 2 2,40 - 2,70 50	0,30 2 14,1 1 1,50 - 1,80 8 48,6 0,60 12 84,8 1 1,80 - 2,10 10 60,8 0,90 14 91,5 2 2,10 - 2,40 17 103,3 1,20 11 71,9 2 2,40 - 2,70 50 284,1	0,30 2 14,1 1 1,50 - 1,80 8 48,6 0,60 12 84,8 1 1,80 - 2,10 10 60,8 0,90 14 91,5 2 2,10 - 2,40 17 103,3 1,20 11 71,9 2 2,40 - 2,70 50 284,1

<sup>-</sup> PENETROMETRO DINAMICO tipo : TG 63-100

<sup>-</sup> M (massa battente)= 63,50 kg - H (altezza caduta)= 0,75 m - A (area punta)= 20,43 cm<sup>2</sup> - D(diam. punta)= 51,00 mm

<sup>-</sup> Numero Colpi Punta N = N(30) [ $\delta$  = 30 cm]

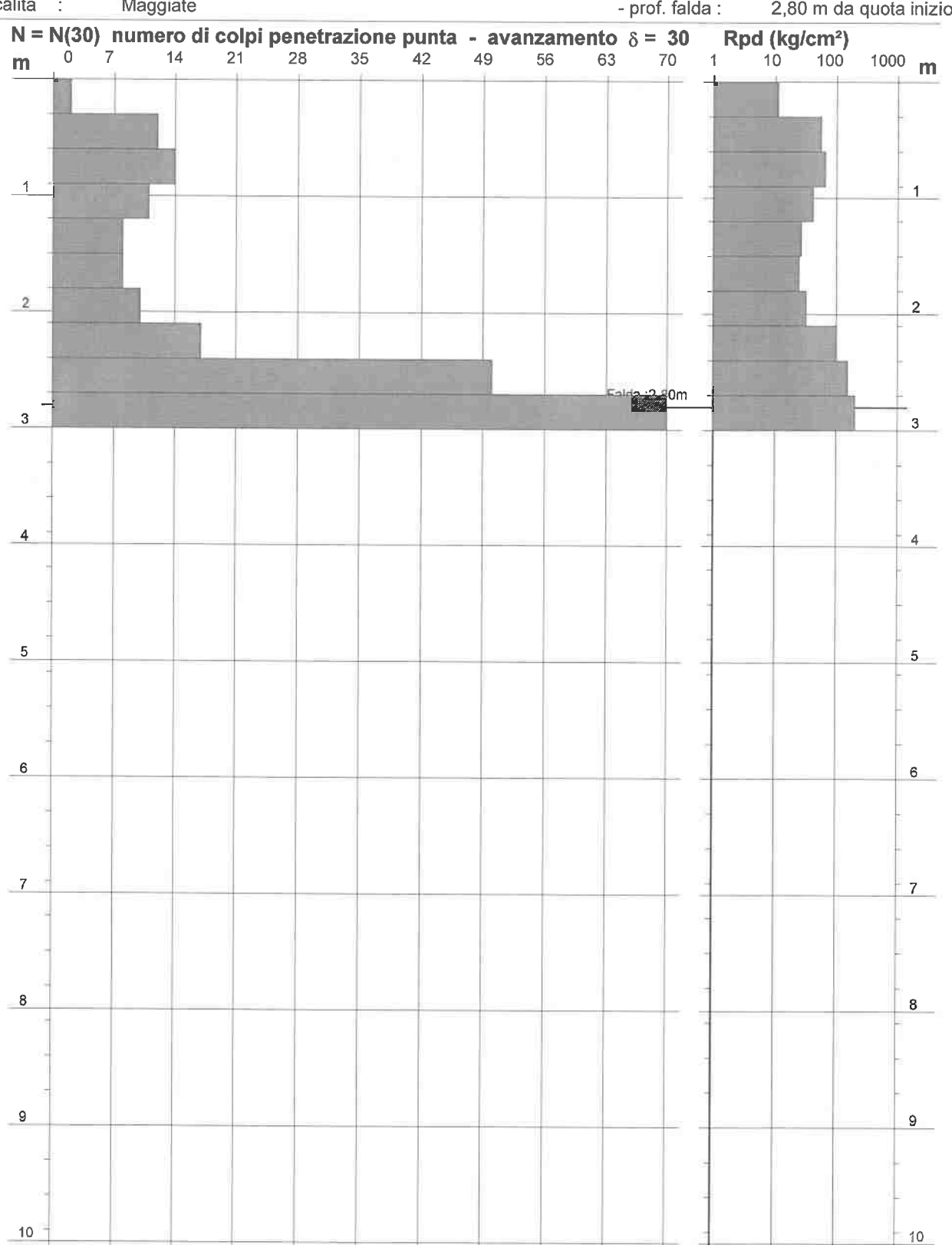
Scala 1: 50

#### PROVA PENETROMETRICA DINAMICA DIAGRAMMA NUMERO COLPI PUNTA - Rpd

n° 15

- indagine : Caleffi S.p.A. 04/11/2005 Ampliamento stabilimento

- cantiere : - quota inizio : p.c. Maggiate - prof. falda : 2,80 m da quota inizio



- PENETROMETRO DINAMICO tipo : TG 63-100

- M (massa battente)= 63,50 kg - H (altezza caduta)= 0,75 m - A (area punta)= 20,43 cm² - D(diam. punta)= 51,00 mm

- Numero Colpi Punta N = N(30) [ $\delta$  = 30 cm]

- Uso rivestimento / fanghi iniezione : NO

n° 15

- indagine :

- note :

- cantiere : - località :

Caleffi S.p.A. Ampliamento stabilimento

Maggiate

- data :

- pagina :

04/11/2005

Riferimento: 27-05

- quota inizio :

p.c.

- prof. falda :

2,80 m da quota inizio

n°	Profon	idità (m)	PARAMETRO		ELA	BORA		VCA	β	Nspt			
				М	min	Max	½(M+min)	s	M-s	M+s			
1	0,00	1,20	N Rpd	9,8 65,6	2 14	14 92	5,9 39,9				10 67	1,30	13
2	1,20	2,40	N Rpd	10,8 66,3	8 49	17 103	9,4 57,4				11 68	1,30	14
3	2,40	3,00	N Rpd	60,0 340,9	50 284	70 398	55,0 312,5				60 341	1,30	78

M: valore medio

min: valore minimo

Max: valore massimo

s: scarto quadratico medio

N: numero Colpi Punta prova penetrometrica dinamica (avanzamento  $\delta$  = 30 cm ) Coefficiente correlazione con prova SPT (valore teorico  $\beta t = 0.99$ )

= 30 cm ) Rpd: resistenza dinamica alla punta (kg/cm²) Nspt: numero colpi prova SPT (avanzamento  $\delta$  = 30 cm)

#### Nspt - PARAMETRI GEOTECNICI

n°	Prof.(m)	LITOLOGIA	Nspt	١	IATUF	RA GR	ANULA	N/	NATURA COESIVA					
				DR	ø'	E'	Ysat	Yd	Cu	Ysat	W	е		
1 2 3	0.00 1.20 1.20 2.40 2.40 3.00	Riporto Sabbie limose Ghiaie	13 14 78	39.5 41.0 95.5	30.9 31.2 44.4	292 299 793	1.95 1.96 2.21	1.53 1.53 1.94	0.81 0.88 4.88	1.93 1.95 2.72	30 30 -01	0.818 0.795 -0.013		

Nspt: numero di colpi prova SPT (avanzamento  $\delta = 30$  cm)

DR % = densità relativa g' (°) = angolo di attrito efficace e (-) = indice dei vuoti Gu (kg/cm²) = coesione non drenata

E' (kg/cm²) = modulo di deformazione drenato W% = contenuto d'acqua Ysat, Yd (t/m³) = peso di volume saturo e secco (rispettivamente) del terreno



#### Via XX Settembre, 73 – 28041 ARONA (NO) Tel. 0322/242531 – Fax 0322/48422 e-mail <u>fulvio.epifani@tin.it</u>

### S1 STRATIGRAFIA

Scala 1:100

Pagina 1

Committente: Caleffi S.p.A.

Cantiere: Gattico-Veruno, loc. Maggiate Sup.

Data: Novembre 2021

Quota: -

Coordinate:

Dati di perforazione

Tipo di perforazione: carotaggio continuo Diametro perforazione: 131/152 mm

Rivestimento: 30 m

Inclinazione rispetto alla verticale: 0°

Casse: 6

	tà		oig	·=	Pro	ve geotecnic	he in	ford	<b>)</b>			U	tensile	Э	
Litologia	Profondità	Descrizione litologica	% Carotaggio	Campioni		Standard Penetration Test (punta chiusa)		Lefranc	Lugeon	Cross hole	Piezometro	Carotiere	Carotiere	Manovre	Falda
	0,00 0,10	Townson	10 30 50 70 90		prof.	Risutato	N <sub>spt</sub>	П							
~~~ ~~	, 0,10	Terreno vegetale  Materiale di riporto medio-grossolano con resti di laterizi colore	1												
~~ ~	0,90	marrone scuro.													
∻ نې		Sabbia medio-fine limosa con clasti sub-arrotondati di origine vulcanica o metamorfica di colore 2.5Y 7/2 secondo la Munsell										Ш			
~ : ~ :	1,70 1,90	Soil Color Chart.			1,50	2 - 2 - 5	7								
~~:. <u>≈</u> :	2,20	Limo sabbioso con elevato contenuto organico di colore 2.5 Y 4/4.										Ш			
~~~	2,80	Sabbia medio-fine limosa con clasti sub-arrotondati di origine													
~ `````~	2,00	vulcanica o metamorfica di colore 2.5Y 7/2.			3,00	3 - 6 - 9	15					Ш			
<u>∵</u> ;;;;≈:	3,40 3,60	Limo sabbioso con elevato contenuto organico di colore 2.5 Y										Ш			
o		\\\\\\\\\\\\\\\\\\\\\\\\\\\\\\\\\\\\\\	-									Ш			
		metamorfici sub-spigolosi con diametro massimo di 4 cm.			4.50	00 00 00	71								
		Ghiaia a supporto di matrice sabbiosa fine limosa di colore grigio chiaro con clasti e ciottoli sub arrotondati.			4,50	22 - 33 - 38	' '								
		Sabbia medio-grossolana con ghiaia e presenza di ciottoli	1									Ш			
	]	inglobati di origine metamorfica di diametro medio 4-5 cm;										Ш			
0	.	puntuale presenza di blocchi (4,70 m; 9,00 m) in matrice limosa moderata. Colore 5Y 7/4.			6,00	23 - 14 - 8	22					Ш			
$O \cdots$												Ш			
0	1											Ш			
					7,50	4 - 6 - 7	13					Ш			
												Ш			
0	1											Ш			
0	1											Ш			
	-				9,00	Rif.	Rif.					Ш			
$O \cdots$												Ш			
Q:												Ш			
·:::::::::::::::::::::::::::::::::::::	10,80				10,50	17 - 18 - 18	36					Ш			
~	10,00	Sabbia fine da limosa a con limo con puntuali ciottoli inglobati;	1									Ш			
~ ~ ~ ~ ~ ~ ~ ~ ~ ~ ~ ~ ~ ~ ~ ~ ~ ~ ~		comportamento poco plastico. Colore GLEY2 6/5B.										Ш			
· ~~ · ~ ·	]				12,00	12 - 15 - 15	30					Ш			
~~:~~	·				12,00	12 - 13 - 13	30					Ш			
~ ~	]											Ш			
~````~``												Ш			
·:~:~:	13,60	Sabbia medio-fine limosa compatta con modesta presenza di	-		13,50	13 - 10 - 14	24					Ш			
···~		ghiaia con clasti di piccole dimensioni sub-arrotondati di colore										Ш			
~ 0	.	2.5Y7/3.										Ш			
· · ·					15,00	10 -15 -18	33					Ш			
· ~ : :::::::::::::::::::::::::::::::::	15,50														1
~~.~~:		Sabbia medio fine da limosa a con limo con comportamento													
?~·~?	1	mediamente plastico; clasti e piccoli ciottoli inglobati sub- arrotondati con diametro medio 2-4cm. Fra 18,00 e 18,10													1
آخاه : جم	]	diminuzione della presenza di ghiaia.													
:¸~; ; ~.`	]														
اَدِيَّ ج <sub>َ</sub> : ڪَرَ	]														1
<b>`~</b> ~``~`	<u> </u>				18,00	41 - Rif.	Rif.								
·~··	]														1
~~~~															
·.~~°	19,40														
															1



Via XX Settembre, 73 – 28041 ARONA (NO) Tel. 0322/242531 – Fax 0322/48422 e-mail <u>fulvio.epifani(@tin.it</u>

## S1 STRATIGRAFIA

Scala 1:100

Pagina 2

Committente: Caleffi S.p.A.

Cantiere: Gattico-Veruno, loc. Maggiate Sup.

Data: Novembre 2021

Quota: 
Coordinate: -

<u>Dati di perforazione</u> Tipo di perforazione: c*arotaggio continuo* 

Diametro perforazione: 131/152 mm Rivestimento: 30 m

Inclinazione rispetto alla verticale: 0°

Casse: 6

	and the state of t		0		Pro	ve geotecnic	he in	forc	)			Ut	tensile		
jia	Profondità	Descrizione litologica	% Carotaggio	Campioni		Standard				ole Ole	etro				g
Litologia	ofor	200011210110 Illologica	ırota	m		Penetration Test		Lefranc	Menard	Cross hole	Piezometro	Carotiere semplice	Carotiere doppio	Manovre	Falda
Liŧ				Ca		(punta chiusa)		Lef	Mei	S S	Pie	Car	Car	Маг	
<del> 0</del>	19,40	Ghiaia in matrice sabbioso-limosa con elevato contenuto di	10 30 50 70 90		prof.	Risutato	N <sub>spt</sub>								
8.0008	20,00	clasti e piccoli ciottoli sub-arrotondati di origine metamorfica di													
~		dimensione media 2-5 cm.													
~		Sabbia media-grossolana limosa compatta che puntalmente si presenta debolmente ghiaiosa. Colore 5Y 7/6.													
~ ~		presenta debolmente ghiaiosa. Colore 5Y 7/6.			21,00	22 - 27 - 30	57								
~															
~::															
~															
~															
~															
~															
~ ~					24,00	24 - 26 - 27	53								
~															
· · · ~ · · ·															
~															
~															
~															
~															
~ ~					27,00	14 - 21 - 28	49								
~															
<b>.</b> ∵~::															
~															
~															
~															
·~:															
	30,00		·		30,00	34 - 38 - 42	80					"			
			<u> </u>	1			1					1			